



เครื่องขัดเสียงรบกวนแบบปรับตัวได้

Adaptive Noise Canceller

สิทธิชัย คุลศรี

Sitthichai Kulsri

วิทยานิพนธ์วิศวกรรมศาสตรมหาณฑิต สาขาวิชวิศวกรรมไฟฟ้า
มหาวิทยาลัยสงขลานครินทร์

Master of Engineering Thesis in Electrical Engineering

Prince of Songkla University

2544

เลขที่ผู้.....
Bib Key.....
.....

(1)

ชื่อวิทยานิพนธ์ เครื่องขักเสียงรบกวนแบบปรับตัวได้
ผู้เขียน นายสิทธิชัย ฤทธิ์
สาขาวิชา วิศวกรรมไฟฟ้า

คณะกรรมการที่ปรึกษา

.....
.....
.....
.....

.....(ผู้ช่วยศาสตราจารย์ ดร.กิตติพัฒน์ ตันตรรุ่งโรจน์)
(ผู้ช่วยศาสตราจารย์ ชัชวาล ยนต์หงส์)

คณะกรรมการสอน

.....
.....
.....

.....(ผู้ช่วยศาสตราจารย์ ดร.กิตติพัฒน์ ตันตรรุ่งโรจน์)

.....(ลาศึกษาต่อ)กรรมการ

(ผู้ช่วยศาสตราจารย์ ชัชวาล ยนต์หงส์)

.....(ลาศึกษาต่อ)กรรมการ

(ผู้ช่วยศาสตราจารย์ ชัชวาล ยนต์หงส์)

.....
.....
.....

.....
.....
.....

.....
.....
.....

.....
.....
.....

บล๊อกพิเศษวิทยาลัย มหาวิทยาลัยสงขลานครินทร์ อนุญาตให้นำวิทยานิพนธ์ฉบับนี้
เป็นส่วนหนึ่งของการศึกษา ตามหลักสูตรวิศวกรรมศาสตรมหาบัณฑิต สาขาวิชาวิศวกรรมไฟฟ้า

.....
.....
.....

(รองศาสตราจารย์ ดร.ปิติ พุฒิภูมิ)

คณบดีบล๊อกพิเศษวิทยาลัย

ชื่อวิทยานิพนธ์	เครื่องขัดเสียงรบกวนแบบปรับตัวได้
ผู้เขียน	นายสิทธิชัย ฤลศรี
สาขาวิชา	วิศวกรรมไฟฟ้า
ปีการศึกษา	2544

บทคัดย่อ

วิทยานิพนธ์ฉบับนี้เสนอการสร้างเครื่องขัดเสียงรบกวนแบบปรับตัวได้โดยใช้ อัลกอริทึม LMS (Least Mean Square Algorithm) ในการปรับค่าสัมประสิทธิ์ของตัวกรองแบบ FIR (Finite Impulse Response) ในการจัดเสียงรบกวนจะใช้หลักการของการสร้างเสียงที่มีลักษณะเป็นส่วนกลับกันเสียงรบกวนแล้วส่งออกไปหักล้างกับเสียงรบกวนที่เกิดขึ้น เครื่องขัดเสียงรบกวนที่สร้างขึ้นใช้บอร์ด TMS320C5x DSP Starter Kit ซึ่งมีชิพ TMS320C50 เป็นตัวประมวลผลสัญญาณ ใช้ในโทรศัพท์เป็นตัวตรวจจับสัญญาณอินพุท และใช้ลำโพงเป็นตัวส่งเสียงหักล้าง ในการทดสอบสำหรับงานวิจัยนี้ใช้ไฟฟ้าขั้นจนหนอร์เรเตอร์ (function generator) เป็นตัวกำเนิดสัญญาณถูกคลื่นซายน์ (sine wave) ป้อนให้กับลำโพงอีกด้วยเพื่อทำเป็นแหล่งกำเนิดเสียงรบกวนขึ้นมา

ในการทดสอบได้ใช้เสียงรบกวนที่มีความถี่ตั้งแต่ 200 Hz จนถึง 500 Hz มีระดับเสียงรบกวนตั้งแต่ 79 dB ถึง 103 dB และได้ทำการวัดระดับเสียงรบกวนที่เกิดขึ้นบนพื้นราบขนาด 14 x 14 ตารางเมตร บริเวณด้านหน้าของลำโพงกำเนิดเสียงรบกวน จากการทดสอบพบว่า ตำแหน่งในการวางไมโครโฟนซึ่งเป็นตัวตรวจจับที่ทำให้เสียงรบกวนลดลงมากที่สุดคือ ตำแหน่งตรงกลางทางด้านหน้าห่างจากแหล่งกำเนิดเสียงรบกวนประมาณ 1 เมตร สามารถทำให้เสียงรบกวนมีระดับลดลงมาได้ตั้งแต่ 0 dB ถึง 20 dB ขึ้นอยู่กับความถี่ของเสียงรบกวน และความถี่ของเสียงรบกวนที่ถูกทำให้ลดลงมาได้ที่สุดอยู่ในช่วงประมาณ 320 Hz จนถึง 420 Hz

Thesis Title Adaptive Noise Canceller
Author Mr. Sitthichai Kulsri
Major Program Electrical Engineering
Academic Year 2001

Abstract

This thesis presents the construction of an adaptive noise canceller using the LMS (Least Mean Square) algorithm, to adaptively adjust the coefficients of an FIR (Finite Impulse Response) filter. Noise cancellation is based on generating an antisound of equal amplitude and opposite phase to cancel an unwanted sound. The adaptive noise canceller was implemented on a TMS320C5x DSP Starter Kit. The unwanted sound was received by a single microphone and the antisound was sent out by a loudspeaker. The experiment used a function generator and another loudspeaker to create a sinusoidal source of noise.

The testing used the noise of the frequency 200 Hz to 500 Hz at the level 79 dB to 103 dB and measurement the level of noise in the plane of 14 x 14 square inch in front of the noise source . From the testing a distant of 1 inch in front of the noise source is the best place to put the microphone. In this case the noise can be reduced by between 0 dB to 20 dB depending on frequency. The maximum reduction in noise was achieved in the rang from 320 Hz to 420 Hz.

กิตติกรรมประกาศ

ขอขอบพระคุณผู้ช่วยศาสตราจารย์ ดร. กิตติพัฒน์ ตันตะรุ่งโรจน์ ประธานกรรมการที่ปรึกษาที่ได้ให้คำแนะนำในการทำวิจัยในครั้งนี้เป็นอย่างดี รวมทั้งให้กำลังใจตลอดมา และกรุณาช่วยตรวจสอบแก้ไขวิทยานิพนธ์ ทำให้งานวิจัยดำเนินไปอย่างสมบูรณ์

ขอขอบพระคุณผู้ช่วยศาสตราจารย์ ชชวาล ยนต์หงส์ ที่ให้คำปรึกษาและให้ความช่วยเหลือเป็นอย่างดีในการทำวิจัย จนทำให้วิทยานิพนธ์ดำเนินไปอย่างสมบูรณ์

ขอขอบพระคุณผู้ช่วยศาสตราจารย์ เลียง คุนรัตน์ ที่ช่วยตรวจสอบแก้ไขวิทยานิพนธ์ฉบับนี้จนกระทั่งบรรลุวัตถุประสงค์

ขอขอบพระคุณ ดร. นิตยา นินทรกิจ ที่ช่วยตรวจสอบแก้ไขวิทยานิพนธ์ฉบับนี้จนกระทั่งบรรลุวัตถุประสงค์

ขอขอบพระคุณอาจารย์ สุขุม แป้นศรี, อาจารย์บัณฑิต ชินพา และอาจารย์แพนก อิเด็กทรอนิกส์ วิทยาลัยเทคนิคยะลาทุกท่าน ที่อุ่นวยความสะดวกในการทำวิจัยและเป็นกำลังใจในการวิจัยเสมอมาจนทำให้วิทยานิพนธ์ดำเนินไปด้วยดี

สุดท้ายนี้ขอเจ้าของน้อมระลึกถึงพระคุณบิดามารดา ที่ส่งเสริมที่แนะนำ เป็นกำลังใจ และอุปถัมภ์ทางด้านการศึกษามาโดยตลอดจนประสบความสำเร็จ

สิทธิชัย คุลศรี

สารบัญ

	หน้า
บทคัดย่อ.....	(3)
Abstract.....	(4)
กิตติกรรมประกาศ.....	(5)
สารบัญ.....	(6)
รายการตาราง.....	(8)
รายการภาพประกอบ.....	(12)
บทที่	
1 บทนำ.....	1
1.1 บทนำต้นเรื่อง.....	1
1.2 การตรวจเอกสาร.....	3
1.3 วัตถุประสงค์.....	4
2 ทฤษฎีและหลักการในการประมวลผลสัญญาณดิจิตอล.....	5
2.1 แนวคิดพื้นฐานในการประมวลผลสัญญาณดิจิตอล.....	5
2.2 ตัวประมวลผลสัญญาณดิจิตอล TMS320C50.....	10
2.2.1 สถาปัตยกรรมของ TMS320C50.....	12
2.2.2 การจัดการหน่วยความจำภายใน.....	15
2.2.3 รีจิสเตอร์ชั่วคราว.....	16
2.3 บอร์ด TMS320C5x DSP STARTER KIT.....	16
3 ตัวกรองปรับค่าได้.....	19
3.1 ตัวกรองแบบ FIR Wiener.....	19
3.2 ตัวกรองปรับค่าได้.....	23
3.2.1 การออกแบบตัวกรองปรับตัวได้แบบ FIR.....	26
3.2.2 ลีฟเพสต์ เดสเซนต์.....	28
3.2.3 อัลกอริธึม LMS.....	30
3.2.4 อัลกอริธึม Recursive least square.....	31
3.2.5 ระบบการทำนายเชิงเส้นแบบปรับตัวได้.....	38

4	การทำงานของเครื่องจัดสียังระบบแบบปรับตัวได้.....	42
4.1	ส่วนการรับสียังระบบ.....	43
4.2	ส่วนการประมวลผลสัญญาณ.....	44
4.3	ส่วนการส่งสัญญาณอาท์พุท.....	50
5	ผลและการอภิปรายผลการทดลอง.....	51
5.1	การทดลองเพื่อหาตำแหน่งการวางไมโครโฟนที่ เหมาะสมในการขัดสียังระบบ.....	51
5.2	การทดลองเพื่อสังเกตดูว่าบันทึกเวลาใดที่ระดับเสียง รบกวนถูกทำให้ลดลง.....	77
6	บทวิจารณ์สรุป.....	96
	บรรณานุกรม.....	98
	ภาคผนวก.....	99
	ภาคผนวก ก รูปแบบลักษณะของบอร์ดวงจร TMS320C5x DSP Starter Kit (DSK) และแพนเพ็ง	98
	ภาคผนวก ข. โปรแกรมการจำลองอัลกอริธึม LMS , อัลกอริธึม RLS และ โปรแกรมการขัด สียังระบบ โดยใช้ภาษาแอลกอเรทึมบล็อกของชิฟ TMS320C5x.....	105
	ประวัติผู้เขียน.....	114

รายการตาราง

ตาราง	หน้า
3.1 อัลกอริธึม LMS สำหรับตัวกรองปรับตัวได้แบบ FIR อันดับของตัวกรองเท่ากับ p	31
3.2 อัลกอริธึมแบบ Recursive Least Squares	37
5.1 ผลการทดลองโดยใช้อันดับของตัวกรองเท่ากับ 100 ค่าสเตปป์ไซซ์ $\mu=0.005$	54
5.2 ผลต่างระหว่างเสียงรบกวนก่อนทำการขัดกับเสียงรบกวน หลังทำการขัดเมื่อทำการวางในโทรศัพท์ในตำแหน่งที่ต่างๆกัน (ใช้ค่าสเตปป์ไซซ์เท่ากับ 0.005 อันดับเท่ากับ 100)	55
5.3 ผลการทดลองโดยใช้อันดับของตัวกรองเท่ากับ 100 ค่าสเตปป์ไซซ์ $\mu=0.008$	56
5.4 ผลต่างระหว่างเสียงรบกวนก่อนทำการขัดกับเสียงรบกวน หลังทำการขัด เมื่อทำการวางในโทรศัพท์ในตำแหน่งที่ต่างๆกัน (ใช้ค่าสเตปป์ไซซ์เท่ากับ 0.008 อันดับเท่ากับ 100)	57
5.5 ผลการทดลองโดยใช้อันดับของตัวกรองเท่ากับ 100 ค่าสเตปป์ไซซ์ $\mu=0.01$	58
5.6 ผลต่างระหว่างเสียงรบกวนก่อนทำการขัดกับเสียงรบกวน หลังทำการขัด เมื่อทำการวางในโทรศัพท์ในตำแหน่งที่ต่างๆกัน (ใช้ค่าสเตปป์ไซซ์เท่ากับ 0.01 อันดับเท่ากับ 100)	58
5.7 ผลการทดลองโดยใช้อันดับของตัวกรองเท่ากับ 100 ค่าสเตปป์ไซซ์ $\mu=0.015$	59
5.8 ผลต่างระหว่างเสียงรบกวนก่อนทำการขัดกับเสียงรบกวน หลังทำการขัด เมื่อทำการวางในโทรศัพท์ในตำแหน่งที่ต่างๆกัน (ใช้ค่าสเตปป์ไซซ์เท่ากับ 0.015 อันดับเท่ากับ 100)	60
5.9 ผลการทดลองโดยใช้อันดับของตัวกรองเท่ากับ 100 ค่าสเตปป์ไซซ์ $\mu=0.02$	61
5.10 ผลต่างระหว่างเสียงรบกวนก่อนทำการขัดกับเสียงรบกวน หลังทำการขัด เมื่อทำการวางในโทรศัพท์ในตำแหน่งที่ต่างๆกัน (ใช้ค่าสเตปป์ไซซ์เท่ากับ 0.02 อันดับเท่ากับ 100)	61
5.11 ผลการทดลองโดยใช้อันดับของตัวกรองเท่ากับ 150 ค่าสเตปป์ไซซ์ $\mu=0.005$	63

5.12	ผลต่างระหว่างเสียงรบกวนก่อนทำการขัดกับเสียงรบกวน หลังทำการขัด เมื่อทำการวางในโทรศัพท์มือถือในตำแหน่งที่ต่างๆกัน (ใช้ค่าสตป.ไฟฟ้าเท่ากับ 0.005 อันดับเท่ากับ 150)	63
5.13	ผลการทดลองโดยใช้อันดับของตัวกรองเท่ากับ 150 ค่าสตป.ไฟฟ้า = 0.008	64
5.14	ผลต่างระหว่างเสียงรบกวนก่อนทำการขัดกับเสียงรบกวน หลังทำการขัด เมื่อทำการวางในโทรศัพท์มือถือในตำแหน่งที่ต่างๆกัน (ใช้ค่าสตป.ไฟฟ้าเท่ากับ 0.008 อันดับเท่ากับ 150)	65
5.15	ผลการทดลองโดยใช้อันดับของตัวกรองเท่ากับ 150 ค่าสตป.ไฟฟ้า = 0.01	66
5.16	ผลต่างระหว่างเสียงรบกวนก่อนทำการขัดกับเสียงรบกวน หลังทำการขัด เมื่อทำการวางในโทรศัพท์มือถือในตำแหน่งที่ต่างๆกัน (ใช้ค่าสตป.ไฟฟ้าเท่ากับ 0.01 อันดับเท่ากับ 150)	66
5.17	ผลการทดลองโดยใช้อันดับของตัวกรองเท่ากับ 100 ค่าสตป.ไฟฟ้า = 0.015	67
5.18	ผลต่างระหว่างเสียงรบกวนก่อนทำการขัดกับเสียงรบกวน หลังทำการขัด เมื่อทำการวางในโทรศัพท์มือถือในตำแหน่งที่ต่างๆกัน (ใช้ค่าสตป.ไฟฟ้าเท่ากับ 0.015 อันดับเท่ากับ 150)	
5.19	ผลการทดลองโดยใช้อันดับของตัวกรองเท่ากับ 150 ค่าสตป.ไฟฟ้า = 0.02	69
5.20	ผลต่างระหว่างเสียงรบกวนก่อนทำการขัดกับเสียงรบกวน หลังทำการขัด เมื่อทำการวางในโทรศัพท์มือถือในตำแหน่งที่ต่างๆกัน (ใช้ค่าสตป.ไฟฟ้าเท่ากับ 0.02 อันดับเท่ากับ 150)	69
5.21	ผลการทดลอง เมื่อใช้อันดับของตัวกรองเท่ากับ 200 และค่าสตป.ไฟฟ้าเท่ากับ 0.005 (วัดเฉพาะจุดที่ 1 และ 4)	71
5.22	ผลการทดลอง เมื่อใช้อันดับของตัวกรองเท่ากับ 200 และค่าสตป.ไฟฟ้าเท่ากับ 0.008 (วัดเฉพาะจุดที่ 1 และ 4)	71
5.23	ผลการทดลอง เมื่อใช้อันดับของตัวกรองเท่ากับ 200 และค่าสตป.ไฟฟ้าเท่ากับ 0.01 (วัดเฉพาะจุดที่ 1 และ 4)	72
5.24	ผลการทดลองเมื่อทำการกระจายช่วงความถี่ให้ละเอียดขึ้น โดยใช้อันดับของตัวกรองเท่ากับ 100 และค่าสตป.ไฟฟ้าเท่ากับ 0.015	73
5.25	ผลการทดลองเมื่อทำการกระจายช่วงความถี่ให้ละเอียดขึ้น โดยใช้อันดับของตัวกรองเท่ากับ 150 และค่าสตป.ไฟฟ้าเท่ากับ 0.008	75

5.40	ผลต่างของระดับความดังของเสียงเสียงรบกวนขณะยังไม่ทำการขัด และการขัดที่ความถี่ 380 Hz	88
5.41	ระดับความดังของเสียงรบกวนในตำแหน่งต่างๆที่กำหนด ขณะยังไม่ทำการขัดที่ความถี่ 400 Hz	89
5.42	ระดับความดังของเสียงรบกวนในตำแหน่งต่างๆที่กำหนด ขณะทำการขัดที่ความถี่ 400 Hz	89
5.43	ผลต่างของระดับความดังของเสียงเสียงรบกวนขณะยังไม่ทำการขัด และการขัดที่ความถี่ 400 Hz	90
5.44	ระดับความดังของเสียงรบกวนในตำแหน่งต่างๆที่กำหนด ขณะยังไม่ทำการขัดที่ความถี่ 420 Hz	91
5.45	ระดับความดังของเสียงรบกวนในตำแหน่งต่างๆที่กำหนด ขณะทำการขัดที่ความถี่ 420 Hz	91
5.46	ผลต่างของระดับความดังของเสียงเสียงรบกวนขณะยังไม่ทำการขัด และการขัดที่ความถี่ 420 Hz	92
5.47	ระดับความดังของเสียงรบกวนในตำแหน่งต่างๆที่กำหนด ขณะยังไม่ทำการขัดที่ความถี่ 440 Hz	93
5.48	ระดับความดังของเสียงรบกวนในตำแหน่งต่างๆที่กำหนด ขณะทำการขัดที่ความถี่ 440 Hz	93
5.49	ผลต่างของระดับความดังของเสียงเสียงรบกวนขณะยังไม่ทำการขัด และการขัดที่ความถี่ 440 Hz	94

รายการภาพประกอบ

ภาพประกอบ	หน้า
1.1 แสดงรูปแบบของสัญญาณเสียงรบกวนที่ไม่ต้องการ, รูปแบบของสัญญาณเสียงที่สร้างขึ้นมาเพื่อใช้ในการหักด้าง กับสัญญาณเสียงรบกวนและสัญญาณซึ่งเป็นผลรวมของ สัญญาณทั้งสอง	2
1.2 แสดงรูปแบบในการกำจัดเสียงรบกวน	3
2.1 การประมวลผลแบบอนาล็อกของสัญญาโนนาล็อก	6
2.2 รูปแบบการประมวลผลแบบดิจิตอลของสัญญาโนนาล็อก	6
2.3 รูปแบบของสัญญาณที่ปรากฏในแต่ละบล็อกที่แสดงในรูปที่ 2.2 (ก) สัญญาโนนาล็อกอินพุท (ข) เอ่าต์พุทของวงจร S/H circuit (ค) เอ่าต์พุทของวงจรแปลงสัญญาโนนาล็อกไปเป็น สัญญาณดิจิตอล	8
2.4 รูปแบบของสัญญาณที่ปรากฏในแต่ละบล็อกที่แสดงในรูปที่ 2.2 (ก) เอ่าต์พุทของตัวประมวลผลสัญญาณดิจิตอล (ข) เอ่าต์พุทของวงจรกรองสัญญาณดิจิตอลเป็น สัญญาโนนาล็อก (ค) สัญญาโนนาล็อกเอ่าต์พุท	8
2.5 สัญญาณเวลาไม่ต่อเนื่อง	9
2.6 การแทนลำดับต่อเนื่อง $\{x[n]\}$ ด้วยรูปภาพ	9
2.7 การเกิดลำดับโดยการถ่ายสัญญาณต่อเนื่อง $x_a(t)$	10
2.8 แสดงลักษณะการจัดวางขาสัญญาณทั้ง 132 m ของ TMS320C5x	12
2.9 แสดงแผนภาพบล็อกหลักการและเส้นทางข้อมูลภายในของ TMS320C5x	14
2.10 แสดงการจัดการหน่วยความจำภายในของ TMS320C5x	15
2.11 ตัวอย่างการเขียนตำแหน่งทางอ้อมโดยใช้รีจิสเตอร์ช่วย	16
2.12 เป็นแผนภาพบล็อกพื้นฐานของ TMS320C5x ซึ่งแสดงการเชื่อมต่อ ระหว่างกัน	17

2.13	วงจรภายในของไอซีบอร์ TLC32040	18
3.1	แสดงรูปแบบปัญหาการกรองแบบ Wiener โดยทั่วไปกำหนดให้ $x(n)$ และ $d(n)$ เป็น jointly wide-sense stationary WSS คือมีความสัมพันธ์ทางสถิติซึ่งกันและกัน $w(z)$ เป็นตัวกรองซึ่งใช้ในการสร้างสัญญาณประมาณ $d(n)$	19
3.2	แผนภาพลือกของตัวกรองปรับค่าได้ ประกอบด้วย ตัวกรอง $p_n(z)$ และอัลกอริธึม สำหรับปรับค่าสัมประสิทธิ์ ของตัวกรอง $p_n(k)$	25
3.3	รูปแบบของตัวกรองปรับค่าได้ FIR แบบ direct-form	26
3.4	การประมวลค่าสัญญาณ $x(n+1)$ โดยอาศัยการรวมแบบเชิงเส้นของค่า ของสัญญาณจำนวน p ค่าจาก $x(n)$ จนถึง $x(n-p+1)$	38
3.5	ระบบการทำนายเชิงเส้นแบบปรับตัวได้โดยใช้ อัลกอริธึม LMS ใน การปรับค่าสัมประสิทธิ์ตัวกรอง	39
3.6	ผลการจำลองอัลกอริธึม LMS	40
3.7	ผลการจำลองอัลกอริธึม RLS	41
4.1	แผนการทำงานของเครื่องขัดเสียงรบกวนแบบปรับตัวได้	42
4.2	วงจรปรีแอมป์สำหรับไมโครโฟน	43
4.3	ระบบการทำนายแบบเชิงเส้นปรับตัวได้ โดยใช้ อัลกอริธึม LMS ใน การปรับค่าสัมประสิทธิ์ตัวกรอง	45
4.4	แบบการวางแผนที่ความจำของ ค่าเวกเตอร์น้ำหนัก และข้อมูลเวกเตอร์	48
5.1	แสดงตำแหน่งการวางไมโครโฟนและการวางแผนเครื่องวัดระดับความดังเสียง	53
5.2	กราฟแสดงผลการขัดเสียงรบกวนที่จุดวางไมโครโฟน ที่กำหนดที่ความถี่ 200 Hz – 500 Hz เมื่อใช้ค่าสเกลป์ไซ เท่ากับ 0.005 อันดับตัวกรองเท่ากับ 100	55
5.3	กราฟแสดงผลการขัดเสียงรบกวนที่จุดวางไมโครโฟน ที่กำหนด ที่ความถี่ 200 Hz – 500 Hz เมื่อใช้ค่าสเกลป์ไซ เท่ากับ 0.008 อันดับตัวกรองเท่ากับ 100	57

5.4	กราฟแสดงผลการขัดเสียงรบกวนที่จุดวางในโทรศัพท์ที่กำหนด ที่ความถี่ 200 Hz – 500 Hz เมื่อใช้ค่าสเตปไซเซ่ากับ 0.01 อันดับตัวกรองเท่ากับ 100	59
5.5	กราฟแสดงผลการขัดเสียงรบกวนที่จุดวางในโทรศัพท์ที่กำหนด ที่ความถี่ 200 Hz – 500 Hz เมื่อใช้ค่าสเตปไซเซ่ากับ 0.015 อันดับตัวกรองเท่ากับ 100	60
5.6	กราฟแสดงผลการขัดเสียงรบกวนที่จุดวางในโทรศัพท์ที่กำหนด ที่ความถี่ 200 Hz – 500 Hz เมื่อใช้ค่าสเตปไซเซ่ากับ 0.02 อันดับตัวกรองเท่ากับ 100	62
5.7	กราฟแสดงผลการขัดเสียงรบกวนที่จุดวางในโทรศัพท์ที่กำหนด ที่ความถี่ 200 Hz – 500 Hz เมื่อใช้ค่าสเตปไซเซ่ากับ 0.005 อันดับตัวกรองเท่ากับ 150	64
5.8	กราฟแสดงผลการขัดเสียงรบกวนที่จุดวางในโทรศัพท์ที่กำหนด ที่ความถี่ 200 Hz – 500 Hz เมื่อใช้ค่าสเตปไซเซ่ากับ 0.008 อันดับตัวกรองเท่ากับ 150	65
5.9	กราฟแสดงผลการขัดเสียงรบกวนที่จุดวางในโทรศัพท์ที่กำหนด ที่ความถี่ 200 Hz – 500 Hz เมื่อใช้ค่าสเตปไซเซ่ากับ 0.01 อันดับตัวกรองเท่ากับ 150	67
5.10	กราฟแสดงผลการขัดเสียงรบกวนที่จุดวางในโทรศัพท์ที่กำหนด ที่ความถี่ 200 Hz – 500 Hz เมื่อใช้ค่าสเตปไซเซ่ากับ 0.015 อันดับตัวกรองเท่ากับ 150	68
5.11	กราฟแสดงผลการขัดเสียงรบกวนที่จุดวางในโทรศัพท์ที่กำหนด ที่ความถี่ 200 Hz – 500 Hz เมื่อใช้ค่าสเตปไซเซ่ากับ 0.02 อันดับตัวกรองเท่ากับ 150	70
5.12	กราฟแสดงผลการขัดเสียงรบกวนที่จุดวางในโทรศัพท์ที่กำหนด ที่ความถี่ 200 Hz – 500 Hz เมื่อทำการเพิ่มค่าความถี่ครึ่งละ 20 Hz ใช้ค่าสเตปไซเซ่าเท่ากับ 0.015 อันดับตัวกรองเท่ากับ 150	74

5.13	กราฟแสดงผลการจัดเสียงรบกวนที่จุดวางไมโครโฟนที่กำหนด ที่ความถี่ 200 Hz – 500 Hz เมื่อทำการเพิ่มค่าความถี่ครั้งละ 20 Hz ใช้ค่าสเตปไซด์เท่ากับ 0.008 อันดับตัวกรองเท่ากับ 150	76
5.14	แสดงผังการวัดระดับเสียงรบกวนที่ตำแหน่งต่างๆ	77
5.15	ภาพพื้นที่ทดสอบหัวร์แสดงระดับเสียงรบกวน ในบริเวณที่กำหนด ที่ความถี่ 300 Hz	80
5.16	ภาพพื้นที่ทดสอบหัวร์แสดงระดับเสียงรบกวน ในบริเวณที่กำหนด ที่ความถี่ 320 Hz	82
5.17	ภาพพื้นที่ทดสอบหัวร์แสดงระดับเสียงรบกวน ในบริเวณที่กำหนด ที่ความถี่ 340 Hz	84
5.18	ภาพพื้นที่ทดสอบหัวร์แสดงระดับเสียงรบกวน ในบริเวณที่กำหนด ที่ความถี่ 360 Hz	86
5.19	ภาพพื้นที่ทดสอบหัวร์แสดงระดับเสียงรบกวน ในบริเวณที่กำหนด ที่ความถี่ 380 Hz	88
5.20	ภาพพื้นที่ทดสอบหัวร์แสดงระดับเสียงรบกวน ในบริเวณที่กำหนด ที่ความถี่ 400 Hz	90
5.21	ภาพพื้นที่ทดสอบหัวร์แสดงระดับเสียงรบกวน ในบริเวณที่กำหนด ที่ความถี่ 420 Hz	92
5.21	ภาพพื้นที่ทดสอบหัวร์แสดงระดับเสียงรบกวน ในบริเวณที่กำหนด ที่ความถี่ 440 Hz	94

บทที่ 1

บทนำ

1.1 บทนำต้นเรื่อง

เสียงเป็นพลังงานที่เกิดจากแหล่งกำเนิดหลายรูปแบบ ส่วนมากเกิดจากการสั่นสะเทือนของวัตถุ แล้วเดินทางผ่านตัวกลางจนมาถึงหูของคนเรา ความถี่เสียงที่หูของคนเราสามารถรับฟังได้ เริ่มตั้งแต่ความถี่ 20 Hz ถึง 20,000 Hz แต่ช่วงความถี่ของเสียงที่มีความสำคัญต่อชีวิตประจำวันของคนเรามากที่สุดคือ ความถี่ของเสียงพูด มีความถี่ประมาณ 500 Hz ถึง 4,000 Hz นอกจากนี้หูของคนเรายังมีความสามารถและความอดทนในการรับฟังเสียงในขอบเขตที่จำกัด หากเบาเกินไปก็จะไม่ได้ยิน แต่ถ้าเสียงดังเกินไปและเป็นเสียงที่เราไม่ต้องการ ก็จะเกิดความรำคาญและเป็นอันตรายต่อหูของเรา และอาจทำให้หูหนวกได้

ปัญหาของเสียงรบกวนที่เกิดขึ้นในปัจจุบันเริ่มนิยมให้ความสนใจมากขึ้น เสียงรบกวนที่เกิดขึ้นนั้นเนื่องมาจากสาเหตุหลายสาเหตุด้วยกัน อย่างเช่น โรงงานอุตสาหกรรมซึ่งมีการใช้เครื่องมือ เครื่องจักรกลต่างๆ เครื่องเป่าลม (blowers), พัดลม, หม้อแปลงไฟฟ้า (transformers) คอมเพรสเซอร์ (compressors), モเตอร์ (motor) เป็นต้น เมื่อสิ่งเหล่านี้ถูกนำมาใช้ก็ทำให้เกิดเสียงรบกวนที่เราไม่ต้องการเกิดขึ้น นอกจากสาเหตุจากโรงงานอุตสาหกรรมแล้ว การเพิ่มขึ้นของประชากร หรือการเพิ่มขึ้นของบ้านเรือน ซึ่งก่อให้เกิดผลกระทบทางเสียงเนื่องจากการสร้างบ้านเรือนติดกัน และการจราจรที่แออัด

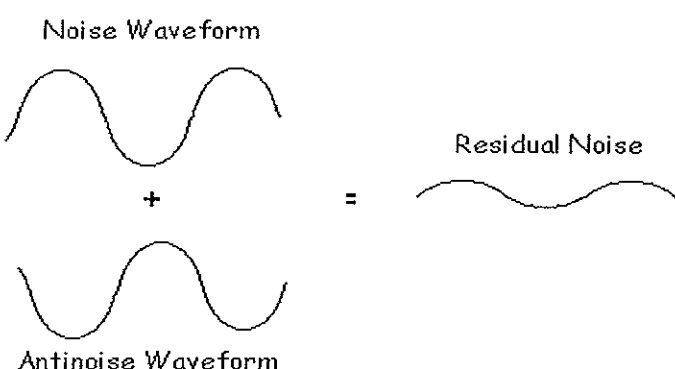
สำหรับผู้ที่ต้องอยู่ในสภาพแวดล้อมหรือทำงานในบริเวณที่มีเสียงรบกวนเป็นระยะเวลานานๆ อาจก่อให้เกิดความรำคาญ ไม่มีสมาธิในการทำงาน เป็นผลให้ประสิทธิภาพในการทำงานลดลง และอาจก่อให้เกิดความเครียดก่อให้เกิดโรคจิตโรคประสาทได้ เสียงรบกวนที่เกิดขึ้นเนื่องมาจากการร่องจักรกลต่างๆ ในโรงงาน, เสียงที่เกิดจากการทำงานของเครื่องปรับอากาศฯ เราถือว่าเสียงอันไม่พึงประสงค์เหล่านี้เป็นเสียงรบกวนในการทำงาน หรือทำกิจกรรมต่างๆ ดังนั้นงานวิจัยนี้ มุ่งที่จะลดเสียงรบกวนที่เกิดขึ้นให้มีระดับที่ต่ำลงให้เหลือน้อยที่สุด เพื่อที่จะสามารถทำงานหรือทำกิจกรรมต่างๆ ได้อย่างมีประสิทธิภาพมากขึ้น

โดยทั่วไปในการกำจัดเสียงรบกวนที่เกิดขึ้นนั้นจะใช้วัสดุที่มีคุณสมบัติพิเศษที่สามารถลดทอนระดับของเสียงรบกวนที่ไม่ต้องการให้ต่ำลงมาอย่างชั่นเชิงแก้ กระบวนการนิดพิเศษที่ใช้กันเสียงรบกวนโดยเฉพาะ ฯลฯ แต่เนื่องจากวัสดุที่นำมาใช้ในการลดทอนระดับเสียงรบกวน

มีราคาค่อนข้างสูง การติดตั้งอุปกรณ์ป้องกันเสียงรบกวนเหล่านี้ก็ทำได้ค่อนข้างยุ่งยาก และต้องตัดตัวสัญญาณเสียงรบกวนภายในห้องแล้ว จะทำให้ห้องรู้สึกอัดแน่นจากว่าอากาศภายในห้องถ่ายเทได้ลำบาก

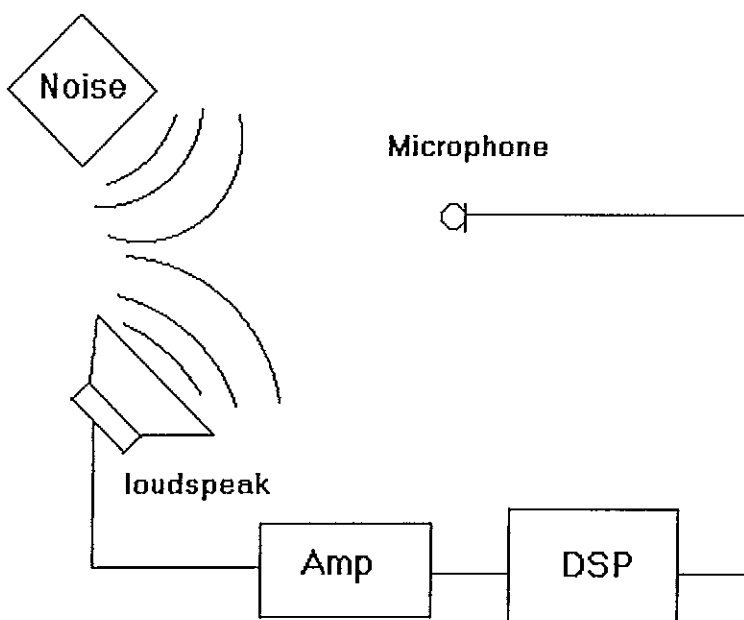
เนื่องจากว่าในปัจจุบันนี้เทคโนโลยีเล็กทรอนิกส์และเทคโนโลยีทางด้าน VLSI (Very Large Scale Integrated) มีความก้าวหน้ามาก ทำให้ระยะเวลาสิบปีที่ผ่านมา ราคาของอุปกรณ์อิเล็กทรอนิกส์ คอมพิวเตอร์, ชิฟในครอปโปรเซสเซอร์ มีราคาลดลงอย่างรวดเร็ว แต่กลับมีคุณภาพขึ้นอย่างมหาศาล โดยเฉพาะอย่างยิ่ง ชิฟ DSP (DSP chip) เป็นในครอปโปรเซสเซอร์ที่ใช้สำหรับการประมวลผลสัญญาณดิจิตอล (Digital Signal Processing) โดยเฉพาะมีราคาถูก แต่มีความสามารถในการคำนวณและมีความเร็วในการประมวลผลสูง และด้วยความสามารถในการคำนวณและมีความเร็วในการประมวลผลสูง นวัตกรรมอัลกอริธึมที่ใช้ในการประมวลผลสัญญาณดิจิตอลที่มีประสิทธิภาพ จึงทำให้การประมวลผลสัญญาณดิจิตอลที่มีความสามารถซับซ้อนกล้ายมาเป็นเรื่องที่ง่ายขึ้น และในปัจจุบันได้มีการนำการประมวลผลสัญญาณดิจิตอลมาใช้กันเป็นที่แพร่หลายในงานด้านต่างๆ มากmay อย่างเช่น ทางด้านการสื่อสาร โทรคมนาคม (Telecommunications), การควบคุม (Control), ในอุตสาหกรรม เป็นต้น จากสิ่งที่ได้กล่าวมาข้างต้นจึงเป็นแนวคิดที่จะสร้างเครื่องกำจัดเสียงรบกวนขึ้น

แนวคิดเบื้องต้นในการขัดจัดเสียงรบกวนซึ่งในงานวิจัยนี้จะทำการสร้างสัญญาณเสียงอิเล็กทรอนิกส์ ที่มีลักษณะเป็นส่วนกลับกันเสียงรบกวน คือมีแอนปลิจูดเท่ากับแอนปลิจูดของสัญญาณเสียงรบกวน แต่มีเฟสกลับกัน ส่งออกไปเพื่อทำการหักล้างกับเสียงรบกวนที่เกิดขึ้นให้มีระดับลดลงมา แสดงดังภาพประกอบ 1.1



ภาพประกอบ 1.1 แสดงรูปแบบ (waveform) ของสัญญาณเสียงรบกวนที่ไม่ต้องการ, รูปแบบของสัญญาณเสียงที่สร้างขึ้นมาเพื่อใช้ในการหักล้างกับสัญญาณเสียงรบกวนและสัญญาณซึ่งเป็นผลกระทบของสัญญาณทั้งสอง

รูปแบบในการจัดเสียงรบกวนแบบปรับตัวได้แสดงในภาพประกอบ 1.2 ซึ่งใช้ไมโครโฟนเป็นตัวตรวจจับสัญญาณเสียงรบกวนที่ไม่ต้องการ แล้วส่งต่อไปยังตัวประมวลผลสัญญาณ ตัวประมวลผลสัญญาณทำการประมวลผลสัญญาณเสียงที่เกิดขึ้นว่ามีลักษณะเป็นอย่างไร ต่อจากนั้นก็ทำการสร้างสัญญาณเสียงอีกตัวหนึ่งขึ้นมา ซึ่งเป็นสัญญาณส่วนกลับ (inverse signal) กับสัญญาณเสียงรบกวนที่รับเข้ามา แล้วส่งสัญญาณเสียงที่เป็นส่วนกลับดังกล่าวออกผ่านทางลำโพงกล้ายเป็นเสียงออกไปหักล้างกับเสียงรบกวนที่เกิดขึ้นทำให้บริเวณที่มีเสียงรบกวนดังกล่าวมีเสียงรบกวนลดลงและในการประมวลผลสัญญาณและการสร้างสัญญาณเสียงอีกเสียงหนึ่งขึ้นมา ใช้ TMS320C5x DSP Starter Kit ซึ่งเป็นบอร์ดที่ใช้ในการประมวลผลสัญญาณดิจิตอลโดยขาดพาร์



ภาพประกอบ 1.2 แสดงรูปแบบในการกำจัดเสียงรบกวน

1.2 การตรวจเอกสาร

1.2.1 An Output -Whitening Approach to Adaptive filter Active noise Cancellation (Daniel, 1984 : 1306-1313) งานวิจัยนี้ได้อธิบายการจัดเสียงรบกวนแบบปรับตัวได้แบบแอคทีฟ (active noise cancellation) โดยอาศัยหลักการควบคุมแบบปรับตัวได้ อัลกอริธึมที่ใช้ในการแสดงออกถูกย่อของสัญญาณคือ Sequential Least Square (SLS) Algorithm หลักการในการกำจัดสัญญาณเสียงรบกวน คือ สร้างเสียงที่มีลักษณะเป็นธรรมชาติที่สามารถลดระดับสัญญาณเสียงรบกวนที่เกิดขึ้นจากเครื่องจักรกล ซึ่งเป็นแบบ stochastic machine noise สำหรับ

การทดลองในงานวิจัยนี้ จะทำการบันทึกสัญญาณเสียงรบกวนไว้ในเทปบันทึกเสียง จากนั้นทำการส่งสัญญาณเสียงรบกวนเข้าไปยังระบบภายนอกที่ได้ทำการจำลองขึ้น (ไมโครโฟน ลำโพง ระยะห่างระหว่างไมโครโฟน ลำโพง) ซึ่งระบบภายนอกที่ได้จำลองขึ้นจะถูกแทนด้วยค่าพารามิเตอร์ (ค่าสัมประสิทธิ์) จากผลการทดลอง สามารถลดสัญญาณรบกวนที่เกิดขึ้นจากคอมเพรสเซอร์ (Compressor) ของเครื่องปรับอากาศได้ 55 dB

1.2.2 การออกแบบระบบควบคุมเสียงรบกวนแบบแอดคิฟ โดยใช้ชิปประมวลผลสัญญาณดิจิตอลตระกูล TMS320 (Design of Active Noise Control Systems With The TMS320 Family) (Kuo Sen M. ,1996) เป็นรายงานที่แสดงข้อมูลเกี่ยวกับวิธีการของ การควบคุมเสียงรบกวนแบบแอดคิฟ ซึ่งแตกต่างจากการควบคุมแบบพาสซีฟ คือระบบควบคุมแบบแอดคิฟอาศัยหลักการของทฤษฎีตัวกรองแบบปรับตัวได้ และในรายงานนี้ได้กล่าวถึง ลักษณะของเสียงรบกวน ลักษณะการใช้อัลกอริズึมให้เหมาะสมกับเสียงรบกวน และแนะนำ การเขียนโปรแกรมภาษาแอสแซมบลีสำหรับ TMS320C25 เพื่อใช้ในการสร้างระบบควบคุมเสียงรบกวนแบบแอดคิฟ

1.2.3 การกำจัดสัญญาณรบกวนแบบปรับตัวได้แบบแอดคิฟเซลแลนเดียโดยใช้ TMS320C50 DSP Starter Kit (Implementing A Single Channel Active Adaptive Noise Canceller with the TMS320C50 DSP Starter Kit) (Boucher Stephane, Bouchard Martin and L'esperance Andre : 1997) เป็นรายงานที่กล่าวถึงการนำ TMS320C50 DSP Starter Kit ของบริษัท Texus Instrument มาใช้ในการสร้างเครื่องขัดเสียงรบกวนแบบปรับตัวได้แบบแอดคิฟ เซลแลนเดีย โดยอาศัยหลักการของการควบคุมแบบป้อนกลับ และออกแบบนาฬิกาเพื่อใช้ในการ ขัดเสียงรบกวนที่มีลักษณะเป็นความ

1.3 วัตถุประสงค์

1.3.1 เพื่อศึกษาระบบการประมวลผลสัญญาณแบบปรับตัวได้เพื่อนำไปประยุกต์ใช้ในการสร้างเครื่องกำจัดสัญญาณเสียงรบกวนแบบปรับตัวได้

1.3.2 เพื่อสร้างเครื่องกำจัดสัญญาณเสียงรบกวนแบบปรับตัวได้

บทที่ 2

ทฤษฎีและหลักการในการประมวลผลสัญญาณดิจิตอล

2.1 แนวคิดพื้นฐานในการประมวลผลสัญญาณดิจิตอล

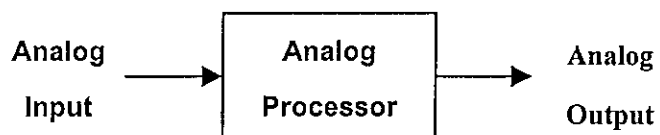
การประมวลผลสัญญาณ (signal processing) เป็นเรื่องเกี่ยวกับการแทน (representation), การขัดข้ายก ถ่ายโอน (manipulation) และการแปลง (transformation) สัญญาณ และข้อมูลของสัญญาณ ยกตัวอย่าง เช่น เราต้องการลดสัญญาณรบกวนหรือเอาสิ่งอื่นๆ ที่แทรกเข้ามาอยู่ในสัญญาณที่เราต้องการออกไป, ต้องการประมวลผลสัญญาณเพื่อหาข้อมูลที่แท้จริง บางอย่างที่อยู่ในสัญญาณนั้น เช่น คำที่อยู่ในสัญญาณเสียงพูด การพิสูจน์ (identity) บุคคลในรูปภาพ , การแยกเป้าหมาย (classification) ในสัญญาณเรดาร์ (radar signal)

การประมวลผลสัญญาณดิจิตอล (Digital Signal Processing :DSP) เป็นเรื่องที่เกี่ยวข้อง กับการประมวลผลข้อมูลซึ่งถูกแทนในรูปแบบของดิจิตอล มันอาจเป็นสิ่งที่เกิดขึ้นหลังจาก ขั้นตอนวิธีทางตัวเลข (numerical algorithm) ซึ่งได้มีการนำเสนอและทำการศึกษาเมื่อศตวรรษ ที่ผ่านมา และในปี ก.ศ. 1970 ได้มีการผลิตชิฟ DSP (DSP chip) ขึ้นเป็นครั้งแรกและได้มีการ พัฒนาขึ้นเรื่อยๆ ทำให้ชิฟ DSP มีความสามารถและมีความเร็วในการประมวลผลสัญญาณ สูงขึ้น การประมวลผลสัญญาณอนalogic เสศคงดังภาพประกอบ 2.1 การประมวลผลสัญญาณ อนalogic จะมีข้อจำกัดในกรณีที่ต้องการงานที่มีความละเอียดสูง วงจรไฟฟ้าที่ใช้จะมีความ слับซับซ้อนมาก ทำให้เกิดความยุ่งยากในการออกแบบ การประมวลผลสัญญาณดิจิตอลมีข้อ ได้เปรียบ และข้อที่เด่นมากกว่าหัวข้อประการด้วยกัน คือ

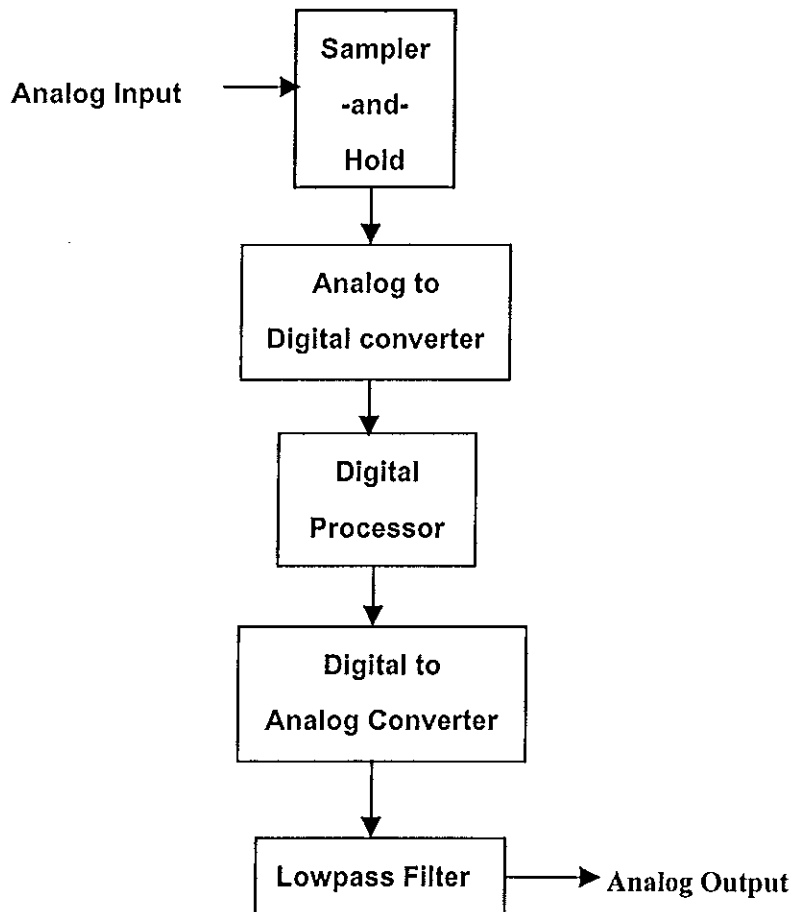
- การทำงานของวงจรดิจิตอลไม่ขึ้นอยู่กับค่าของสัญญาณดิจิตอล คือวงจรดิจิตอลมี ความไว้น้อยมากต่อความผิดพลาดที่ยอมรับได้ (tolerance) ของค่าองค์ประกอบ (component), “ไม่ขึ้นอยู่กับอุณหภูมิและค่าพารามิเตอร์ภายนอกอื่นๆ” วงจรดิจิตอล สามารถสร้างใหม่ได้ง่ายและ “ไม่ต้องการปรับแต่งใดๆ ในขณะสร้าง (construction)”
- ในปัจจุบันด้วยความก้าวหน้าของเทคโนโลยีทางด้านวงจร VLSI (Very Large Scale Integrated) ทำให้รวมระบบการประมวลผลสัญญาณดิจิตอลไว้ในชิฟเพียง ตัวเดียว
- ลักษณะสมบัติของตัวประมวลผลสามารถปรับแต่งได้ง่ายในระหว่างทำการ ประมวลผล อีกทั้ง เช่น ในการผลิตที่จำเป็นต้องนำตัวกรองแบบปรับตัวได้ไปใช้ในการ

ปรับค่าสัมประสิทธิ์ของตัวกรองสามารถทำได้โดยใช้อัลกอริธึม (algorithm) ใน การปรับค่าสัมประสิทธิ์แทนลักษณะสมบัติของตัวประมวลผล

- ราคาถูก และประหยัดพลังงานกว่า



ภาพประกอบ 2.1 การประมวลผลแบบอนาล็อกของสัญญาณอนาล็อก

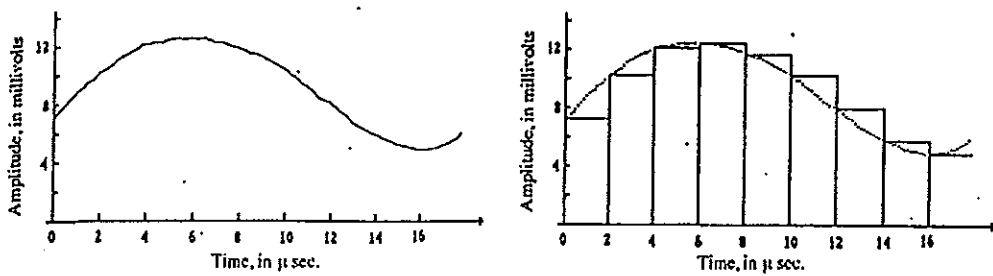


ภาพประกอบ 2.2 รูปแบบการประมวลผลแบบดิจิตอลของสัญญาณอนาล็อก

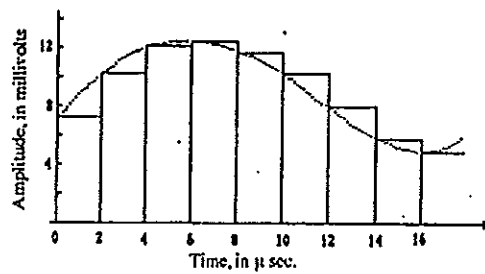
การประมวลแบบดิจิตอลของสัญญาณอนาล็อกประกอบด้วยขั้นตอน 3 ขั้นตอนด้วยกัน คือ

- การแปลงสัญญาณอนาล็อกให้เป็นแบบดิจิตอล
- การประมวลผลในรูปแบบดิจิตอล
- การแปลงสัญญาณดิจิตอลที่ได้ทำการประมวลผลแล้วกลับสู่รูปแบบ
สัญญาณอนาล็อกอีกรึ่งหนึ่ง เราสามารถเขียนขั้นตอนการประมวลผลแบบดิจิตอลใน
รูปแบบของบล็อกได้ดังภาพประกอบ 2.2

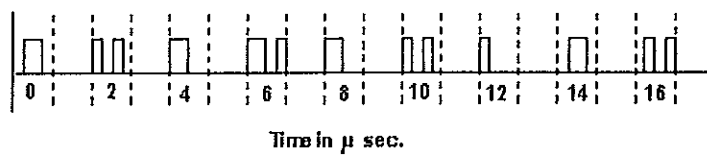
จากภาพประกอบ 2.2 เนื่องจากว่าเมื่อแปลงปัจจุบันของสัญญาณอินพุทแบบอนาล็อก มีการ
เปลี่ยนแปลงตามเวลาดังนี้เรารึ่งต้องใช้วงจร สุ่ม-คงค่า (sample-and-hold : S/H) เพื่อทำการสุ่มสัญญาณอินพุทแบบอนาล็อกและคงค่าสัญญาณดังกล่าวไว้ที่ค่าคงที่ค่าหนึ่งเป็นช่วง
เวลา certain ตามที่กำหนดไว้ แล้วทำการสุ่มค่าใหม่ต่อไป สัญญาณที่ได้จากวงจร S/H มี
ลักษณะเป็นแบบขั้นบันได เรียกสัญญาณนี้ว่าสัญญาณอนาล็อกแบบขั้นบันได จากนั้น
สัญญาณอนาล็อกแบบขั้นบันไดก็ถูกส่งเข้าวงจรแปลงสัญญาณอนาล็อกไปเป็นสัญญาณ
ดิจิตอล (Analog-to-Digital (A/D) converter) เอาต์พุทของวงจรแปลงสัญญาณ A/D จะเป็น
สัญญาณเลขฐานสอง ต่อจากนั้นก็ส่งต่อเข้าทำการประมวลผลที่ตัวประมวลผลดิจิตอล ได้
เอาต์พุทออกมายังคงเป็นเลขฐานสองคือยังคงเป็นสัญญาณดิจิตอลอยู่ และต่อมาถูกแปลง
ให้เป็นสัญญาณอนาล็อกแบบขั้นบันได โดยใช้วงจรแปลงสัญญาณดิจิตอลไปเป็นสัญญาณ
อนาล็อก (Analog-to-Digital (A/D) converter) หลังจากนั้นสัญญาณดังกล่าวก็จะถูกส่งเข้า
วงจรกรองความถี่ต่ำผ่าน (Lowpass filter) เพื่ออาจองค์ประกอบความถี่สูงที่ไม่ต้องการออกไป
แล้วส่งออกไปยังเอาต์พุท ถ้ายังเป็นสัญญาณอนาล็อกที่ได้ทำการประมวลผลเรียบร้อยแล้วและ
เป็นสัญญาณที่เราต้องการ ภาพประกอบ 2.3 และ 2.4 อธิบายรูปแบบของส่วนของสัญญาณ
ที่ผ่านบล็อกต่างๆแต่ละบล็อกในภาพประกอบ 2.2



(n)



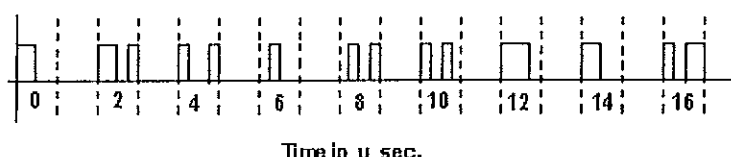
(u)



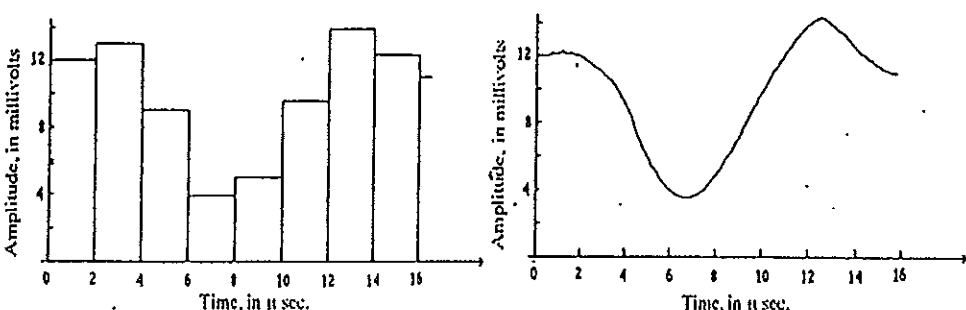
(k)

ภาพประกอบ 2.3 รูปแบบของสัญญาณที่ปรากฏในแต่ละบล็อกที่แสดงใน
ภาพประกอบ 2.2

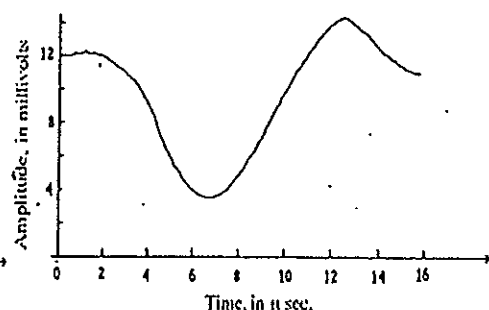
- (ก) สัญญาโนนาล็อกอินพุท (ข) เอ้าต์พุทของวงจร S/H circuit
- (ค) เอ้าต์พุทของวงจรแปลงสัญญาโนนาล็อกไปเป็นสัญญาณดิจิตอล



(n)



(u)

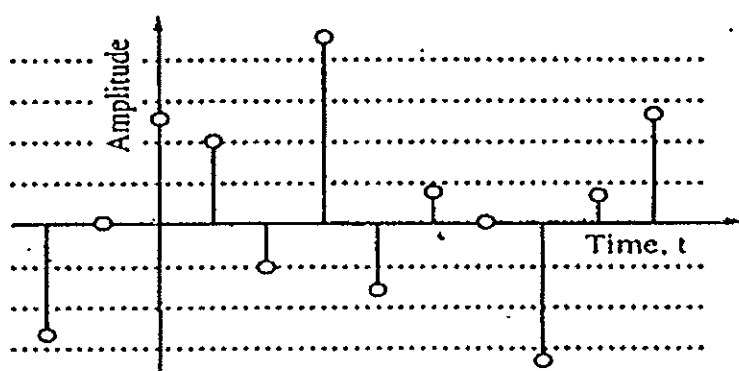


(k)

ภาพประกอบ 2.4 รูปแบบของสัญญาณที่ปรากฏในแต่ละบล็อกที่แสดงใน
ภาพประกอบ 2.2

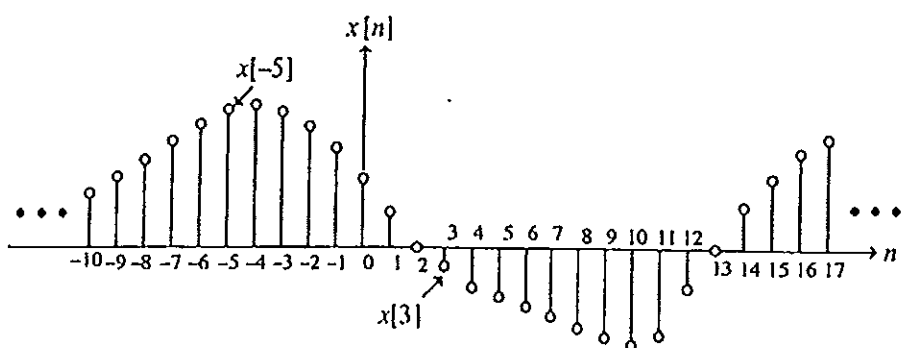
- (ก) เอ้าต์พุทของตัวประมวลผลสัญญาณดิจิตอล
- (ข) เอ้าต์พุทของวงจรแปลงสัญญาณดิจิตอลเป็นสัญญาโนนาล็อก
- (ค) สัญญาโนนาล็อกเอ้าต์พุทจากการกรองความถี่ต่ำผ่าน

สัญญาณที่ใช้ในการประมวลผลสัญญาณดิจิตอล จะเป็นสัญญาณที่เรียกว่าสัญญาณเวลาไม่ต่อเนื่อง (discrete-time signal) แสดงดังภาพประกอบ 2.5 และถ้าหากภาพประกอบ 2.2 ก็คือสัญญาณที่ออกจากการแปลงสัญญาณ A/D นั้นเอง และระบบที่ใช้สำหรับประมวลผลสัญญาณนี้คือระบบประมวลผลแบบเวลาไม่ต่อเนื่องด้วยชั้นกัน ในการที่จะศึกษาทำความเข้าใจเกี่ยวกับทฤษฎีของการประมวลผลสัญญาณเวลาไม่ต่อเนื่องและออกแบบระบบประมวลผลสัญญาณดังกล่าว เราจำเป็นที่จะต้องรู้ถักขณาณ์สมบัติของสัญญาณและระบบเวลาไม่ต่อเนื่อง



ภาพประกอบ 2.5 สัญญาณเวลาไม่ต่อเนื่อง

ในการประมวลผลสัญญาณดิจิตอล สัญญาณถูกแทนด้วยลำดับของตัวเลข เรียกว่า ตัวอย่าง (sample) ค่าตัวอย่างของสัญญาณเวลาไม่ต่อเนื่องเรียกแทนด้วย $x[n]$ ซึ่ง n เป็นจำนวนเต็มในย่านตั้งแต่ $-\infty$ ถึง ∞ และสัญญาณเวลาไม่ต่อเนื่องเรียกแทนด้วย $\{x[n]\}$ รูปแบบของสัญญาณ $\{x[n]\}$ แสดงดังภาพประกอบ 2.6



ภาพประกอบ 2.6 การแทนลำดับเวลาไม่ต่อเนื่อง $\{x[n]\}$ ด้วยรูปภาพ

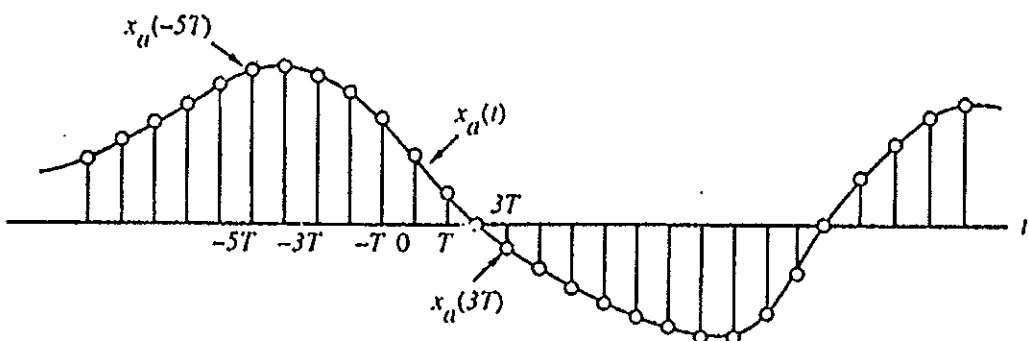
ลำดับไม่ต่อเนื่องเกิดขึ้นจากการสุ่มสัญญาณอนาล็อก $x_a(t)$ ซึ่งเป็นสัญญาณต่อเนื่องณ เวลาไม่ต่อเนื่องที่ห่างเท่าๆ กัน

$$x[n] = x_a(t)|_{t=nT} = x_a(nT) \quad , \quad n = \dots -2, -1, 0, 1, 2 \dots$$

อธินายดังภาพประกอบ 2.7 ช่วงว่าง T ระหว่างค่าตัวอย่างสองตัวที่ติดกัน เรียกว่า ช่วงของการสุ่ม (sampling interval) หรือการสุ่มนั่นเอง และความสามารถในการสุ่ม F_T ได้จาก

$$F_T = \frac{1}{T}$$

หน่วยในการสุ่มคือครั้งต่อวินาที (cycle per second) หรือ เฮิร์ต (Hertz : Hz)



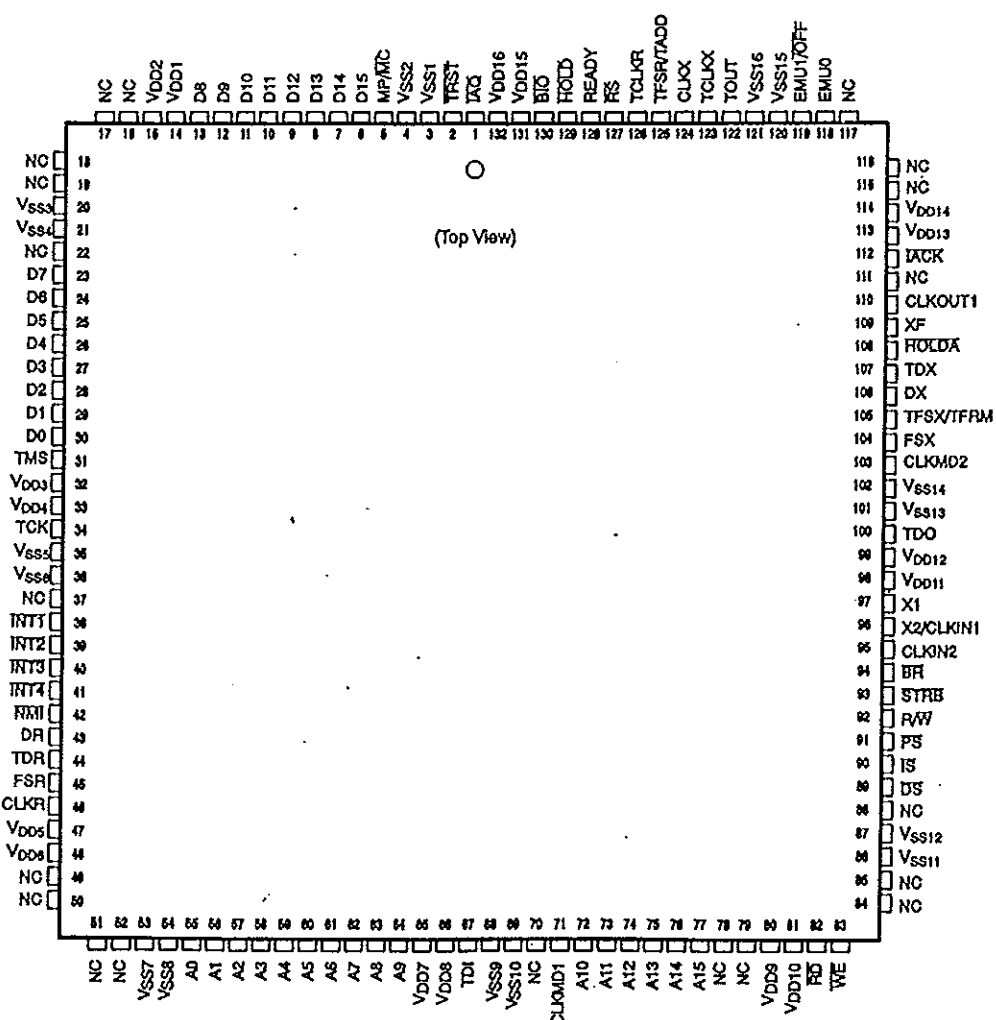
ภาพประกอบ 2.7 การเกิดลำดับโดยการสุ่มสัญญาณเวลาต่อเนื่อง $x_a(t)$

2.2 ตัวประมวลผลสัญญาณดิจิตอล TMS320C50x

ตัวประมวลผลสัญญาณดิจิตอล TMS320C50 ซึ่งถูกประดิษฐ์ขึ้นด้วยเทคโนโลยี CMOS แบบสแตติก (static CMOS integrated technology) โครงสร้างของมันออกแบบโดยใช้หลักการของ TMS320C25 คือมีสถาปัตยกรรมแบบฮาเวิร์ด (harvard architecture) ซึ่งจะมีหน่วยความจำโปรแกรม (program memory) และหน่วยความจำข้อมูล (data memory) แยกจากกัน ในการถ่ายโอนข้อมูลระหว่างหน่วยความจำข้อมูลและหน่วยความจำโปรแกรม จะมีคำสั่งโดยเฉพาะของมัน และคุณลักษณะสมบัติของ TMS320C50 แสดงข้างล่างนี้

- ใช้เวลาในการทำงานในช่วงหนึ่งรอบคำสั่งเท่ากับ 35-50 ns
- มีหน่วยความจำชนิดDRAM (RAM) บนตัวชิปขนาด $10 k \times 16$ บิต

- มีหน่วยความจำชนิดรอม (ROM) บนตัวชิฟขนาด $2 \text{ k} \times 16$ บิต
- สามารถอ้างหน่วยความจำภายในออกได้สูงสุด $224 \text{ k} \times 16$ บิต โดยแบ่งเป็นหน่วยความจำข้อมูลและหน่วยความจำโปรแกรมอย่างละ 64 k และใช้ทั่วไปอีก 32 k
- หน่วยประมวลผลทางคณิตศาสตร์ (Arithmetic Logic Unit : ALU), แอคกูมิวเลเตอร์ (Accumulator : ACC) และ แอคกูมิวเลเตอร์บ퍼 (Accumulator buffer : ACCB) มีขนาด 32 บิต
- สามารถรองรับการซ้อนเลขสองจำนวนที่มีขนาด 16×16 บิต ได้โดยผลลัพธ์จะเป็นเลขขนาด 32 บิต
- ให้เวลาในการคูณในหนึ่งรอบคำสั่งของการคูณ
- มีรีจิสเตอร์ช่วย (auxiliary register) ห้าหมด 8 ตัว สำหรับชี้ตำแหน่งแอดเดรส (address)
- มีハードแวร์สแตก (hardware stack) จำนวน 8 ระดับ
- การติดต่อโดยตรงระหว่าง TMS320C5x กับอุปกรณ์อนุกรณ (serial device) เป็นแบบสองทิศทางหรือที่เรียกว่า full duplex syncronous
- มีตัวกำเนิดสัญญาณนาฬิกาเวลาภายในชิฟ
- ต้องการแหล่งจ่ายไฟ 5 V
- มีจำนวนขาห้าหมด 132 ขา



Note: NC = No connect. (These pins are reserved.)

ภาพประกอบ 2.8 แสดงลักษณะการจัดวงขาสัญญาณทั้ง 132 ขา ของ TMS320C5x

2.2.1 สถาปัตยกรรมของ TMS320C50

หน่วยคำนวณทางคณิตศาสตร์และตรรกศาสตร์ (Arithmetic Logic Unit : ALU)

TMS320C50 จะใช้การคำนวณทางคณิตศาสตร์แบบทุกอนพลีเมนต์ (2s-complement) โดยใช้ ALU และ ACC ขนาด 32 บิต ALU เป็นหน่วยคำนวณที่ใช้สำหรับจดประสดกทั่วไป โดยใช้ข้อมูลขนาด 16 บิตจากหน่วยความจำข้อมูล หรือได้รับจากคำสั่งโดยตรง หรือได้รับผลซึ่งมีขนาด 32 บิตจากตัวถูก นอกเหนือแล้ว ALU ยังสามารถแสดงการกระทำแบบบูลีน (boolean operation) ได้ด้วย พลัตฟอร์มที่ได้จากการกระทำของ ALU จะถูก

ส่งไปเก็บที่แอกคูมิวเลเตอร์ นอกจากแอกคูมิวเลเตอร์จะทำหน้าที่เก็บผลลัพธ์ที่ได้จากการทำงานของ ALU แล้วแอกคูมิวเลเตอร์ยังทำหน้าที่เป็นอินพุทที่ 2 ให้กับ ALU ด้วย แอกคูมิวเลเตอร์มีขนาด 32 บิต แบ่งออกเป็นเวิร์ดสูง (bit31-bit16) เวิร์ดต่ำ (bit15-bit0)

หน่วยปฏิบัติการทางตรรกศาสตร์แบบขนาน (Parallel Logic Unit : PLU)

จะทำการปฏิบัติการทางตรรกศาสตร์กับข้อมูลโดยที่ไม่ส่งผลต่อ รายละเอียดของแอกคูมิวเลเตอร์ นอกจักนี้แล้ว PLU ยังมีความสามารถยกขี้ย้ายถ่ายโอน การเช็ตบิต เคลียร์บิต

ตัวคูณ (multiplier)

ทำหน้าที่คูณข้อมูล 16×16 บิตแบบทุกคอมพลีเมนต์ได้ผลลัพธ์ขนาด 32 บิต และใช้เวลาในการคำนวณเพียงหนึ่งรอบคำสั่ง ตัวคูณประกอบไปด้วยกัน 3 ส่วนคือ อาร์เรย์ของตัวคูณ (multiplier array), PREG (product register), TREG0 (temporary register)

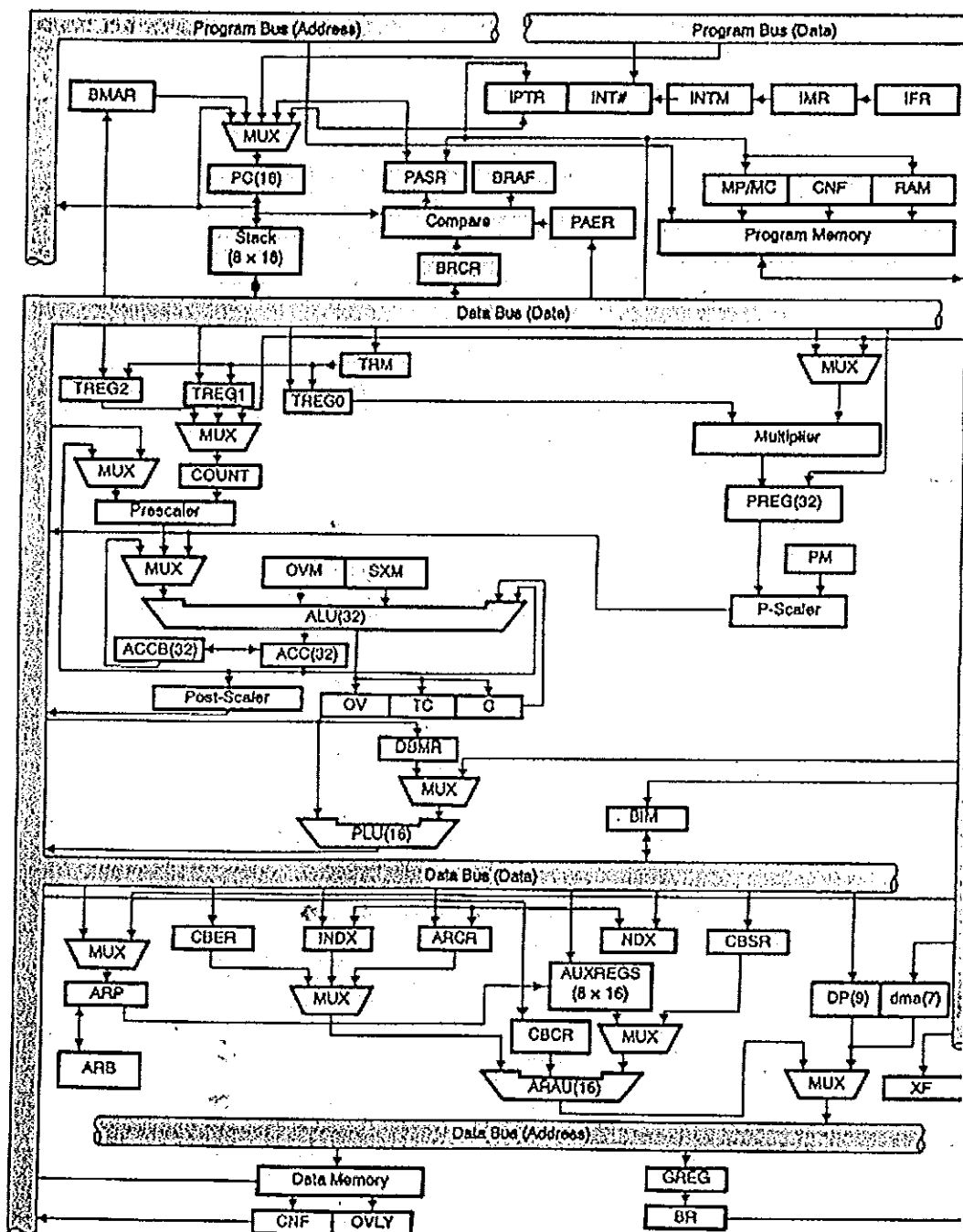
TREG0 เป็นรีจิสเตอร์ขนาด 16 บิต ทำหน้าที่เก็บตัวตั้งที่ใช้ในการคูณ, PREG เป็นรีจิสเตอร์ขนาด 32 บิต ทำหน้าที่เก็บผลลัพธ์ที่ได้จากการคูณ ส่วนค่าของตัวคูณ จะนำมาจากหน่วยความจำข้อมูลหรือนำมาจากหน่วยความจำโปรแกรมเมื่อมีการใช้คำสั่ง MAC/MACD/MADS /MADD

ตัวคีอนบิต (Scaling shifter)

ตัวเดือนบิตมีขนาด 16 บิตอินพุท ต่ออยู่กับเส้นทางข้อมูล และ 32 บิต เอาต์พุท ต่ออยู่กับ ALU จะทำการเดือนบิต 0 ถึง บิต 16 ของข้อมูลอินพุทไปทางซ้าย ถ้าถูก โปรแกรมไว้ในคำสั่งหรือถูกกำหนดไว้ใน TREG1 (shift count register) บิต LSBs ของ เอาต์พุทจะถูกกำหนดเป็นศูนย์ ขณะที่ MSBs อาจจะเป็นศูนย์หรือเครื่องหมายก์ได้ขึ้นอยู่กับ สถานะของบิต SXM (sign extension mode) ใน ST1 (status register)

สแตก (Stack)

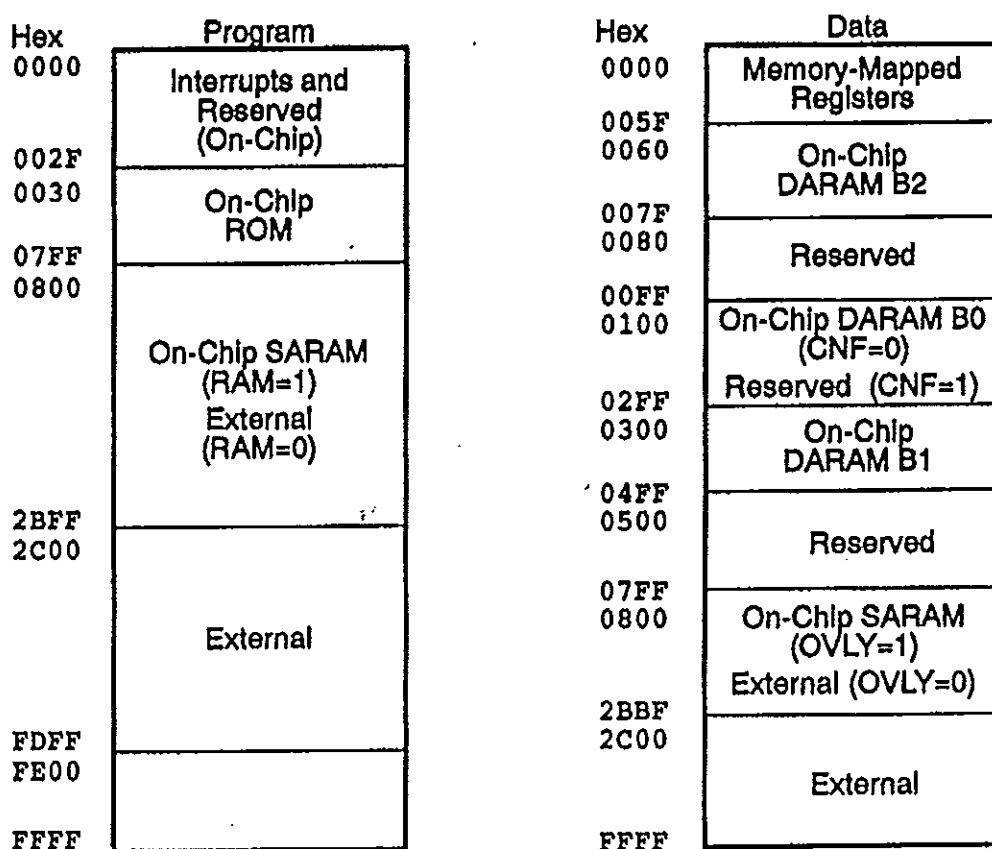
สแตกมี 8 ระดับ ทำหน้าที่เก็บตำแหน่งของโปรแกรมคาน์เตอร์ (program counter) ในระหว่างเกิดการอินเตอร์รัฟท์และเมื่อมีการเรียกชับรูทิน (subroutine) เมื่อเกิดการอินเตอร์รัฟท์ ข้อมูลใน ACC, ACCB, ARCR, INDX, PMST, PREG, ST0, ST1, TREGs จะถูกพุช (push) ไปเก็บไว้ที่สแตก และจะถูกพ้อพ (pop) ออกมากเมื่อถึงสุด การอินเตอร์รัฟท์



ภาพประกอบ 2.9 แสดงแผนกากับลักษณะการทำงานข้อมูลภายในของ

TMS320C5x

2.2.2 การจัดการหน่วยความจำภายใน (Internal Memory Organization)

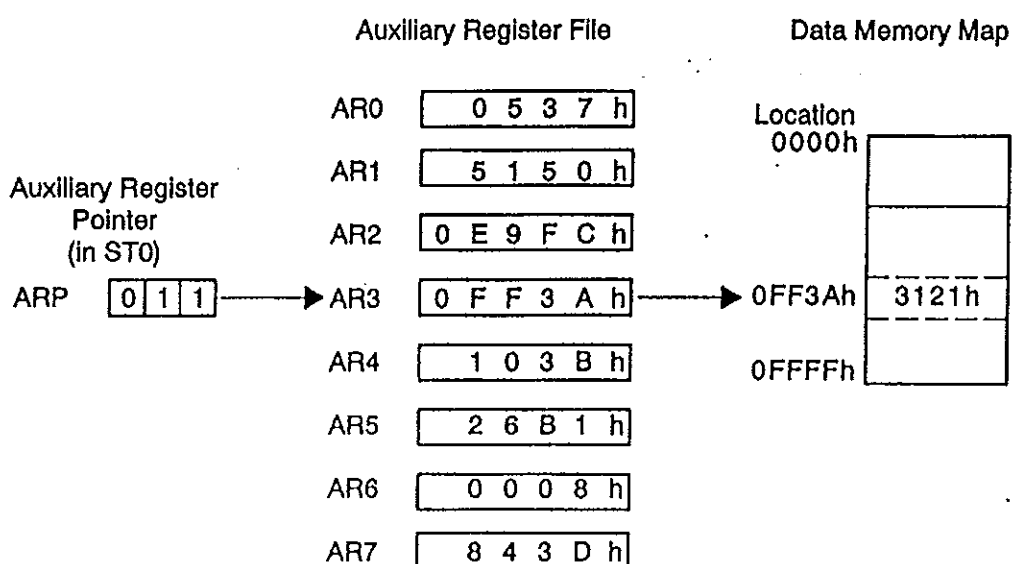


ภาพประกอบ 2.10 แสดงการจัดการหน่วยความจำภายในของ TMS320C5x

หน่วยความจำส่วน B2 เป็นหน่วยความจำประเภท DARAM (Dual access, Random-Access Memory) ซึ่งถูกองไว้เป็นบัฟเฟอร์ (buffer) สำหรับรีจิสเตอร์แสดงสถานะ (status register) ส่วนหน่วยความจำประเภท SARAM (Single Access, Random Access Memory) ถูกจัดให้เป็นหน่วยความจำข้อมูลและหน่วยความจำโปรแกรม ส่วนของโปรแกรมโคร์เนล (kernel program) จะถูกเก็บไว้ที่ 0x840h-0x980h สำหรับหน่วยความจำส่วนนี้ถูกเขียนทับจะต้องใช้สัญญาณรีเซ็ต (reset) ในการโหลดโปรแกรมโคร์เนลใหม่ ส่วนอินเตอร์รัพท์เวกเตอร์จะถูกเก็บไว้ที่ตำแหน่งเริ่มต้น 0x800h

2.2.3 รีจิสเตอร์ช่วย (auxiliary register)

TMS320C50 มีรีจิสเตอร์ช่วยด้วยกันทั้งหมด 8 ตัว คือ AR0-AR7 ใช้ในการจ้างตำแหน่งของหน่วยความจำข้อมูลทางอ้อมหรือใช้สำหรับเก็บข้อมูลชั่วคราว การอ้างตำแหน่งทางอ้อมโดยใช้รีจิสเตอร์ช่วยแสดงดังภาพประกอบ 2.11 รีจิสเตอร์เหล่านี้ถูกจัดโดยรีจิสเตอร์ช่วย ARP ซึ่งมีขนาด 3 บิต



ภาพประกอบ 2.11 ตัวอย่างการจ้างตำแหน่งทางอ้อมโดยใช้รีจิสเตอร์ช่วย

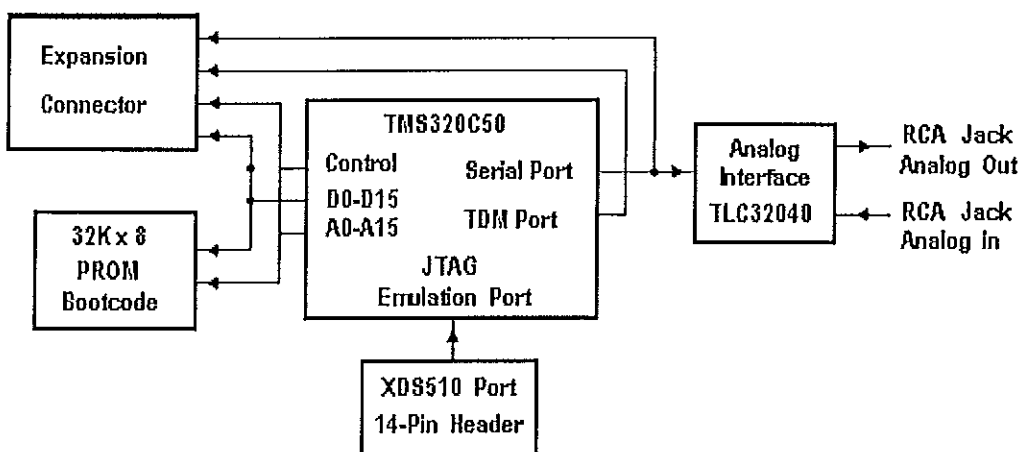
2.3 บอร์ด TMS320C5x DSP STARTER KIT

บอร์ด TMS320C5x DSP Starter Kit (DSK) เป็นบอร์ดที่ใช้ในการประมวลผลสัญญาณดิจิตอลที่มีราคาถูก ใช้งานง่าย สามารถใช้ในการประมวลผลสัญญาณที่เป็นแบบเวลาจริง (real time) สามารถติดต่อกับคอมพิวเตอร์ได้โดยผ่านทางพอร์ท RS232 ดังนั้นมันจึงทำให้สามารถทำการพัฒนาและแก้ไขโปรแกรมได้ง่าย บอร์ดมีชิปเบอร์ TMS320C50 เป็นตัวประมวลผล และบอร์ด DSK นี้ได้ถูกออกแบบมาให้สามารถสร้างโปรแกรมและทำการรัน (run) บนตัวบอร์ดได้เลย นอกจากนี้แล้วเรายังสามารถขยายระบบจากบอร์ดเดิมที่มีอยู่ได้อีกด้วย สำหรับข้างล่างนี้เป็นรายละเอียดของบอร์ด TMS320C5x DSP STARTER KIT

- ใช้ชิปเบอร์ TMS320C50 เป็นตัวประมวลผล

- มีหน่วยความจำประเกท PROM (Programmable Read Only Memory) ขนาด 32 กิโลไบต์
- ใช้ชิปเบอร์ TLC32040 เป็นตัวแปลงสัญญาณอนาล็อกเป็นสัญญาณดิจิตอลและ แปลงสัญญาณดิจิตอลเป็นสัญญาณอนาล็อก (A/D and D/A converter)
- มีจุดต่อ RCA สำหรับรับและส่งสัญญาณอนาล็อกที่สามารถต่อกับไมโครโฟนและ ลำโพงโดยตรง
- มีจุดต่อ XDSA510 emulator connector
- มีเส้นทางในการขยาย I/O (I/O expression bus) สำหรับการออกแบบภายนอก

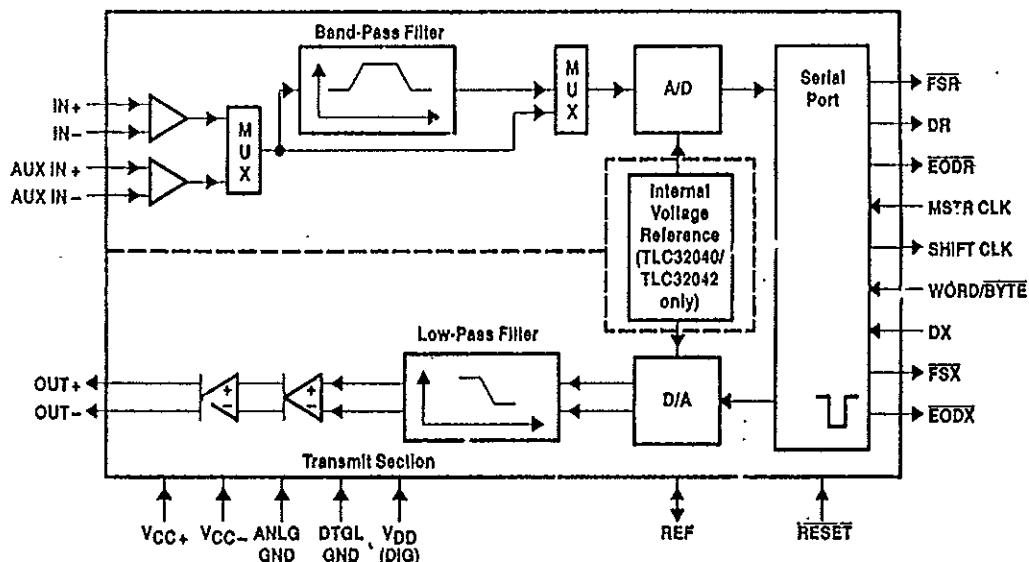
ภาพประกอบ 2.12 เป็นแผนภาพบล็อกพื้นฐานของ TMS320C5x ซึ่งแสดงการเชื่อมต่อ ระหว่างกัน (interconnections) ประกอบด้วยโอดินเตอร์เฟส (host interface), อนาล็อก อินเตอร์เฟส (analog interface), และอิมูเลชั่นอินเตอร์เฟส (emulation interface) และในการ ติดต่อกับ PC จะติดต่อผ่านทาง RS-232 สำหรับหน่วยความจำ PROM ขนาด 32 กิโลไบต์ จะเก็บโปรแกรมเครื่องเร็ว (Kernal program) ที่ใช้ในการบูต (boot)



ภาพประกอบ 2.12 เป็นแผนภาพบล็อกพื้นฐานของ TMS320C5x ซึ่งแสดงการเชื่อมต่อ ระหว่างกัน

วงจรที่สำคัญอีกส่วนหนึ่งนั่นก็คือ วงจร Analog Interface Circuit (AIC) เป็นไอซีเบอร์ TLC32040 วงจนี้เป็นวงจรที่ทำหน้าที่แปลงสัญญาณอนาล็อกเป็นสัญญาณดิจิตอลและแปลงสัญญาณดิจิตอลเป็นสัญญาณอนาล็อกในตัวเดียวกัน บอร์ด TMS320C5x DSP STARTER KIT เป็นบอร์ดที่ใช้ในการประมวลผลสัญญาณดิจิตอลที่มีราคาถูก ใช้งานง่ายสามารถติดต่อ กับคอมพิวเตอร์ได้โดยผ่านทางพอร์ต RS232 ดังนั้นมันจึงทำให้สามารถทำการพัฒนาและแก้ไขโปรแกรมได้ง่าย

ไอซี TLC32040 (Analog Interface Circuit :AIC) เป็นไอซีที่มีวงจรแปลงสัญญาณอนาล็อกเป็นสัญญาณดิจิตอลและแปลงสัญญาณดิจิตอลกลับมาเป็นสัญญาณอนาล็อกในตัวเดียวกัน มีความละเอียด 14 บิต (14-bit resolution) ภายนอกไอซีดังกล่าวจะมีวงจรกรองความถี่สำหรับการป้องกันการเกิดเอลิสซิ่งหรือที่เรียกว่า วงจร Anti-Asiasing นั้นเอง AIC อยู่บนบอร์ด DSK มันอินเตอร์เฟสโดยตรงกับ TMS320C5x ผ่านทางพอร์ตอนุกรม (serial port) สำหรับลักษณะภายในของไอซีเบอร์ TLC32040 แสดงดังภาพประกอบ 2.13



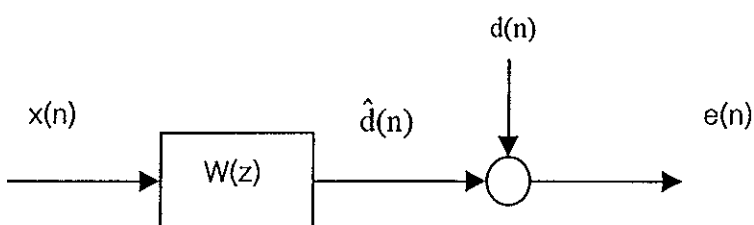
ภาพประกอบ 2.13 วงจรภายในของไอซีเบอร์ TLC32040

บทที่ 3

ตัวกรองปรับค่าได้

3.1 ตัวกรองแบบ FIR (Finite Impulse Response) Wiener

ในการประมาณสัญญาณหนึ่งจากสัญญาณอิสระสัญญาณหนึ่ง เป็นปัญหาที่มีความสำคัญมากที่สุดปัญหานี้ใน การประมาณผลสัญญาณ ในปี 1940 Norbert Wiener ได้นำเสนอผลงานวิจัยในปัญหารือการออกแบบตัวกรองที่สามารถประมาณสัญญาณได้เหมาะสม จากการวัดสัญญาณรบกวนหรือจากการสังเกตจากสัญญาณรบกวน การกรองแบบ Wiener ในลักษณะไม่ต่อเนื่อง (discrete) แสดงดังภาพประกอบ 3.1 $W(z)$ เป็นตัวกรองแบบ linear shift-invariant ซึ่งจะกรองสัญญาณอินพุท $x(n)$ เพื่อสร้างสัญญาณประมาณ $\hat{d}(n)$ ให้มีลักษณะเหมือนกับสัญญาณ $d(n)$



ภาพประกอบ 3.1 แสดงรูปแบบปัญหาการกรองแบบ Wiener โดยทั่วไป กำหนดให้ $x(n)$ และ $d(n)$ เป็น jointly wide-sense stationary (WSS) คือมี ความสัมพันธ์ทางสถิติซึ่งกันและกัน $W(z)$ เป็นตัวกรองซึ่งใช้ในการ สร้างสัญญาณประมาณ $\hat{d}(n)$

ในการออกแบบตัวกรอง FIR Wiener เราสมมุติให้ $x(n)$ และ $d(n)$ เป็น jointly wide-sense stationary (WSS) ซึ่งทราบค่าออโตคอร์เรลลัชัน (autocorrelation) $r_x(k)$ และ ทราบค่า ครอบ-คอร์เรลลัชัน (cross-correlation) $r_{dx}(k)$ สำหรับ $w(n)$ เป็นผลตอบสนองตัวอย่างหนึ่งหน่วย (unit sample response) ของตัวกรอง Wiener และถ้าเราให้ตัวกรองมีอันดับเท่ากับ (p) ดังนั้นฟังก์ชันระบบคือ

$$W(z) = \sum_{n=0}^{p-1} w(n)z^{-n}$$

ຕົວຢ່າງ $x(n)$ ເປັນອິນພູຖຂອງຕົວກຮອງ $d(n)$ ເປັນເອົາຫຼຸຖຂອງຕົວກຮອງ $x(n)$ ໄດ້ຈຳການການທຳຄອນໄວລູ້ໜັນ (convolution) ຂອງຕົວກຮອງ $w(n)$ ກັບສັງຄູາຜົນອິນພູຖ $x(n)$

$$\hat{d}(n) = \sum_{l=0}^{p-1} w(l)x(n-l) \quad (3.1)$$

ແລະ

$$e(n) = d(n) - \hat{d}(n) \quad (3.2)$$

ໃນກາຮອກແບນຕົວກຮອງ Wiener ນີ້ ເຮົາຕັດການກາຫາສັນປະລິທິຕົວກຮອງ $w(k)$ ທີ່ທໍາໃຫ້ ປ່າຍຄວາມຜິດພາດເຄີຍກຳລັງສອງແລ້ວອ່ານຸຍື່ງ (minimize the mean-square error)

$$\xi = E\{[e(n)]^2\} = E\left\{[d(n) - \hat{d}(n)]^2\right\} \quad (3.3)$$

ແລະເພື່ອທີ່ຈະທໍາໃຫ້ໄດ້ສັນປະລິທິຕົວກຮອງ ຜຶ່ງທີ່ກຳລັງສອງແລ້ວອ່ານຸພັນທີ່ຂອງ ξ ເທິຍບກັບ $w^*(k)$ ເທິກັບສູນທີ່ ($k=0,1,\dots,p-1$)

$$\frac{\partial \xi}{\partial w^*(k)} = \frac{\partial}{\partial w^*(k)} E\{e(n)e^*(n)\} = E\left\{e(n) \frac{\partial e^*(n)}{\partial w^*(k)}\right\} = 0 \quad (3.4)$$

ຕົວຢ່າງ $e(n) = d(n) - \sum_{l=0}^{p-1} w(l)x(n-l)$ (3.5)

ດັ່ງນັ້ນ $\frac{\partial e^*(n)}{\partial w^*(n)} = -x^*(n-k)$

ສມກາຮ (3.4) ເປັນເປົ້າ

$$E\{e(n)x^*(n-k)\} = 0 ; \quad k=0,1,\dots,p-1 \quad (3.6)$$

แทนสมการ (3.5) ใน (3.6)

$$E\{d(n)x^*(n-k)\} - \sum_{l=0}^{p-1} w(l)E\{x(n-l)x^*(n-k)\} = 0 \quad (3.7)$$

สูดท้ายเนื่องจาก $x(n)$ และ $d(n)$ เป็น jointly WSS ดังนั้น

$$\begin{aligned} E\{x(n-l)x^*(n-k)\} &= r_x(k-l) \\ \text{และ } E\{d(n)x^*(n-k)\} &= r_{dx}(k) \end{aligned}$$

ดังนั้นสมการ (3.7) เปลี่ยนเป็น

$$\sum_{l=0}^{p-1} w(l)r_x(k-l) = r_{dx}(k) ; k=0,1,\dots,p-1 \quad (3.8)$$

สมการ (3.8) เป็นกลุ่มของสมการเชิงเส้น p สมการ และ $w(k)$ ซึ่งเป็นค่าที่ไม่ทราบ (unknown) p ตัว ซึ่ง $k=0,1,\dots,p-1$ เราเขียนสมการ (3.8) ในรูปของเมตริกซ์ และใช้ความจริงของลำดับออโตกอร์รีเลชันว่าเป็นสมมาตรเชิงคอนjugate $r_x(k) = r^*(-k)$ ได้ดังนี้

$$\begin{bmatrix} r_x(0) & r_x^*(1) & \dots & r_x^*(p-1) \\ r_x(1) & r_x(0) & \dots & r_x^*(p-2) \\ r_x(2) & r_x(1) & \dots & r_x^*(p-3) \\ \vdots & \vdots & & \vdots \\ r_x(p-1) & r_x(p-2) & \dots & r_x(0) \end{bmatrix} \begin{bmatrix} w(0) \\ w(1) \\ w(2) \\ \vdots \\ w(p-1) \end{bmatrix} = \begin{bmatrix} r_{dx}(0) \\ r_{dx}(1) \\ r_{dx}(2) \\ \vdots \\ r_{dx}(p-1) \end{bmatrix} \quad (3.9)$$

สมการ (3.9) เป็นรูปแบบเมตริกซ์ของสมการ Wiener-Hopf เขียนในรูปแบบใหม่ในรูปแบบที่รัดกุม ได้ดังนี้

$$\mathbf{R}_x \mathbf{w} = \mathbf{r}_{dx} \quad (3.10)$$

เมื่อ \mathbf{R}_x เป็นเมตริกซ์ Hermitian Toeplitz ขนาด $p \times p$ ของออโตกอร์รีเลชัน

w เป็นเวกเตอร์สัมประสิทธิ์ตัวกรอง

และ r_{dx} เป็นเวกเตอร์ของกรอส-คอร์รีเลชันระหว่างสัญญาณที่ต้องการ (desired signal) $d(n)$ และสัญญาณสังเกต (observed signal) $x(n)$

สำหรับค่าความผิดพลาดกำลังสองเฉลี่ยต่ำสุดในการประมาณ $d(n)$ สามารถได้จากสมการ (3.3)

$$\begin{aligned}\xi &= E\{e(n)\}^2 = E\left\{e(n)\left[d(n) - \sum_{l=0}^{p-1} w(l)x(n-l)\right]\right\} \\ &= E\{e(n)d^*(n)\} - \sum_{l=0}^{p-1} w(l)E\{e(n)x^*(n-l)\} \quad (3.11)\end{aligned}$$

ถ้าหากว่า $w(k)$ เป็นค่าตอบของสมการ Wiener-Hopf และจากสมการ (3.6)
 $E\{e(n)x^*(n-k)\} = 0$ ดังนั้นthonที่ 2 ของสมการ (3.11) เท่ากับ 0

$$\begin{aligned}\text{และ } \xi_{\min} &= E\{e(n)d^*(n)\} \\ &= E\left\{\left[d(n) - \sum_{l=0}^{p-1} w(l)x(n-l)\right]d^*(n)\right\} \\ &= E\left\{d(n)d^*(n) - \sum_{l=0}^{p-1} w(l)x(n-l)d^*(n)\right\} \\ &= r_d(0) - \sum_{l=0}^{p-1} w(l)r_{dx}^*(l) \quad (3.12)\end{aligned}$$

เขียนในรูปแบบของเวกเตอร์ได้ดังนี้

$$\xi_{\min} = r_d(0) - r_{dx}^H w \quad (3.13)$$

เมื่อจาก $w = R_x^{-1}r_{dx}$

$$\xi_{\min} = r_d(0) - r_{dx}^H R_x^{-1} r_{dx} \quad (3.14)$$

3.2 ตัวกรองปรับค่าได้

พิจารณาปัญหาการกรองแบบ Wiener

$$\hat{d}(n) = \sum_{k=0}^p w(k) x(n-k) \quad (3.15)$$

ให้ $x(n)$ และ $d(n)$ เป็น jointly wide-sense stationary process ค่าความผิดพลาด $e(n) = d(n) - \hat{d}(n)$ และสัมประสิทธิ์ตัวกรองซึ่งทำให้ค่าความผิดพลาดเฉลี่ยกำลังสอง $E\{|e(n)|^2\}$ มีค่าน้อยที่สุด หาได้จากการแก้สมการ Wiener-Hopf

$$R_x w = r_{dx} \quad (3.16)$$

และถ้า $x(n)$ และ $d(n)$ เป็นลักษณะเปลี่ยนตามเวลา (nonstationary) สัมประสิทธิ์ตัวกรองซึ่งทำให้ $E\{|e(n)|^2\}$ มีค่าน้อยที่สุดจะขึ้นอยู่กับค่า n และตัวกรองก็จะเป็นแบบเปลี่ยนแปลงตามเวลา (shift-varying) คือ

$$\hat{d}(n) = \sum_{k=0}^p w_n(k) x(n-k) \quad (3.17)$$

$w_n(k)$ เป็นค่าสัมประสิทธิ์ตัวกรองที่เวลา n และเราสามารถเขียนสมการ (3.17) ในรูปของเวกเตอร์ได้ดังนี้

$$\hat{d}(n) = \sum_{k=0}^p w_n^T x(n)$$

ซึ่ง $w_n = [w_n(0), w_n(1), \dots, w_n(n)]^T$ เป็นสัมประสิทธิ์ของตัวกรองที่เวลา n

$$x(n) = [x(n), x(n-1), \dots, x(n-p)]^T$$

ในการออกแบบตัวกรองแบบที่มีการเปลี่ยนแปลงตามเวลา (shift-varying) หรือตัวกรองแบบปรับตัวได้ (adaptive) นั้น ทำได้มากกว่าการออกแบบตัวกรอง Wiener ซึ่งเป็นแบบไม่เปลี่ยนตามเวลา (shift-invariant) เนื่องจากว่าจำเป็นที่จะต้องหาค่ากลุ่มของสัมประสิทธิ์

ตัวกรอง $w_n(k)$ (สำหรับ $k = 0, 1, \dots, p$) ที่เหมาะสมสำหรับทุกค่าของ n อย่างไรก็ตามปัญหา
นี้อาจพิจารณาให้ง่ายขึ้น ถ้าเราลดความต้องการที่จะหา w_n ซึ่งทำให้ค่าความผิดพลาดเหลือ
กำลังสองมีค่าน้อยที่สุดที่แต่ละเวลา n และมาพิจารณาสมการปรับค่าสัมประสิทธิ์ ซึ่งมีรูปแบบ
ดังสมการ (3.18)

$$w_{n+1} = w_n + \Delta w_n \quad (3.18)$$

Δw_n คือ คอร์เรคชัน (Correction) ซึ่งใช้ในการหาสัมประสิทธิ์ตัวกรองตัวใหม่ w_{n+1}
ที่เวลา $n+1$ และนี่ก็เป็นสมการปรับซึ่งเป็นหัวใจของตัวกรองแบบปรับค่าได้ที่เราจะใช้ในการ
ออกแบบ ในการออกแบบตัวกรองแบบปรับค่าได้จะเป็นการกำหนดว่าจะทำการสร้างรูปแบบ
ของคอร์เรคชันนี้อย่างไร สำหรับในกรณีที่เป็นสัญญาณที่ไม่เปลี่ยนแปลงตามเวลา มีเหตุผล
หลายประการด้วยกันที่ว่าทำไมเราจึงใช้สมการ (3.18) ในการหาตัวกรอง Wiener ที่เป็นแบบ
“ไม่เปลี่ยนแปลงตามเวลา” (time-invariant) อันดับแรกคือ ถ้าอันดับ p ของตัวกรองมีขนาดใหญ่
มันอาจยากหรือเป็นไปไม่ได้ในทางปฏิบัติในการแก้สมการ Wiener-Hopf โดยตรง อันที่ 2 คือ
ถ้า R_x ถูกทำให้อยู่ในเงื่อนไขที่ไม่เหมาะสม คือ เป็นซิงกูลาร์ (singular) ทำให้การแก้ปัญหา
สมการ Wiener-Hopf มีความไวต่อค่าผิดพลาดจากการปัดเศษ (round-off errors) และมีผลต่อ
ความเที่ยงที่จำกัด (finite precision effects) สุดท้ายซึ่งบางทีอาจสำคัญที่สุด คือในการแก้
สมการ Wiener-Hopf ต้องการใช้ค่าออโต้โคร์เรลชัน $r_x(k)$ และครอส-คอร์เรลชัน $r_{dx}(k)$ แต่
เนื่องจากว่า อยู่ในรูปที่ไม่ทราบค่า (unknown) ดังนั้นมันจึงจำเป็นที่จะต้องทำการประมาณค่า
ของมันจากการประมาณสัญญาณ

$$\begin{aligned}\hat{r}_x(k) &= \frac{1}{N} \sum_{n=0}^{N-1} x(n)x^*(n-k) \\ \hat{r}_{dx}(k) &= \frac{1}{N} \sum_{n=0}^{N-1} d(n)x^*(n-k)\end{aligned}\quad (3.19)$$

แต่เนื่องจาก ค่าออโต้โคร์เรลชัน $r_x(k)$ และครอส-คอร์เรลชัน $r_{dx}(k)$ มีการเปลี่ยนแปลง
ตามเวลา ดังนั้น การประมาณจำเป็นต้องมีการปรับ (update) อย่างต่อเนื่อง

วิธีการที่จะหาองค์ประกอบของตัวกรองปรับค่าจึงเป็นกฎ หรือ อัลกอริธึม ซึ่งกำหนด
วิธีการสร้างรูปแบบของคอร์เรคชัน Δw_n ถึงแม้ว่ามันยังไม่ชัดเจนว่าคอร์เรคชันนี้จะเป็นอะไร

แต่สิ่งที่ชัดเจนคือ ลำดับของคอร์เรคชันทำให้ความผิดพลาดเหลือกำลังสองลดลง นั่นคือ อัลกอริธึม อะ ไร ก์ ตามที่ใช้แล้วทำให้ตัวกรองปรับค่าได้เป็นไปตามคุณสมบัติต่อไปนี้

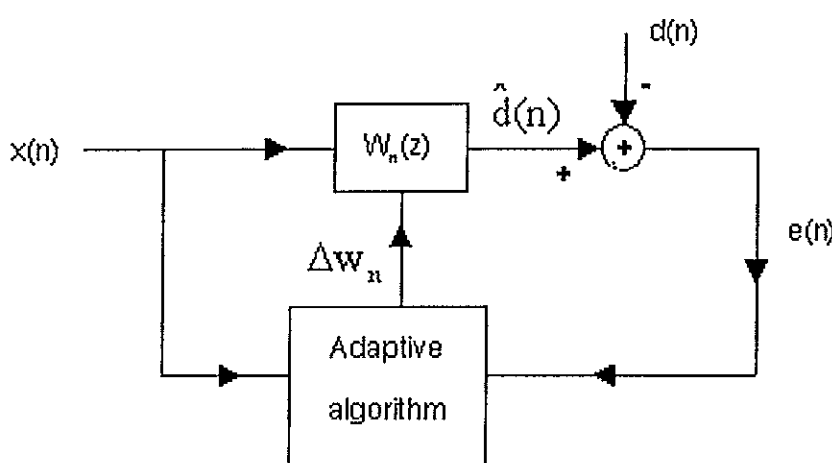
1. โดยธรรมชาติของสัญญาณที่ไม่เปลี่ยนแปลงตามเวลา ตัวกรองปรับค่าได้ควรจะ สร้างลำดับของคอร์เรคชัน Δw_n ซึ่งทำให้ w_n ถูกระเข้าสู่วิธีการแก้สมการ Wiener-Hopf

$$\lim_{n \rightarrow \infty} w_n = R_x^{-1} r_{dx}$$

2. ไม่จำเป็นที่จะต้องทราบค่า $r_x(k)$ และ $r_{dx}(k)$ ซึ่งเป็นค่าทางสถิติของสัญญาณเมื่อ กำหนด Δw_n

3. สำหรับสัญญาณที่เป็นแบบเปลี่ยนแปลงตามเวลา ตัวกรองควรจะสามารถปรับตาม (adapt) ตามค่าสถิติที่เปลี่ยนแปลงไป

ภาพประกอบ 3.2 อธิบายการออกแบบตัวกรองปรับค่าได้ ซึ่งเกี่ยวข้องกับการกำหนด วิธีการในการจัดรูปแบบของคอร์เรคชัน จากภาพประกอบดังกล่าวจะเห็นว่าเราต้องการ สร้างสัญญาณผิดพลาด (error signal) $e(n)$ เพื่อส่งให้กับอัลกอริธึมปรับค่า เนื่องจากว่า $e(n)$ จะเป็น ตัววัดการทำงานของตัวกรองและกำหนดวิธีการที่สัมประสิทธิ์ตัวกรองควรจะทำการปรับ เป็นลักษณะไร้ด้านไม่มี $e(n)$ ตัวกรองก็จะไม่สามารถปรับค่าได้



ภาพประกอบ 3.2 แผนภาพบล็อกของตัวกรองปรับตัวได้ประกอบด้วยตัวกรอง $W_n(z)$ และอัลกอริธึมสำหรับปรับค่าสัมประสิทธิ์ของตัวกรอง $w_n(k)$

3.2.1 การออกแบบตัวกรองปรับตัวได้แบบ FIR

ในการออกแบบตัวกรองปรับตัวได้ เราจะเริ่มจากการศึกษาตัวกรองปรับตัวได้โดยใช้ การออกแบบตัวกรองปรับตัวได้แบบ FIR ตัวกรองแบบ FIR ถูกใช้เป็นประจำในงานทางด้านการกรองแบบปรับค่าได้ เช่น อิควอไลเซอร์ปรับตัวได้ (adaptive equalizers) ในระบบการสื่อสารดิจิตอล, ระบบควบคุมเสียงรบกวนปรับตัวได้ มีเหตุผลหลายประการที่ตัวกรองปรับตัวได้แบบ FIR เป็นที่นิยมใช้กัน เช่น เสถียรภาพสามารถควบคุมได้ง่าย โดยที่สัมประสิทธิ์ของตัวกรองถูกทำให้อยู่ในขอบเขตได้แน่นอน, อัลกอริธึมมีความง่าย และมีประสิทธิภาพสำหรับปรับสัมประสิทธิ์ตัวกรอง, การทำงานของอัลกอริธึมเหล่านี้ทำให้ตัวกรองถูกเข้าและมีเสถียรภาพ

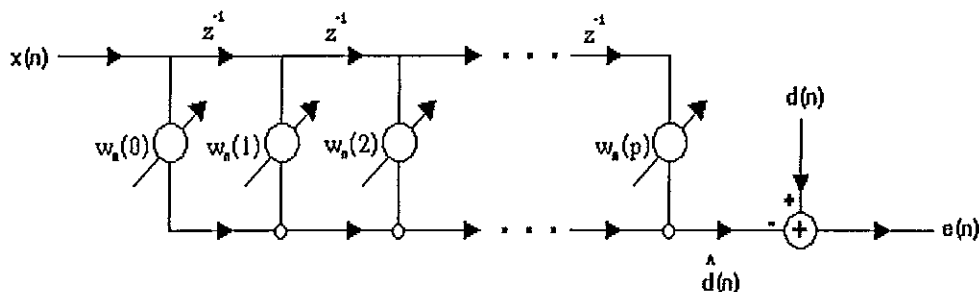
ตัวกรองปรับตัวได้แบบ FIR ที่ใช้สำหรับการประมาณสัญญาณที่ต้องการ (desired signal) $d(n)$ จากสัญญาณ $x(n)$ อย่างดังภาพประกอบ 3.3 คือ

$$\hat{d}(n) = \sum_{k=0}^p w_n(k)x(n-k) = w_n^T x(n)$$

ในที่นี่เรามนูติว่า $x(n)$ และ $d(n)$ เป็นสัญญาณสุ่ม (random) ที่มีการเปลี่ยนแปลงตามเวลา (nonstationary random process) และเป้าหมายในการออกแบบตัวกรองปรับตัวได้แบบ FIR ของเราคือ ต้องการหาค่าต่อร่องสัมประสิทธิ์ w_n ที่เวลา n ซึ่งทำให้ค่าความผิดพลาดเฉลี่ยกำลังสองมีค่าน้อยที่สุด

$$\xi(n) = E\{|e(n)|^2\}$$

ดัง $e(n) = d(n) - \hat{d}(n) = d(n) - w_n^T x(n)$ (3.20)



ภาพประกอบ 3.3 รูปแบบของตัวกรองปรับค่าได้ FIR แบบ direct-form

จากตัวกรอง FIR Wiener วิธีการที่จะใช้ในการทำให้ค่าความผิดพลาด เกลี้ยงดังสองมีค่าน้อยที่สุดก็คือ การหาอนุพันธ์ของ $\xi(n)$ เทียบกับ $w_n^*(k)$ แล้วให้เท่ากับศูนย์

$$\frac{\partial \xi}{\partial w^*(k)} = \frac{\partial}{\partial w^*(k)} E\{e(n)e^*(n)\} = E\left\{e(n) \frac{\partial e^*(n)}{\partial w^*(k)}\right\} = 0 \quad (3.21)$$

$$\text{จาก } e(n) = d(n) - w_n^T x(n) = d(n) - \sum_{l=0}^{p-1} w_n(l)x(n-l) \quad (3.22)$$

$$\text{ดังนั้น} \quad \frac{\partial e^*(n)}{\partial w^*(k)} = -x^*(n-k)$$

ดังนั้นสมการ (3.21) จึงกลายเป็น

$$E\{e(n)x^*(n-k)\} = 0 \quad ; \quad k=0,1,\dots,p-1 \quad (3.23)$$

แทนสมการ (3.22) ในสมการ (3.23)

$$E\left\{ \left[d(n) - \sum_{l=0}^p w_n(l)x(n-l) \right] x^*(n-k) \right\} = 0 \quad ; \quad k=0,1,\dots,p \quad (3.24)$$

จัดสมการใหม่

$$\sum_{l=0}^p w_n(l) E\{x(n-l)x^*(n-k)\} = E\{d(n)x^*(n-k)\} \quad ; \quad k=0,1,\dots,p \quad (3.25)$$

จากตัวกรอง FIR Wiener เราสมมุติให้ $x(n)$ และ $d(n)$ เป็น joint WSS ซึ่งวิธีการแก้สมการเหล่านี้จะขึ้นอยู่กับค่า n และเขียนสมการ (3.24) ใหม่ได้ดังนี้

$$R_x(n)w_n = r_{dx}(n)$$

ቃና

$$R_x(n) = \begin{bmatrix} E\{x(n)x^*(n)\} & E\{x(n-1)x^*(n)\} & \dots & E\{x(n-p)x^*(n)\} \\ E\{x(n)x^*(n-1)\} & E\{x(n-1)x^*(n-1)\} & \dots & E\{x(n-p)x^*(n-1)\} \\ \vdots & \vdots & \ddots & \vdots \\ E\{x(n)x^*(n-p)\} & E\{x(n-1)x^*(n-p)\} & \dots & E\{x(n-p)x^*(n-p)\} \end{bmatrix}$$

$$r_{dx}(n) = [E\{d(n)x^*(n)\}, E\{d(n)x^*(n-1)\}, \dots, E\{d(n)x^*(n-p)\}]^T \quad (3.26)$$

สมการ (3.26) เป็น กรอส-คอร์ริเตชัน ระหว่าง $d(n)$ และ $x(n)$ และในกรณีของสัญญาณ jointly WSS จะถูกทำให้อยู่ในรูปแบบของสมการ Wiener-Hopf และวิธีการหา w_n จะไม่ขึ้นอยู่กับเวลา ดังนี้เรามึงต้องแก้สมการ (3.26) ที่ไม่สามารถเป็นไปได้ในทางปฏิบัติฐานปลักษณะของเวลาจริง (real-time) ซึ่งเราจะใช้วิธีการทำซ้ำ และใช้หลักการของวิธีการแบบสตีพเพสต์ เดสเซนต์ (steepest descent)

3.2.2 สตีพเพสต์ เดสเซนต์ (Steepest Descent)

วิธีการของสตีพเพสต์ เดสเซนต์ เป็นรูปแบบของการทำซ้ำ มีขั้นตอนวิธีดังนี้

- ทำการกำหนดค่าเริ่มต้นให้กับอัลกอริธึมแบบสตีพเพสต์ เดสเซนต์ คือ ทำการประมาณค่าเริ่มต้นโดยให้ $w = w_0$ ซึ่ง w เป็นเวกเตอร์น้ำหนักที่เหมาะสม
- หาค่าเกรเดียนต์ของ $\xi(n)$ ที่การประมาณค่า w_n ครั้งปัจจุบัน
- หาค่าเวกเตอร์น้ำหนักตัวใหม่ ณ เวลา n โดยการเพิ่มค่ากอร์เรคชัน ซึ่งได้จาก การใส่สเต็ปไซด์ μ ในทิศทางเกรเดียนต์ลับ

$$w_{n+1} = w_n - \mu \nabla \xi(n)$$

- กลับไปทำข้อ 2 และทำซ้ำกระบวนการนี้ไปเรื่อยๆ

พิจารณาการหาเกรเดียนต์เวกเตอร์ $\nabla \xi(n)$ สมมุติว่า w เป็นจำนวนเชิงซ้อน ดังนั้นเกรเดียนต์ ก็คือการหาอนุพันธ์ของ $E\{|e(n)|^2\}$ เทียบกับ w^*

$$\nabla \xi(n) = \nabla E\{|e(n)|^2\} = E\{\nabla |e(n)|^2\} = E\{e(n)\nabla e^*(n)\}$$

และ

$$\nabla e(n)^* = -x^*(n)$$

สมการเปลี่ยนเป็น

$$\nabla \xi(n) = -E\{e(n)x^*(n)\}$$

ดังนั้นอัลกอริธึมสตีฟเพสต์ เดสเซนต์ เป็น

$$w_{n+1} = w_n + \mu E\{e(n)x^*(n)\}$$

ในการที่สัญญาณไม่เปลี่ยนแปลงตามเวลา $x(n)$ และ $d(n)$ เป็น jointly WSS

$$E\{e(n)x^*(n)\} = E\{d(n)x^*(n)\} - E\{w_n^T x(n)x^*(n)\}$$

$$= r_{dx} - R_x w_n$$

ดังนั้นอัลกอริธึมสตีฟเพสต์ เดสเซนต์ คือ

$$w_{n+1} = w_n + \mu(r_{dx} - R_x w_n) \quad (3.27)$$

ถ้า w_n เป็นคำตอบของสมการ Wiener-Hopf, ดังนั้น $w_n = R_x^{-1}r_{dx}$ ทำให้
เทอมของคอร์ริแकชันเป็นศูนย์ และ $w_{n+1} = w_n$ สำหรับทุกค่าของ n คุณสมบัตินี้กำหนดสิ่ง
ที่ต้องการที่ทำให้ w_n ถูกระยะสู่ w ซึ่งเป็นเวกเตอร์หนักที่เหมาะสม

สำหรับสัญญาณ $d(n)$ และ $x(n)$ เป็น jointly WSS ตัวกรองปรับค่าได้แบบ
สตีฟเพสต์ เดสเซนต์ ถูกระยะค่าตอบของสมการ Wiener-Hopf

$$\lim_{n \rightarrow \infty} w_n = R_x^{-1}r_{dx}$$

ถ้าค่าสตีบใช้ μ เป็นไปตามเงื่อนไข

$$0 < \mu < \frac{2}{\lambda_{\max}}$$

ซึ่ง λ_{\max} คือ ค่าไอก.testngสูงสุด (maximum eigenvalue) ของเมตริกซ์
อัลกอริธึมสตีฟเพสต์ R_x

อัลกอริธึมสตีฟเพสต์ เดสเซนต์นี้ไม่นิยมใช้ในงานทางด้านการกรองแบบ
ปรับค่าได้ เนื่องจากมีผลลัพธ์แพร่ระบาด ต้องคำนวณหากรเดียบต์เวกเตอร์ และในการหากรเดียบต์
เวกเตอร์เราจะต้องรู้ค่า $E\{e(n)x^*(n)\}$ และสำหรับกรณีของสัญญาณแบบไม่มีการ
เปลี่ยนแปลง ตามเวลา เราต้องการทราบค่าของเมตริกซ์อัลกอริธึมสตีฟเพสต์ R_x และ
กรอสคอร์ริเดชัน ระหว่าง $d(n)$ และ $x(n)$ แต่ในการใช้งานจริงค่า ensamble average เหล่านี้

เราไม่รู้ (unkonw) และ ensamble average นี้หาได้จากการประมาณค่าจากข้อมูลของสัญญาณซึ่งจะกล่าวในหัวข้อเรื่องต่อไปคือ อัลกอริธึม LMS

3.2.3 อัลกอริธึม LMS (Least Mean Square Algorithm)

อัลกอริธึมแบบ LMS เป็นอัลกอริธึมที่นิยมใช้ในการประมวลผลสัญญาณแบบปรับค่าได้ ได้พัฒนามาจากตัวกรองปรับค่าได้แบบสตีพเพสท์เดสเซนต์ (steepest descent adaptive filter) ซึ่งมีสมการปรับปัจุบันค่าน้ำหนักของสัมประสิทธิ์ตัวกรองดังนี้

$$\mathbf{w}_{n+1} = \mathbf{w}_n + \mu E\{e(n)x^*(n)\} \quad (3.28)$$

μ เป็นค่าสเก็ตบ์ไซซ์ (step size) ของอัลกอริธึม ซึ่งเป็นตัวกำหนดเสถียรภาพและการลู่เข้า (convergence) ของอัลกอริธึม และ \mathbf{w}_{n+1} เป็นเซ็ตของสัมประสิทธิ์ตัวกรองตัวใหม่ที่เวลา $n+1$ แต่อัลกอริธึมนี้มีข้อจำกัดในทางปฏิบัติก็คือ ค่าความคาดหวัง (expectation) $E\{e(n)x(n)\}$ เป็นค่าที่ไม่ทราบ (unknown) ดังนั้นเราจึงแทนค่าความคาดหวังนี้ด้วยการประมาณแบบค่าเฉลี่ยตัวอย่าง (sample mean) ดังนี้

$$\hat{E}\{e(n)x(n)\} = \frac{1}{L} \sum_{l=0}^{L-1} e(n-l)x^*(n-l) \quad (3.29)$$

ดังนั้นจากสมการ (3.28) ซึ่งเป็นสมการปรับค่าน้ำหนักสัมประสิทธิ์ตัวกรองแบบสตีพเพสท์เดสเซนต์เปลี่ยนเป็น

$$\mathbf{w}_{n+1} = \mathbf{w}_n + \frac{\mu}{L} \sum_{l=0}^{L-1} e(n-l)x^*(n-l) \quad (3.30)$$

ถ้าเราใช้ค่าเฉลี่ยตัวอย่างเพียงตัวเดียว ($L=1$) ดังนั้น

$$\hat{E}\{e(n)x^*(n)\} = e(n)x^*(n) \quad (3.31)$$

เราเขียนสมการปรับค่าน้ำหนักสัมประสิทธิ์ตัวกรองได้ใหม่เป็น

$$\mathbf{w}_{n+1} = \mathbf{w}_n + \mu e(n) \mathbf{x}^*(n) \quad (3.32)$$

สมการ (3.21) ก็คือ อัลกอริธึมแบบ LMS (Least Mean Square algorithm) นั่นเอง และจากสมการ (3.21) เราเขียนสมการปรับค่าหนักสัมประสิทธิ์ตัวกรองลำดับที่ k ได้ดังนี้

$$\mathbf{w}_{n+1}(k) = \mathbf{w}_n(k) + \mu e(n) \mathbf{x}^*(n-k) \quad (3.33)$$

ในการคำนวณหาค่าอัตโนมัติที่ต้องการหนึ่งชุด โดยใช้อัลกอริธึมแบบ LMS นั้นสมมุติว่าถ้าเราต้องการใช้สัมประสิทธิ์ของตัวกรองทั้งหมด $p+1$ ตัว เราต้องใช้การคูณทั้งหมด $p+1$ ครั้ง และการบวกอีก $p+1$ ครั้ง เพื่อใช้ในการปรับค่าหนักสัมประสิทธิ์ตัวกรอง, ต้องการการบวกหนึ่งครั้งในการคำนวณหาค่าความผิดพลาด (error) $e(n) = d(n) - y(n)$, การคูณหนึ่งครั้งจากการหาค่า $\mu e(n)$ และสุดท้ายต้องการการคูณ $p+1$ ครั้ง และการบวก $p+1$ ครั้งเพื่อหาค่าอัตโนมัติ $y(n)$ ดังนั้นเราต้องการคูณทั้งหมด $2p+3$ ครั้ง และการบวก $2p+2$ ครั้ง ต่อการหาค่าอัตโนมัติ $y(n)$ หนึ่งค่า และตารางที่ 3.1 เป็นสรุปอัลกอริธึม LMS

ตาราง 3.1 อัลกอริธึม LMS สำหรับตัวกรองปรับตัวได้แบบ FIR อันดับตัวกรองเท่ากับ p

Parameter $p =$ อันดับของตัวกรอง

Initialization $\mathbf{w}_0 = 0$

Computation For $n=0,1,2\dots$

$$(a) \quad y(n) = \mathbf{w}_n^T \mathbf{x}(n)$$

$$(b) \quad e(n) = \hat{d}(n) - y(n)$$

$$(c) \quad \mathbf{w}_{n+1} = \mathbf{w}_n + \mu e(n) \mathbf{x}(n)$$

3.2.4 Recursive Least Square (RLS)

จากการออกแบบตัวกรอง Wiener ปรับตัวได้แบบ FIR สัมประสิทธิ์ของตัวกรองคือ

$$\mathbf{w}_n = [w_n(0), w_n(1), \dots, w_n(p)]^T$$

ค่าความผิดพลาดกำลังสองน้อยสุดต่ำงหนัก (weighted least squares error)

$$\xi(n) = \sum_{i=0}^n \lambda^{n-i} |e(i)|^2 \quad (3.34)$$

ซึ่ง $0 < \lambda \leq 1$ เป็นตัวประกอบการถ่วงน้ำหนักแบบอิโคโพเนนเชียล และ

$$e(i) = d(i) - y(i) = d(i) - w_n^T x(i) \quad (3.35)$$

$e(i)$ เป็นผลต่างระหว่างสัญญาณที่ต้องการ (desired signal) $d(i)$ และ เอาท์พุท ที่ได้ผ่านการกรองที่เวลา i โดยใช้สมประสิทธิ์ตัวกรองล่าสุด ดังนั้น ในการทำให้ $\xi(n)$ มีค่า น้อยที่สุด กำหนดให้ออนพันธ์ของ $\xi(n)$ เทียบกับ $w_n^*(k) = 0$ สำหรับ $k=0, 1, \dots, p$ ดังนี้

$$\frac{\partial \xi(n)}{\partial w_n^*(k)} = \sum_{i=0}^n \lambda^{n-i} e(i) \frac{\partial e^*(i)}{\partial w_n^*(k)} = - \sum_{i=0}^n \lambda^{n-i} e(i) x^*(i-k) = 0 \quad (3.36)$$

สำหรับ $k=0, 1, \dots, p$

รวมสมการ (3.35) เข้ากับ (3.36) จะได้

$$\sum_{i=0}^n \lambda^{n-i} \left\{ d(i) - \sum_{l=0}^p w_n(l) x(i-l) \right\} x^*(i-k) = 0$$

ทำการสับเปลี่ยนอันดับของชั้นเมชัน (summation) และจัดเทอนใหม่ได้ดังนี้

$$\sum_{l=0}^p w_n(l) \left[\sum_{i=0}^n \lambda^{n-i} x(i-l) x^*(i-k) \right] = \sum_{i=0}^n \lambda^{n-i} d(i) x^*(i-k) \quad (3.37)$$

จัดให้อยู่ในรูปแบบของเมตริกได้ดังนี้

$$R_x(n)w_n = r_{dx}(n) \quad (3.38)$$

$R_x(n)$ เป็นเมตริกซ์อโตคอร์เรลشنกำหนดน้ำหนักเอกอิโคโพเนนเชียล

(exponentially weighted deterministic autocorrelation matrix) สำหรับ $x(n)$

$$\mathbf{R}_x(n) = \sum_{i=0}^n \lambda^{n-i} \mathbf{x}^*(i) \mathbf{x}^T(i)$$

ซึ่ง $\mathbf{x}(i)$ เป็นเวกเตอร์ข้อมูล (data vector)

$$\mathbf{x}(i) = [x(i), x(i-1), \dots, x(i-p)]^T$$

$\mathbf{r}_{dx}(n)$ เป็นค่าเทอมนิสติก ครอบ-คอร์รีเลชัน (deterministic cross-correlation) ระหว่าง $d(n)$ และ $x(n)$

$$\mathbf{r}_{dx}(n) = \sum_{i=0}^n \lambda^{n-i} d(i) \mathbf{x}^*(i) \quad (3.39)$$

และจากสมการที่ได้รับซึ่งกำหนดสัมประสิทธิ์ตัวกรองที่เหมาะสม เราอาจหาค่าความผิดพลาดกำลังสองน้อยสุด (minimum squared error) ได้จาก

$$\begin{aligned} \xi(n) &= \sum_{i=0}^n \lambda^{n-i} e(i) e^*(i) = \sum_{i=0}^n \lambda^{n-i} e(i) \left\{ d(i) - \sum_{l=0}^p w_n(l) x(i-l) \right\} \\ &= \sum_{i=0}^n \lambda^{n-i} e(i) d^*(i) - \sum_{l=0}^p w_n^*(l) \sum_{i=0}^n \lambda^{n-i} e(i) x^*(i-l) \end{aligned}$$

ด้วย $w_n(l)$ เป็นสัมประสิทธิ์ซึ่งทำให้ค่าความผิดพลาดกำลังสองเหลือน้อยที่สุด ดังนั้นเทอมที่ 2 จึงมีค่าเป็นศูนย์ และค่าความผิดพลาดน้อยสุดคือ

$$\begin{aligned} \{\xi(n)\}_{\min} &= \sum_{i=0}^n \lambda^{n-i} e(i) d^*(i) \\ &= \sum_{i=0}^n \lambda^{n-i} \left\{ d(i) - \sum_{l=0}^p w_n(l) x(i-l) \right\} d^*(i) \\ &= \sum_{i=0}^n \lambda^{n-i} |d(i)|^2 - \sum_{l=0}^p w_n^*(l) \sum_{i=0}^n \lambda^{n-i} x(i-l) d^*(i) \end{aligned}$$

เราสามารถเขียนสมการได้ใหม่ในรูปของเวกเตอร์ได้ดังนี้

$$\{\xi(n)\}_{\min} = \|d(n)\|_A^2 - \mathbf{r}_{dx}^H(n) \mathbf{w}_n \quad (3.40)$$

ซึ่ง $\|d(n)\|_w^2$ คือ ค่า norm น้ำหนักปักติ (weighted norm) ของเวกเตอร์

$$d(n) = [d(n), d(n-1), \dots, d(0)]^T$$

เนื่องจาก $R_x(n)$ และ $r_{dx}(n)$ ทั้งสองตัวนี้ขึ้นอยู่กับค่าของ n แก้สมการปักติกำหนด (deterministic normal equation) สำหรับแต่ละค่าของ n เราจะได้คำตอบรีเควร์ซึพในรูปแบบของ

$$w_n = w_{n-1} + \Delta w_{n-1}$$

ซึ่ง Δw_{n-1} เป็นค่าคงรีเร็วชั้นซึ่งถูกใช้กับการแก้ปัญหาที่เวลา $n-1$ และเนื่องจากว่า

$$w_n = R_x^{-1}(n)r_{dx}(n)$$

ดังนั้นอันดับแรกเราจะแสดง $r_{dx}(n)$ ในเทอมของ $r_{dx}(n-1)$ ต่อมาเราหา $R_x^{-1}(n)$ ในเทอมของ $R_x^{-1}(n-1)$ และเวกเตอร์ข้อมูลตัวใหม่ (new data vector) $x(n)$ จากสมการ (3.40) ครอบครองรีเลชันถูกปรับ (update) ตามสมการต่อไปนี้

$$r_{dx}(n) = \lambda r_{dx}(n-1) + d(n)x^*(n) \quad (3.41)$$

ในขณะเดียวกันเมตริกซ์อโตคอร์ริเลชันจะถูกปรับโดยใช้ $R_x(n-1)$ และเวกเตอร์ข้อมูลใหม่ $x(n)$ ในรูปแบบรีเควร์สันแสดงดังนี้

$$R_x(n) = \lambda R_x(n-1) + x^*(n)x^T(n) \quad (3.42)$$

แต่สิ่งที่เราต้องการไม่ใช่ $R_x(n)$ แต่เป็นอินเวอส (inverse) $R_x(n)$ ดังนั้นเราจึงใช้ออกลักษณ์ของ Woodbury กับสมการ (3.42) เพื่อให้ได้ $R_x^{-1}(n)$ สมการข้างล่างนี้เป็นเอกลักษณ์ของ Woodbury

$$(A + uv^H)^{-1} = A^{-1} - \frac{A^{-1}uv^H A^{-1}}{1 + v^H A^{-1} u}$$

ถ้าเราให้ $A = \lambda R_x(n-1)$ และ $u = v = x^*(n)$ และจะได้อินเวอสของ $R_x(n)$ เป็น

$$R_x^{-1}(n) = \lambda^{-1} R_x^{-1}(n-1) - \frac{\lambda^{-2} R_x^{-1}(n-1) x^*(n) x^T(n) R_x^{-1}(n-1)}{1 + \lambda^{-1} x^T(n) R_x^{-1}(n-1) x^*(n)} \quad (3.43)$$

เราจะให้ $P(n)$ เป็นอินเวอสของเมตริกออร์โทคอร์ริเลชันที่เวลา n

$P(n) = R_x^{-1}(n)$
และกำหนดให้ $g(n)$ เป็นเวกเตอร์เกณฑ์ (gain vector) มีค่าเท่ากับ

$$g(n) = \frac{\lambda^{-1} P(n-1) x^*(n)}{1 + \lambda^{-1} x^T(n) P(n-1) x^*(n)} \quad (3.44)$$

ดังนั้นสมการ (3.43) จะเป็น

$$P(n) = \lambda^{-1} [P(n-1) - g(n) x^T(n) P(n-1)] \quad (3.45)$$

จากสมการ (3.44) เราจะทำให้ตัวส่วนของสมการทางขวาหายไป ดังนี้

$$g(n) + \lambda^{-1} g(n) x^T(n) P(n-1) x^*(n) = \lambda^{-1} P(n-1) x^*(n)$$

และ

$$g(n) = \lambda^{-1} [P(n-1) - g(n) x^T(n) P(n-1)] x^*(n)$$

จะเห็นว่าเทอมที่คูณอยู่กับ $x^*(n)$ คือ $P(n)$ ดังนี้

$$g(n) = P(n) x^*(n) \quad (3.46)$$

ดังนั้น

$$R_x(n) g(n) = x^*(n) \quad (3.47)$$

เข่นเดียวกับสมการปกติแบบดีเทอร์มินิสติก (deterministic normal equation)

ของค่า w_n ในสมการ (3.38) เมื่อ $P(n) = R_x^{-1}(n)$ ดังนี้

$$w_n = P(n)r_{dx}(n)$$

จากสมการของ $r_{dx}(n)$ ในสมการ (3.39) แทนในสมการข้างบนจะได้

$$w_n = \lambda P(n)r_{dx}(n-1) + d(n)P(n)x^*(n) \quad (3.48)$$

และ $P(n)$ ในสมการ (3.45) แทนลงในพจน์แรกทางขวาของสมการ (3.48) จะได้

$$w_n = [P(n-1) - g(n)x^T(n)P(n-1)]r_{dx}(n-1) + d(n)P(n)x^*(n)$$

จากสมการ (3.47) ทำให้

$$w_n = [P(n-1) - g(n)x^T(n)P(n-1)]r_{dx}(n-1) + d(n)g(n)$$

$$w_n = P(n-1)r_{dx}(n-1) - g(n)x^T(n)P(n-1)r_{dx}(n-1) + g(n)d(n)$$

$$P(n-1)r_{dx}(n-1) = w_{n-1}$$

ดังนี้

$$w_n = w_{n-1} + g(n)[d(n) - w_{n-1}^T x(n)]$$

เขียนใหม่

$$w_n = w_{n-1} + \infty(n)g(n) \quad (3.49)$$

ดู

$$\infty(n) = d(n) - w_{n-1}^T x(n)$$

$\infty(n)$ เป็นผลต่างระหว่าง $d(n)$ และการประมาณของ $d(n)$ ซึ่งได้จากการใช้กลุ่มของสัมประสิทธิ์ตัวกรองที่ผ่านมาก่อนหน้านี้ (Previous) w_{n-1} กับเวกเตอร์ข้อมูลใหม่ $x(n)$ คำศัพท์ $\infty(n)$ นี้เรียกว่าความผิดพลาดก่อน (priori error) เป็นค่าความผิดพลาดที่เกิดขึ้นด้วยสัมประสิทธิ์ของตัวกรองไม่ทำการปรับ ในทางกลับกัน ความผิดพลาดหลัง (posteriori error) $e(n)$ เป็นค่าความผิดพลาดที่เกิดขึ้นหลังจากเวกเตอร์นำหน้าถูกปรับ

$$e(n) = d(n) - w_{n-1}^T x(n)$$

ในการหาแกนที่ $g(n)$ และอินเวอส์ของโตกอร์รีเลชันเมทริกซ์
(inverse autocorrelation matrix) $P(n)$ เพื่อให้ง่ายในการหาค่าเหล่านี้เราจะกำหนดให้

$$z(n) = P(n-1)x^*(n) \quad (3.50)$$

จากทั้งหมดที่ได้อธิบายมาข้างต้น จึงสามารถเขียน exponentially weighted Recursive Least Square (RLS) และตารางที่ 3.2 เป็นการสรุปอัลกอริธึม RLS นอกเหนือไปนี้แล้ว อัลกอริธึมดังกล่าว ยังจำเป็นจะต้องกำหนดค่าเริ่มต้นของ w_n และอินเวอส์ของโตกอร์รีเลชันเมทริกซ์ $P(n)$ ด้วยโดยกำหนดให้

$$P(0) = \delta^{-1}I$$

δ เป็นค่าบวกคงที่น้อยๆ (small positive constant) และ

$$w_0 = 0$$

ตาราง 3.2 อัลกอริธึมแบบ Recursive Least Squares

Parameters: p = Filter order

λ = Exponential weighting factor

δ = Value used to initialize $P(0)$

Initialization: $w_0 = 0$

$$P(0) = \delta^{-1}I$$

Computation: For $n=1,2,\dots$ compute

$$z(n) = P(n-1)x^*(n)$$

$$g(n) = \frac{1}{\lambda + x^T(n)z(n)} z(n)$$

$$\alpha(n) = d(n) - w_{n-1}^T x(n)$$

$$w_n = w_{n-1} + \alpha(n)g(n)$$

$$P(n) = \frac{1}{\lambda} [P(n-1) - g(n)z^H(n)]$$

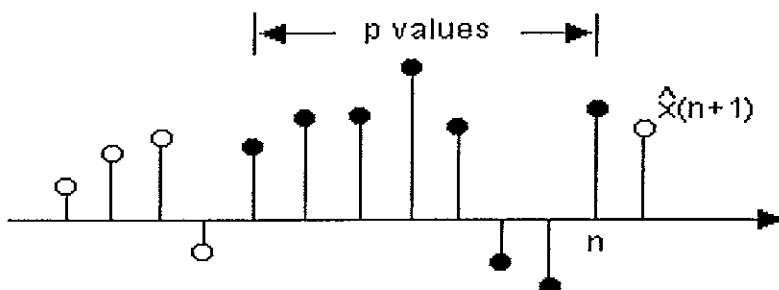
3.2.5 Adaptive Linear Prediction system

การทำนายแบบเชิงเส้น (Linear Prediction) เป็นวิธีการที่ใช้ในการทำนายค่าของสัญญาณที่จะเกิดขึ้นข้างหน้า $x(n+1)$ ว่ามีค่าเป็นอะไร โดยอาศัยเทคนิคการรวมแบบเชิงเส้น (linear combination) ของค่าของสัญญาณปัจจุบัน $x(n)$ และค่าของสัญญาณที่เกิดขึ้นผ่านมาเดือ $x(n-k)$ เมื่อ $k = 0, 1, 2, 3, \dots, p-1$ แสดงดังภาพประกอบ (3.4) เราสามารถเขียนสมการของการทำนายได้ดังนี้

$$\hat{x}(n+1) = \sum_{k=0}^{p-1} w_n(k) x(n-k) \quad (3.51)$$

$\hat{x}(n+1)$ คือสัญญาณประมาณของ $x(n+1)$ ที่เวลา $n+1$

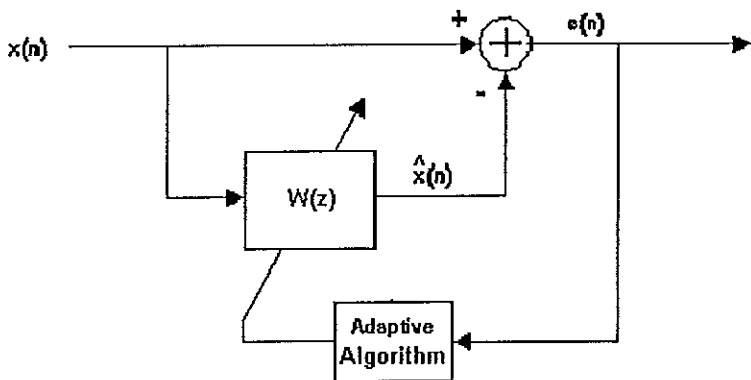
$w_n(k)$ (เมื่อ $k = 0, 1, 2, 3, \dots, p-1$) คือสัมประสิทธิ์ของตัวกรองที่ใช้ในการทำนายที่เวลา n



ภาพประกอบ 3.4 การประมาณค่าสัญญาณ $x(n+1)$ โดยอาศัยการรวมแบบเชิงเส้นของค่าของสัญญาณจำนวน p ค่าจาก $x(n)$ จนถึง $x(n-p+1)$

ภาพประกอบ 3.5 แสดงระบบการทำนายเชิงเส้นแบบปรับค่าได้ ซึ่งเป็นระบบปรับตัวได้ระบบหนึ่ง โดยอาศัยหลักของการทำนายเชิงเส้นและอัลกอริธึมที่ใช้ในการปรับค่าสัมประสิทธิ์คือ อัลกอริธึมแบบ LMS เกี่ยวนเป็นสมการได้ดังนี้

$$w_{n+1}(k) = w_n(k) + \mu e(n) x(n-k) \quad (3.52)$$



ภาพประกอบ 3.5 ระบบการทำงานเชิงเส้นแบบปรับตัวได้โดยใช้อัลกอริธึม LMS ในการปรับค่าสัมประสิทธิ์ตัวกรอง

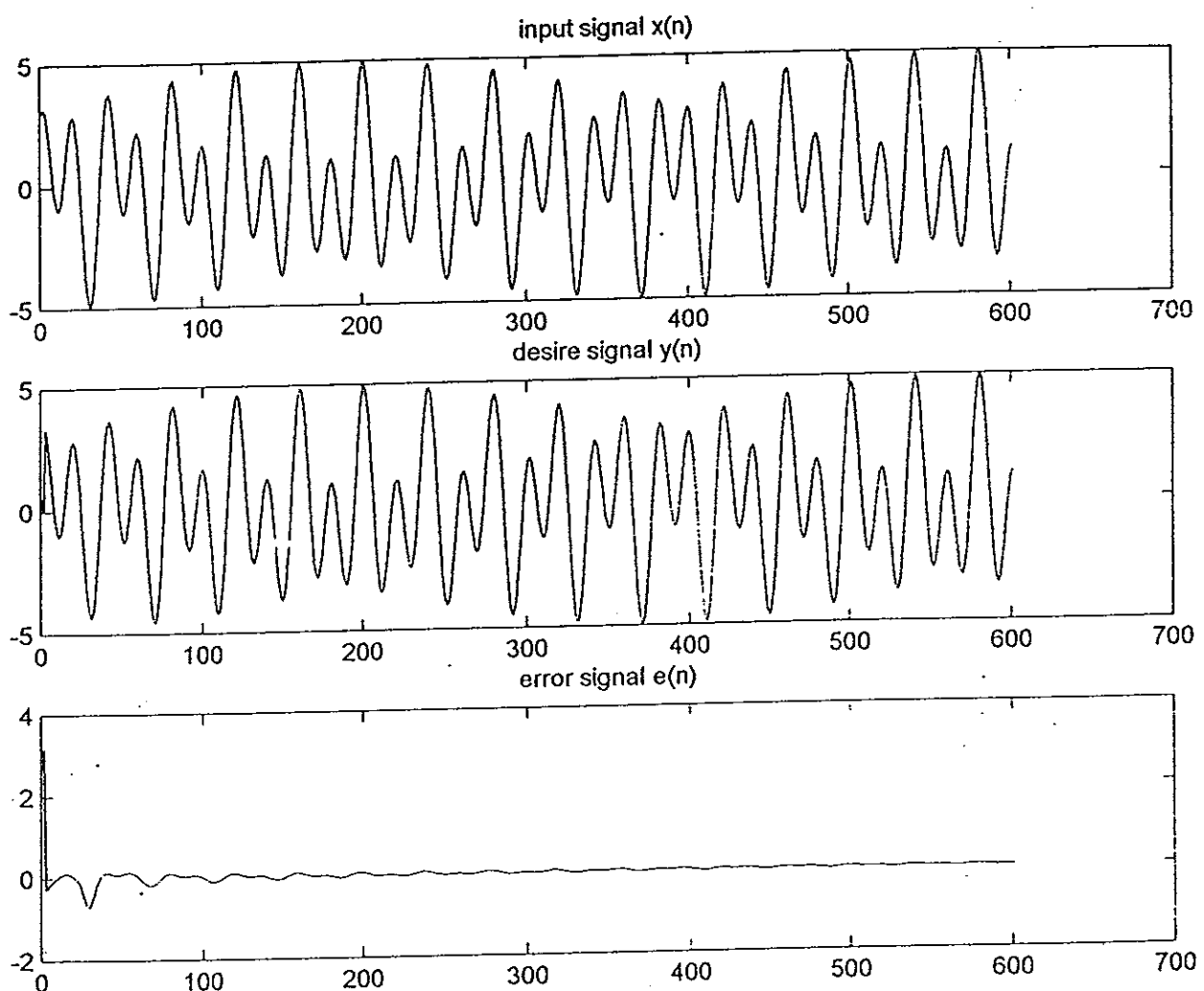
จากตาราง 3.1 และตาราง 3.2 เป็นการสรุปขั้นตอนของอัลกอริธึม LMS และ RLS ตามลำดับ สำหรับภาพประกอบ 3.6 และภาพประกอบ 3.7 เป็นผลของการจำลองอัลกอริธึม LMS และ อัลกอริธึม RLS ตามลำดับ โดยใช้โปรแกรม Matlab ในการจำลองเรากำหนดสัญญาณ $x(n)$ ขึ้นมา ซึ่งเป็นสัญญาณที่เราต้องการทำงาน

$$x(n) = 2\sin\left(\frac{n\pi}{19}\right) + 3\cos\left(\frac{n\pi}{10}\right) \quad n = 0, 1, 2, 3, \dots$$

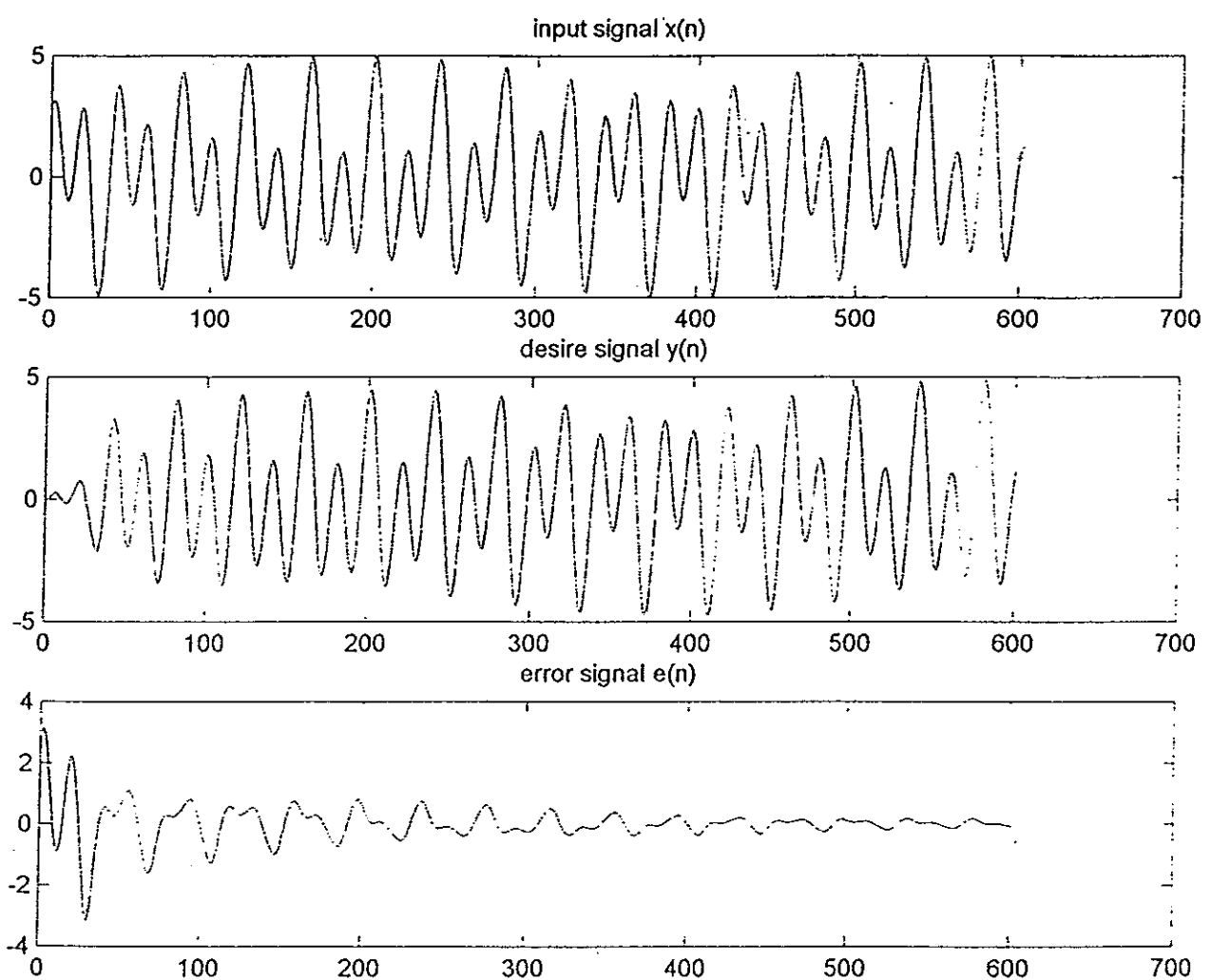
เราเขียนโปรแกรม Matlab เพื่อสร้างสัญญาณ $x(n)$ ดังกล่าวได้ดังนี้

$$x = 2 * \sin([0 : 600] * \pi / 19) + 3 * \cos([0 : 600] * \pi / 10) \quad n = 0, 1, 2, 3, \dots, 600$$

จากสัญญาณ $x(n)$ ในโปรแกรม Matlab $n = 1, 2, 3, \dots, 600$ และในการจำลองอัลกอริธึมทั้งสองเราใช้อันดับของตัวกรองเท่ากับ 20 ,ค่าเริ่มต้นของตัวกรองกำหนดให้มีค่าเท่ากับ 0 ($w = 0$)ในการทำการจำลองของอัลกอริธึม LMS เราใช้ค่าสตีป์ไซ $\mu = 0.001$ และสำหรับอัลกอริธึม RLS เรากำหนดค่าเดลต้าให้เท่ากับ 0.1 และค่าแอลมค่าเท่ากับ 1 ซึ่งจากการจำลองที่แสดงดังภาพประกอบ 3.6 และ 3.7 จะเห็นว่าอัลกอริธึม RLS ถู๊เข้าก้าของสัญญาณ $x(n)$ ได้เร็วกว่าอัลกอริธึม LMS



ภาพประกอบ 3.7 ผลของการจำลองอัลกอริธึม RLS

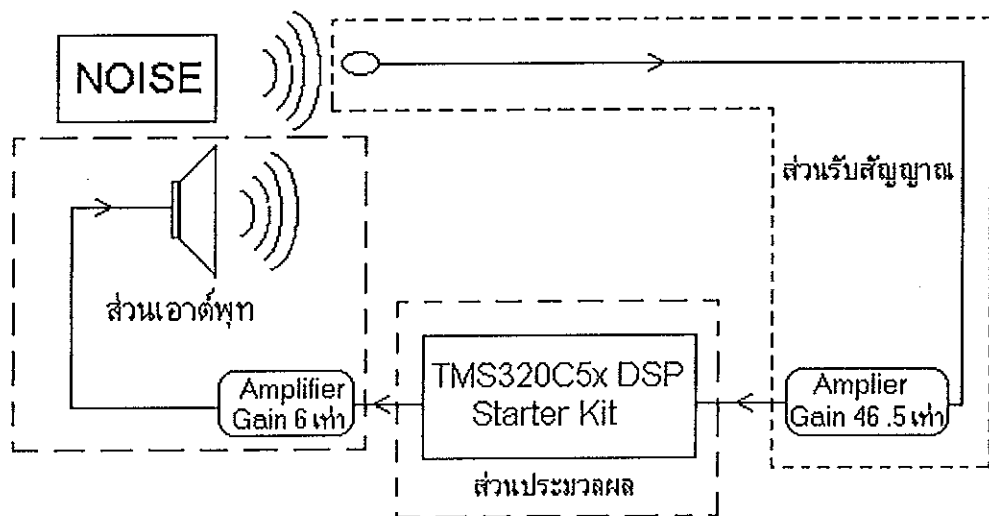


ภาพประกอบ 3.6 ผลของการจำลองอัลกอริธึม LMS

บทที่ 4

การทำงานของเครื่องขัดเตียงรบกวนแบบปรับตัวได้

การทำงานของเครื่องขัดเตียงรบกวนแบบปรับตัวได้แสดงดังภาพประกอบ 4.1



ภาพประกอบ 4.1 แผนภาพการทำงานของเครื่องขัดเตียงรบกวนแบบปรับตัวได้

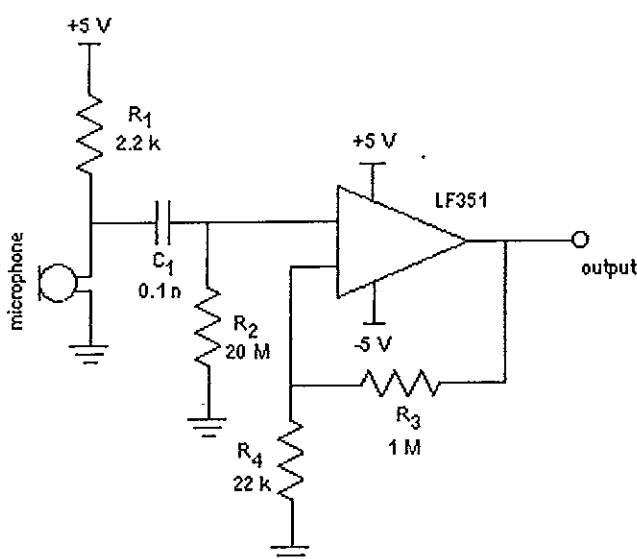
จากภาพประกอบ 4.1 เสียงรบกวนที่เกิดขึ้นจะถูกตรวจจับโดยไมโครโฟนและในไมโครโฟนก็ทำหน้าที่เปลี่ยนเสียงให้เป็นสัญญาณไฟฟ้า ซึ่งเป็นสัญญาโนนาลีอค แล้วทำการขยายให้มีขนาดใหญ่เพียงพอ ก่อน ในงานวิจัยนี้สัญญาณจะถูกขยายให้ใหญ่ 46.5 เท่าของสัญญาณเดิม แล้วจึงส่งเข้าวงจรแปลงสัญญาโนนาลีอคเป็นดิจิตอล สัญญาณที่ได้ออกมาเป็นสัญญาณดิจิตอล ต่อจากนั้นส่งเข้าไปยังตัวประมวลผลสัญญาณดิจิตอล ตัวประมวลผลสัญญาณดิจิตอลก็ทำการประมวลผลสัญญาณ ให้สัญญาณเอาต์พุทออกมา ซึ่งสัญญาณเอาต์พุทที่ได้ออกมาจะยังคงเป็นสัญญาณดิจิตอลอยู่ ดังนั้นก่อนที่จะถูกส่งออกไปยังส่วนของเอาต์พุท จะต้องทำการแปลงสัญญาณกลับไปเป็นสัญญาโนนาลีอคก่อนแล้วส่งเข้าสู่วงจรขยายเพื่อขยายสัญญาณให้แรงขึ้นก่อนแล้วส่งออกสู่ลำโพงถ้ายังเป็นเสียงส่งออกไปหักล้าง

และจากภาพประกอบ 4.1 เราแบ่งส่วนการทำงานของเครื่องขยายเสียงระบบแบบปรับตัวได้ ดังนี้

1. ส่วนการรับเสียงระบบกวน
2. ส่วนการประมวลผลสัญญาณ
3. ส่วนการส่งสัญญาณ出去ที่หุ่ง

4.1 ส่วนการรับเสียงระบบกวน

ส่วนนี้เป็นส่วนที่ทำหน้าที่รับเสียงระบบกวนแปลงเป็นสัญญาณไฟฟ้าแล้วทำการขยายก่อนที่จะส่งป้อนไปยังวงจรแปลงสัญญาณอนามิล็อกเป็นสัญญาณดิจิตอลต่อไป ในการเชื่อมแซมหรือรับเสียงระบบกวนที่เกิดขึ้น เราใช้ไมโครโฟนเป็นตัวรับเสียงแล้วเปลี่ยนเสียงให้เป็นสัญญาณไฟฟ้าก่อนที่จะส่งเข้าสู่วงจรขยายสัญญาณ วงจรขยายสัญญาณหรือวงจรปรีแอมป์สำหรับไมโครโฟน ซึ่งในที่นี้เราจะใช้วงจรขยายแบบไม่กลับเฟส แสดงดังภาพประกอบ 4.2 โดยออกแบบให้มีอัตราการขยายเท่ากับ 46.5 เท่า และเลือกใช้ไอซีอย่างเดียว即 LF351 เมอร์ LF351 เนื่องจากเป็นไอซีที่มีสัญญาณรบกวนต่ำ



ภาพประกอบ 4.2 วงจรปรีแอมป์สำหรับไมโครโฟน (pre-amplifier circuit for microphone)

จากภาพประกอบ 4.2 R_1 เป็นตัวด้านท่านที่ใช้กำหนดกระแสที่จ่ายให้กับ ค้อนเนนเซอร์ในโทรศัพท์ , R_2 และ C_1 ทำหน้าที่เป็นวงจรกรองความถี่สูงผ่านเพื่อป้องกันไฟกระแสตรงและสัญญาณไฟกระแสสลับที่มีความถี่ต่ำๆ ส่วนวงจรขยายสัญญาณชนิดไม่เกลี้ยงเฟส โดยขั้ตราชยภาพของวงจรจะขึ้นอยู่กับค่าความต้านทาน R_3 และ R_4

จาก R_2 และ C_1 ซึ่งทำหน้าที่เป็นวงจรกรองความถี่สูงผ่าน เพื่อป้องกันสัญญาณรบกวนจากสัญญาณที่มีความถี่ต่ำ และความสามารถหาความถี่ตัด (cutoff frequency) ได้จากสูตร

$$f_c = \frac{1}{2\pi R_2 C_1} \quad (4.1)$$

จากรูป $R_2 = 20$ เมกกะโอห์ม และ $C_1 = 0.1$ นาโนฟาราด ดังนั้นความถี่ตัด คือ

$$f_c = \frac{1}{2\pi * 2M * 0.1n}$$

$$f_c = 80 \text{ Hz}$$

จากภาพประกอบ 4.2 ให้ $R_3 = 1$ เมกกะโอห์ม, $R_4 = 1$ เมกกะโอห์ม และ $V_{in} = 1 \text{ mVp-p}$ เราชาระดับเสียงอย่างพื้นฐานและอัตราการขยาย (A_v)

จาก

$$V_{out} = V_{in} [1 + R_3/R_4]$$

$$= 1 \text{ mVp-p} * (1 + 1M\Omega / 22k\Omega)$$

$$= 46.5 \text{ mVp-p}$$

และจาก

$$A_v = V_{out}/V_{in}$$

$$= 46.5 \text{ mVp-p} / 1 \text{ mVp-p}$$

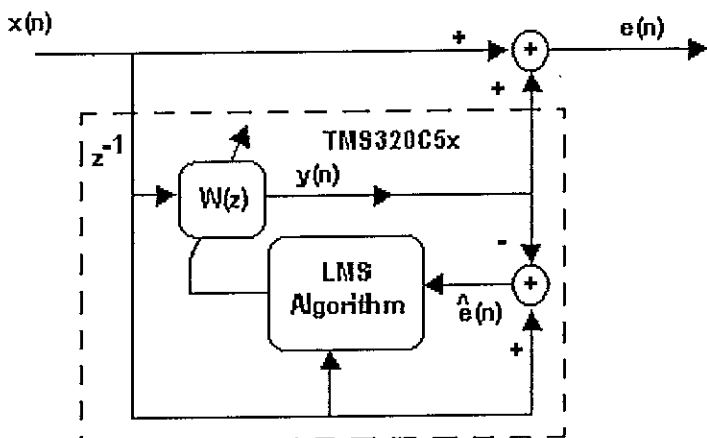
ดังนั้น

$$A_v = 46.5 \text{ เท่า}$$

4.2 ส่วนประมวลผลสัญญาณ

ในการประมวลผลสัญญาณดิจิตอล สำหรับงานวิจัยนี้ใช้บอร์ด TMS320C5x DSP Starter Kit (DSK) ซึ่งมีชิพ TMS320C50 เป็นตัวประมวลผล เนื่องจากว่าชิพในโทรศัพท์มือถือที่มีความสามารถสูงเพียงพอที่จะใช้ในการประมวลผลสัญญาณดิจิตอลคือ

มีคำสั่งที่สนับสนุนการประมวลผลสัญญาณดิจิตอล มีความเร็วในการประมวลผลสัญญาณสูง คือในหนึ่งรอบคำสั่งใช้เวลาเพียง 35-50 นาโนวินาทีเท่านั้น, ทำงานในลักษณะเวลาจริง (real time) และราคาถูก



ภาพประกอบ 4.3 ระบบการทำนายแบบเชิงเส้นแบบปรับตัวได้โดยใช้อัลกอริธึม LMS ในการปรับค่าสัมประสิทธิ์ตัวกรอง

จากภาพประกอบ 4.3 เป็นระบบที่ใช้ในการประมวลผลสัญญาณเสียงรบกวนในงานวิจัยนี้ ซึ่งเรียกว่าระบบการทำนายเชิงเส้นแบบปรับตัวได้ (adaptive linear prediction system) ภายในกรอบสีเหลืองเส้นประเป็นการกระทำภายในของตัวประมวลผลสัญญาณดิจิตอล TMS320C50 ซึ่งการกระทำการในทั้งหมดเป็นการกระทำการทางคณิตศาสตร์ และจากการประกอบดังกล่าว $x(n)$ เป็นเสียงรบกวนที่เกิดขึ้น, สัญญาณ $y(n)$ เป็นสัญญาณส่วนกลับ ที่ใช้ส่งออกไปหักล้างกับเสียงรบกวน $x(n), e(n)$ เป็นเสียงที่ยังคงเหลืออยู่จากการส่ง $y(n)$ ออกไปหักล้างกับ $x(n)$ และ $\hat{e}(n)$ เป็นการประมาณค่า $e(n)$ เพื่อนำไปใช้ในการปรับค่าสัมประสิทธิ์ตัวกรอง $w(n)$ ในอัลกอริธึม LMS จากที่ได้กล่าวมาแล้วในหัวข้อ 3.3 ว่าการทำนายแบบเชิงเส้น (linear prediction) เป็นวิธีการที่ใช้ในการทำนายค่าของสัญญาณที่จะเกิดขึ้นข้างหน้า $x(n+1)$ ว่ามีค่าเป็นอะไร โดยอาศัยเหตุของกระบวนการรวมแบบเชิงเส้นของค่าของสัญญาณปัจจุบัน $x(n)$ และค่าของสัญญาณที่เกิดขึ้นที่ผ่านมาแต่ละ $x(n-k)$ (เมื่อ $k = 0, 1, 2, 3, \dots, p-1$) ทำตอน Wo ลูชันกับค่าสัมประสิทธิ์ของตัวกรอง $w(k)$ ซึ่งสมการของการทำนายเชิงเส้นได้ดังนี้

$$x(n+1) = \sum_{k=0}^{p-1} w(k)x(n-k) \quad (4.2)$$

$w(k)$ (เมื่อ $k = 0, 1, 2, 3, \dots, p-1$) คือสัมประสิทธิ์ของตัวกรองที่ใช้ในการทำนาย

ในงานวิจัยนี้เลือกใช้ระบบทำนายแบบเชิงเส้นกีเพราเว่ ระบบนี้มีความเหมาะสมในการกำจัดเดียงรบกวน คือเสียงรบกวนที่เกิดขึ้นนั้นเราไม่สามารถที่จะบอกรู้ได้ว่ามีลักษณะขนาดเป็นอย่างไร ดังนั้นเราจึงต้องใช้ข้อมูลของสัญญาณที่ผ่านมาแล้วมาทำการประมวลผลหาค่าความเป็นไปได้ว่าสัญญาณมีลักษณะอย่างไร

สำหรับอัลกอริธึมที่ใช้ในการปรับค่าสัมประสิทธิ์ตัวกรอง ที่ได้ทำการศึกษามีดังนี้

- 2 อัลกอริธึม คือ อัลกอริธึม LMS และ อัลกอริธึม RLS จากการศึกษามานี้อัลกอริธึม RLS จะถูกเข้าใจว่าอัลกอริธึมแบบ LMS แต่เนื่องจากว่าอัลกอริธึม RLS จะต้องใช้หน่วยความจำจำนวนมาก ซึ่งตัวประมวลผลสัญญาณดิจิตอล TMS320C5x มีไม่เพียงพอจากอัลกอริธึมแบบ RLS ในตารางที่ 3.2 ของบทที่ 3 สมมุติว่าเราต้องการอันดับของตัวกรอง (p) เท่ากับ 50 เราจำเป็นต้องใช้ตำแหน่งแอดเดรสเฉพาะเมตริกส์ p เท่ากับ 50×50 ตำแหน่ง (2500 ตำแหน่ง) ซึ่ง TMS320C5x มีหน่วยความจำที่ใช้ได้เท่ากับ 512 เวิร์ด ดังนั้นในงานวิจัยนี้จึงเลือกใช้อัลกอริธึม LMS ถึงแม้อัลกอริธึมนี้จะถูกเข้าใจว่าอัลกอริธึม RLS ก็ตามแต่ อัลกอริธึมนี้ใช้หน่วยความจำไม่มากนักซึ่ง TMS320C5x มีเพียงพอ และการคำนวณก็ไม่มี ความ слับซับซ้อนมากนักทำให้สามารถเขียนโปรแกรมได้จากรากพาราโบลาที่ 4.3 ส่วนที่อยู่ภายใต้ในบริเวณเด็นประจำเป็นการกระทำภายในตัวประมวลผลดิจิตอล TMS320C5x เราสามารถเขียนขั้นตอนการทำงานของระบบการทำนายเชิงเส้นโดยใช้อัลกอริธึม LMS ในการปรับค่าสัมประสิทธิ์ได้ดังนี้

1. คำนวณหา $\hat{x}(n) = \sum_{k=0}^p w_n(k)x(n-k)$ ซึ่งเป็นสัญญาณประมาณหรือสัญญาณ $x(n+1)$ ในสมการ 4.2

$$\hat{x}(n+1) = \sum_{k=0}^p w_n(k)x(n-k)$$

2. ส่งสัญญาณออกไปยังเอตชุต
3. รับสัญญาณอินพุต
4. คำนวณหาสัญญาณค่าประมาณความผิดพลาด $e(n) = x(n) - \hat{x}(n)$

5. ปรับค่าสัมประสิทธิ์ตัวกรองโดยใช้อัลกอริธึม LMS

$$w_{n+1}(k) = w_n(k) - \mu e(n)x(n-k) \quad (4.3)$$

6. ข้อนกลับไปทำขั้นตอนที่ 1 ใหม่

จากขั้นตอนการทำงานของระบบในข้อ 4 จะเห็นว่า $\hat{e}(n) = x(n) + \hat{x}(n)$ ก็เนื่องจากว่าสมการ 4.3 ซึ่งเป็นสมการปรับค่าสัมประสิทธิ์ตัวกรองในขั้นตอนที่ 5 มีรูปแบบเป็น

$w_{n+1}(k) = w_n(k) - \mu e(n)x(n-k)$
ซึ่งปกติสมการการหาค่าสัมประสิทธิ์ตัวกรองจะเขียนได้ดังนี้ คือ

$$w_{n+1}(k) = w_n(k) + \mu e(n)x(n-k) \quad (4.4)$$

แต่ในที่นี่เราต้องการทำให้สัญญาณ $\hat{x}(n)$ ที่หาในขั้นตอนที่หนึ่ง เป็นสัญญาณส่วนกลับกับสัญญาณ $x(n)$ ดังนั้นจึงต้องเปลี่ยนสมการปรับปรุงค่าสัมประสิทธิ์ใหม่ดังแสดงในสมการ (4.3)

จากขั้นตอนวิธีการทำงานของระบบการทำงานโดยใช้อัลกอริธึม LMS เราต้องนำมาเขียนเป็นโปรแกรมการทำงานโดยใช้ภาษาแอสเซมบลี และเพื่อให้การเขียนภาษาแอสเซมบลีง่ายขึ้น เราจึงเขียนเป็นภาษาซีก่อน ในการเขียนโปรแกรมด้วยภาษาแอสเซมบลีของ TMS320C5x เนื่องจากคำสั่งของชิฟมีมาก ดังนั้นเราต้องเลือกคำสั่งให้เหมาะสมกับการกระทำที่เราต้องการ

จากขั้นตอนแรก คำนวณหาค่า $\hat{x}(n) = \sum_{k=0}^P w_n(k)x(n-k)$ ในที่นี่เราจะเขียน $y(n)$ แทน $\hat{x}(n)$ เพื่อความสะดวกในการสมมติตัวแปร

$$y(n) = \sum_{k=0}^P w_n(k)x(n-k) \quad (4.7)$$

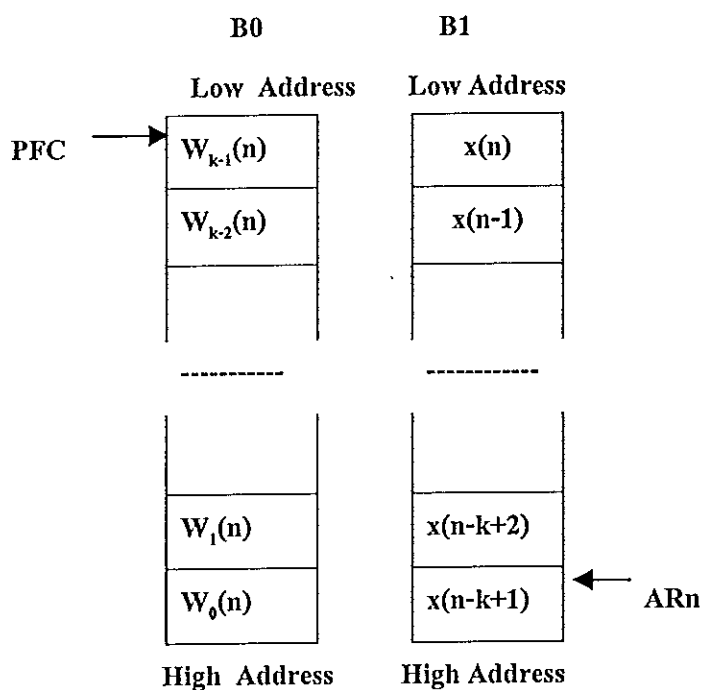
สมการข้างบนนี้เป็นการหาค่า $y(n)$ จากการทำคอนวอลชันระหว่างสัญญาณ $x(n)$ กับค่าสัมประสิทธิ์ตัวกรอง $w_n(k)$ เราเขียนเป็นภาษาซีได้ดังนี้

```

Y[0]=0
for (k=0; k<P+1; k++)
    y[N]+ = wn[k]*xn[k]
    wn[k] คือ w_n(k) และ xn[k] คือ x(n-k) คำสั่งที่เป็นภาษาแอสเซมบลี
    ของ TMS320C5x ที่นำมาใช้ในการทำคอนวอลชันคือ MACD
  
```

MAR	* , AR3
LAR	ARS, #LASTA P
RPT	#127
MACD	CDEFFP,*-
APAC	
SACH	y,1

จากตัวอย่างภาษาแอสเซมบลีข้างบนนี้ เป็นการทำคอนวอยชันระหว่าง $x(n)$ และ w_{n-k} ซึ่งอันดับของตัวกรองที่ใช้ในตัวอย่างโปรแกรมเท่ากับ 128 เราใช้รีจิสเตอร์ AR3 ซึ่งเป็นรีจิสเตอร์ช่วย (Auxiliary register) เป็นตัวชี้ค่าของ $x(n-k)$ และใช้พรีเฟทช์เคาน์เตอร์ (Prefetch counter :PFC) เป็นตัวชี้ค่าน้ำหนักตัวกรอง w_{n-k} จากภาพประกอบ 4.4 ค่าน้ำหนักของเวกเตอร์ w_n ถูกเก็บไว้ใน B0 และเวกเตอร์ $x(n)$ ถูกเก็บไว้ใน B1 เมื่อคำสั่ง MACD ถูกทำข้า ตำแหน่งที่เก็บค่าของสัมประสิทธิ์ที่อยู่ใน PFC จะถูกเพิ่มขึ้นทีละ 1 ในขณะเดียวกันตำแหน่งที่เก็บค่าตัวอย่าง $x(n-k)$ ในรีจิสเตอร์ช่วย AR3 ก็จะลดลงทีละ 1 ด้วย



ภาพประกอบ 4.4 แบบการวางแผนหน่วยความจำของ ค่าเวกเตอร์น้ำหนัก และ ข้อมูลเวกเตอร์

จากสมการ (4.3) ซึ่งเป็นสมการปรับค่าสัมประสิทธิ์ตัวกรองโดยใช้อัลกอริธึม LMS

$$w_{n+1}(k) = w_n(k) - \mu e(n)x(n-k) \quad \text{สำหรับ } k=0,1,2,\dots,p$$

จากสมการปรับค่าสัมประสิทธิ์ LMS จะเห็นว่าก่อนที่จะหาค่า w_{n+1} เราจะต้องหาค่า $\mu e[n]$ ก่อน ซึ่งเป็นค่าที่ใช้ในการปรับค่าสัมประสิทธิ์ตัวกรอง เราเขียนสมการดังกล่าวโดยใช้ภาษาซีได้ดังนี้

```
muen = mu*e[n]
for (k=0, k<P+1; k++)
    w_n[k] = muen * xn[k]
```

mu คือค่า สเตปไซ (step size)

$e[n]$ คือ $e(n)$ และ $muen$ คือ $\mu e[n]$ ซึ่งเป็นค่าผลคูณของค่าสเตปไซและค่าความผิดพลาดที่เวลา n

จากภาษาซีเขียนเป็นภาษาแอสเซมบลีแสดงตามข้างล่างนี้ คำสั่งที่สำคัญที่นำมาใช้ในการเขียนโปรแกรม คือ ZALR และ MPYS คำสั่ง ZALR จะโหลดค่าจากหน่วยความจำข้อมูลไปไว้ใน MSB ของแอคคูมิวเลเตอร์และทำการปัดเศษ คือ มันจะทำการปัดเศษโดยการเช็ต 15 บิตต่อ (บิต 0-14) ของแอคคูมิวเลเตอร์ให้เป็นศูนย์ และบิตที่ 15 ให้เป็น 1 , คำสั่ง MPYS จะเป็นการนำข้อมูลในแอคคูมิวเลเตอร์ร่วมด้วยข้อมูลในรีจิสเตอร์ P ต่อจากนั้นก็เอาข้อมูลไปเก็บในแอคคูมิวเลเตอร์ และนำข้อมูลในรีจิสเตอร์ T คูณกับข้อมูลที่อยู่ในตำแหน่งหน่วยความจำข้อมูลที่กำหนด

LAR AR1#N	; load loop counter
LAR AR2,#COEFFD	; point to the coefficients WN(n)
LAR AR3,# LASTAP	; point to the data sample x(n-N)
LT muen	; T= muen, muen=muxe(n)
MPY *-,AR2	; P=mu*e(n)*x(n-N)
ZALR *,AR3	; Load ACCH with WN (n)

MPYS *-,AR2	; ACC=W127-mu*e(n)*x(n-N)
	; P=mu*e(n)*x(n-N+1)
SACH *+	; store WN(n+1)
BANZ ADAP,*-,AR2	; loop again if counter not expired
N คือ อันดับของตัวกรอง	

4.3 ส่วนการส่งสัญญาณเอาต์พุท

สัญญาณเมื่อทำการประมวลผลและแปลงกลับสู่รูปแบบของอนาล็อกเรียบร้อยแล้ว ก่อนที่จะทำการส่งออกสู่ลำโพงภายในเป็นเสียงออกไปหักล้างเสียงรบกวน จะต้องทำการขยายสัญญาณให้มีขนาดใหญ่เพียงพอที่จะใช้ในการขัดเสียงรบกวน ในงานวิจัยนี้ในส่วนของการส่งสัญญาณเอาต์พุทจะใช้ลำโพงของคอมพิวเตอร์ ซึ่งภายในตัวลำโพงจะมีวงจรขยายสัญญาณอยู่แล้ว เราสามารถเดือกดูรับอัตราขยายของสัญญาณได้เพื่อให้เหมาะสมกับความต้องการเสียงรบกวนในการขัดเสียงรบกวน สำหรับอัตราขยายของลำโพงคอมพิวเตอร์ที่ใช้ในงานวิจัยนี้สามารถปรับได้ตั้งแต่ 0 dB – 21 dB

บทที่ 5

ผลและการอภิปรายผลการทดลอง

ในการทดลองนี้ เป็นการทดลองเกี่ยวกับการขัดเสียงรบกวน เพื่อทำให้เสียงรบกวนที่เกิดขึ้นนี้มีระดับที่ลดลงมากที่สุด ในกรณีลดเสียงรบกวนหรือการขัดเสียงรบกวนที่เกิดขึ้นจะใช้การประมวลสัญญาณแบบปรับตัวได้โดยอาศัยรูปแบบการทำงานเชิงเส้น ซึ่งได้กล่าวไว้แล้วในบทที่ 3

ในการทดลองขัดเสียงรบกวนจะใช้ฟังก์ชันเจนเนอเรเตอร์ (Function Generator) สร้างสัญญาณสูกคลื่นไซน์ (sine wave) ความถี่ตั้งแต่ 100 Hz – 500 Hz ขนาด 0.5 Vp-p แล้วทำการป้อนให้กับลำโพงกล้ายเป็นเสียง และในการทดลองจะใช้เสียงนี้เป็นเสียงรบกวนที่เกิดขึ้น และต้องการทำการขัดให้ลดลง ลำโพงที่ใช้ในการทดลอง ห้องลำโพงที่ใช้เป็นแหล่งกำเนิดเสียง รบกวนและลำโพงที่ใช้เป็นแหล่งกำเนิดเสียงหักล้างจะใช้ลำโพงของคอมพิวเตอร์ ซึ่งภายในตัวลำโพงจะมีวงจรขยายเรียบร้อยแล้ว สามารถปรับเปลี่ยนอัตราการขยายได้ตั้งแต่ 0 dB – 21 dB ในกรณีทดลองนี้เราปรับให้ลำโพงที่ทำหน้าที่เป็นตัวสร้างเสียงรบกวนและลำโพงที่ทำหน้าที่เป็นตัวกำเนิดเสียงหักล้างให้มีอัตราขยายเท่ากับ 16 dB

ในการขัดเสียงรบกวนสำหรับการทดลองในงานวิจัยนี้เราได้แบ่งการทดลองออกเป็น 2 แบบ คือ

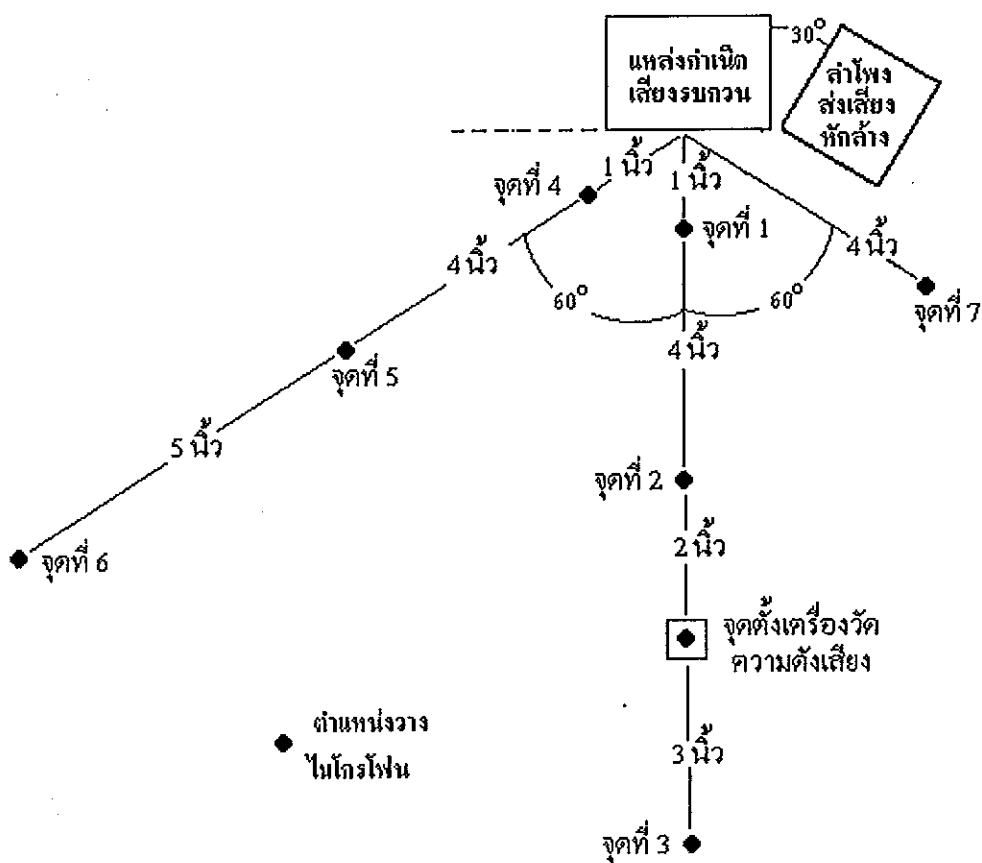
1. การทดลองเพื่อหาตำแหน่งในการวางไมโครโฟนที่เหมาะสมที่ทำให้ระดับเสียงรบกวนลดลงมากที่สุดเมื่อทำการขัด
2. การทดลองเพื่อคุ้ว่าในบริเวณที่เรากำหนดนั้นระดับของเสียงรบกวนลดลงหรือเพิ่มขึ้นอย่างไร

5.1 การทดลองเพื่อตำแหน่งการวางไมโครโฟนที่เหมาะสมในการขัดเสียงรบกวน

การทดลองเพื่อหาตำแหน่งการวางไมโครโฟนที่เหมาะสมที่ทำให้ระดับของเสียงรบกวนลดลงเหลือน้อยที่สุด ในกรณีทดลองนี้จะจัดวางแหล่งกำเนิดเสียงรบกวนในไมโครโฟนและลำโพงที่ใช้ในการขัดเสียงรบกวนดังภาพประกอบ 5.1 จากภาพประกอบ 5.1 เราจัดวางลำโพงที่ใช้เป็นตัวกำเนิดเสียงหักล้างจะวางให้ทำมุมเอียงเล็กน้อยประมาณ 30 องศา กับลำโพงที่ทำหน้าที่เป็นตัวกำเนิดเสียงรบกวน ตามภาพประกอบดังกล่าว และการวางไมโครโฟนจะเลือกว่างตามตำแหน่งที่

ต่างๆกัน โดยตัวแทนที่ 1 วางห่างจากแหล่งกำเนิดเสียงรบกวน 1 นิ้ว ตัวแทนที่ 2 เท่ากับ 5 นิ้ว ตัวแทนที่ 3 เท่ากับ 10 นิ้ว สำหรับ ตัวแทนที่ 4, ตัวแทนที่ 5, ตัวแทนที่ 6 วางที่ห้องประชุม 60 องศา ทิศทางตามเข็มนาฬิกาจากจุดกึ่งกลางของลำโพงที่ใช้เป็นตัวกำเนิดเสียงรบกวน เท่ากับ 1 นิ้ว, 5 นิ้ว และ 10 นิ้ว ตามลำดับ ตัวแทนที่ 7 วางห่างจากจุดกึ่งกลางของลำโพงที่ใช้เป็นตัวกำเนิดเสียงรบกวน 4 นิ้ว ห้องประชุม 60 องศา ในทิศทางทวนเข็มนาฬิกาจากจุดกึ่งกลางของลำโพงที่ใช้เป็นตัวกำเนิดเสียงรบกวน สำหรับเครื่องมือที่ใช้วัดความดังของเสียงนี้คือ digital sound level meter รุ่น CDA 830 ซึ่งจุดตั้งเครื่องวัดความดังเสียงจะวางทางด้านหน้าห่างจากลำโพงที่ทำหน้าที่เป็นตัวกำเนิดเสียงรบกวนเท่ากับ 7 นิ้ว

การวางลำโพงที่สร้างเสียงหักล้างที่ได้จัดวางดังภาพประกอบ 5.1 นั้นเป็นเพียงการสุ่มวางเอาเท่านั้น จริงๆแล้วไม่จำเป็นที่จะต้องวางตามการทดลองนี้ก็ได้ เราอาจจะวางทางด้านซ้ายมือ ห้ามุนให้มากกว่า 30 องศา ก็ได้ หรืออาจจะวางทางด้านหน้าแหล่งกำเนิดเสียงรบกวนก็ได้ แต่เมื่อเราเปลี่ยนตัวแทนที่ในการวางลำโพงที่เป็นตัวสร้างเสียงหักล้างไปแล้ว แน่นอนว่าตัวแทนที่ในการวางไม่โทรศัพท์ที่ทำให้ระดับของเสียงรบกวนลดลงน้อยที่สุดก็จะเปลี่ยนตามไปด้วย ในกรณีโทรศัพท์และ การวางลำโพงในการจัดเสียงรบกวน ถ้าวางในตัวแทนที่ไม่เหมาะสมก็จะเกิดอาการหัวดizzy หรือหอนขึ้น ดังนั้นการเลือกวางตัวแทนที่ไม่โทรศัพท์เป็นตัวตรวจสอบเสียงรบกวน จึงมีผลต่อการจัดเสียงรบกวนด้วยเป็นอย่างมาก จึงได้ทำการทดลองเพื่อหาตัวแทนที่ในการวางไม่โทรศัพท์ที่เหมาะสม



ภาพประกอบ 5.1 แสดงตำแหน่งการวางไมโครโฟนและการวางแผนเครื่องวัดระดับ
ความดังเสียง

ก่อนทำการทดลองเพื่อหาตำแหน่งในการวางไมโครโฟนและคุณว่าบริเวณใดมีระดับเสียง
รวมกันลดลงหรือเพิ่มขึ้นเมื่อทำการขัด ได้ทำการทดลองเพื่อหาอันดับของตัวกรองที่เหมาะสม
โดยการป้อนสัญญาณถูกคลื่นชานยนจากฟังก์ชัน Jenenne Reteorerเข้าไปยังเครื่องขัดเสียงรบกวน
โดยตรงโดยไม่ผ่านไมโครโฟน และทดลองเปลี่ยนอันดับของตัวกรองไปเรื่อยๆ เพื่อจะใช้
ตัวกรองอันดับที่เท่าไหร่ที่สามารถทำการทำนายค่าได้ถูกต้องมากที่สุด และจากการทดลองนี้พบ
ว่าอันดับของตัวกรองที่เหมาะสมสำหรับสัญญาณถูกคลื่นชานยนคือ ประมาณ 80 ขีน ไปจนกระทั่งให้
การประมาณสัญญาณได้ถูกต้อง แต่ในการทดลองจริงจะเริ่มใช้อันดับของตัวกรองตั้งแต่ 100
เนื่องจากว่าสัญญาณถูกคลื่นชานยนจากฟังก์ชัน Jenenne Reteorer เมื่อป้อนเข้าสู่ลำโพงภายในเสียง
ส่องอกไปในอากาศ เมื่อใช้ในไมโครโฟนเป็นตัวตรวจจับอาจได้รับสัญญาณที่มีรูปแบบเปลี่ยนแปลง
ไปบ้างดังนั้นจึง ทำการเพิ่มอันดับของตัวกรองเป็น 100 เพื่อให้การประมาณมีความถูกต้องมาก
ขึ้น สำหรับค่า สเตปไซซ์ (μ) ของอัลกอริธึม LMS ในสมการ (4.3) ที่เลือกในการทดลองเพื่อหา

ค่าอันดับตัวกรอง เท่ากับ 0.003, 0.005, 0.008, 0.01, 0.015, 0.02, 0.03, 0.05, 0.06 ผลจากการทดสอบที่ได้จะไม่มีความแตกต่างกันเมื่อเปลี่ยนค่าสเตปปิ๊ช ส่วนความถี่ที่ใช้ในการสุ่มเท่ากับ 11.5 kHz

จากภาพประกอบ 5.1 ในการทดสอบเพื่อหาตำแหน่งการวางในโทรศัพท์ให้มีความสมเริ่มจากป้อนสัญญาณขาขึ้นมาด 0.5 Vp-p ให้กับลำโพงที่ทำหน้าที่เป็นตัวกำหนดเสียงรบกวนปรับความถี่เสียงตามที่กำหนด ทำการเปิดเครื่องและรัน (run) โปรแกรมจัดเสียงรบกวน ช่วงแรกยังไม่เร่ง โวลุ่ม (volume)ของลำโพงที่ทำหน้าที่เป็นตัวกำหนดเสียงหักล้าง ทำการวัดและบันทึกค่าระดับความดังเสียงก่อนทำการจัดก่อน หลังจากนั้นค่อยเร่ง โวลุ่มของลำโพงที่ทำหน้าที่เป็นตัวกำหนดเสียงหักล้างให้มีอัตราขยาย เท่ากับ 16 dB เพื่อส่งเสียงหักล้างออกไปจัดเสียงรบกวน แล้วทำการบันทึกค่าระดับความดังเสียงเมื่อส่งเสียงหักล้างออกไปทำการจัดเสียงรบกวนดังกล่าว

ตาราง 5.1 ผลการทดสอบโดยใช้อันดับของตัวกรองเท่ากับ 100 ค่าสเตปปิ๊ช $\mu=0.005$

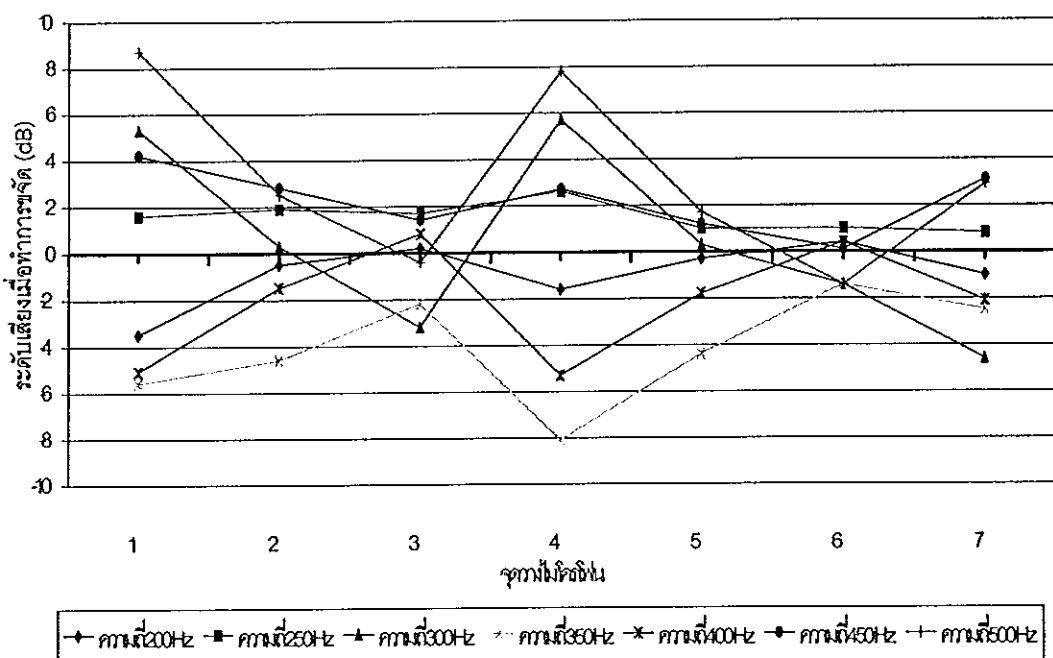
ความถี่ (Hz)	ก่อน (dB)	จุด 1 (dB)	จุด 2 (dB)	จุด 3 (dB)	จุด 4 (dB)	จุด 5 (dB)	จุด 6 (dB)	จุด 7 (dB)
200	73	69.5	72.5	73.2	71.4	72.7	73.4	72.0
250	75.2	76.8	77.1	76.9	77.8	76.2	76.2	76
300	84.7	90	85	81.5	90.4	85	83.3	80.1
350	92.6	87	88	90.4	84.5	88.2	91.2	90.1
400	88.8	83.7	87.3	89.6	83.5	87	89.2	86.7
450	95.5	99.7	98.3	96.9	98.2	96.7	95.6	98.6
500	90.9	99.6	93.4	90.5	98.7	92.6	89.5	93.8

จากตาราง 5.1 “ ก่อน ” หมายถึงระดับความดังของเสียงรบกวน ณ จุดตั้งเครื่องวัดความดังเสียงก่อนทำการจัด ส่วน “ จุดที่ 1 ถึง จุดที่ 7 ” เป็นระดับเสียงรบกวน ณ จุดวัด ภายหลังจากทำการจัดเมื่อทำการวางในโทรศัพท์แต่ละจุดดังกล่าว ซึ่งจุดวางเครื่องวัดความดังเสียงและจุดวางในโทรศัพท์แสดงตั้งภาพประกอบ 5.1 และต่อไปในตารางที่มีลำดับเป็นหมายเลขเดียวกันที่จะหมายความเช่นเดียวกับในตาราง 5.1 และในตารางที่มีลำดับเป็นหมายเลขคู่จะหมายความเช่นเดียวกับในตาราง 5.2 คือ “ จุดที่ 1 ถึง จุดที่ 7 ” หมายถึงผลต่างของระดับเสียงรบกวนก่อนทำการจัดกับเสียงรบกวนภายหลังจากการจัดเมื่อทำการวางในโทรศัพท์จนนั้นๆ

ตาราง 5.2 ผลต่างระหว่างเสียงรบกวนก่อนทำการขัดกับเสียงรบกวนหลังทำการขัด
เมื่อทำการวางไมโครโฟนในตำแหน่งที่ต่างๆ กัน (ใช้ค่าสตูปไว้เท่ากับ 0.005
อันดับเท่ากับ 100)

ความถี่ (Hz)	ชุดที่ 1 (dB)	ชุดที่ 2 (dB)	ชุดที่ 3 (dB)	ชุดที่ 4 (dB)	ชุดที่ 5 (dB)	ชุดที่ 6 (dB)	ชุดที่ 7 (dB)
200	-3.5	-0.5	0.2	-1.6	-0.3	0.4	-1
250	1.6	1.9	1.7	2.6	1	1	0.8
300	5.3	0.3	-3.2	5.7	0.3	-1.4	-4.6
350	-5.6	-4.6	-2.2	-8.1	-4.4	-1.4	-2.5
400	-5.1	-1.5	0.8	-5.3	-1.8	0.4	-2.1
450	4.2	2.8	1.4	2.7	1.2	0.1	3.1
500	8.7	2.5	-0.4	7.8	1.7	-1.4	2.9

จากตาราง 5.2 ค่าติดลบหมายถึงระดับเสียงรบกวนลดลงเมื่อทำการขัด ส่วนค่าที่เป็นบวกหมายความว่าระดับเสียงเพิ่มขึ้นเมื่อทำการขัด และนำค่าในตาราง 5.2 มาทำการพล็อตกราฟเพื่อให้เห็นผลการทดลองได้ดังเงื่อนมากยิ่งขึ้น



ภาพประกอบ 5.2 กราฟแสดงผลการขัดเสียงรบกวนที่จุดวางไมโครโฟนที่กำหนด
ที่ความถี่ 200 Hz – 500 Hz เมื่อใช้ค่าสตูปเท่ากับ 0.005

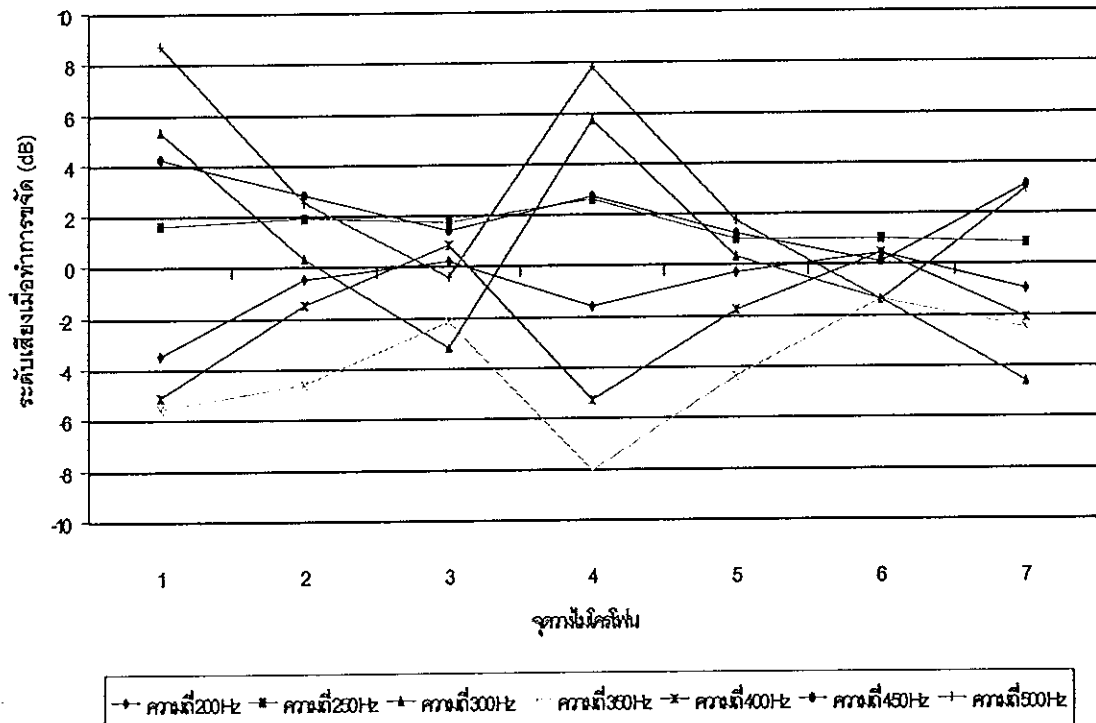
จากภาพประกอบ 5.2 จะเห็นว่าระดับเสียงรบกวนที่สามารถถูกลoweringให้มีระดับที่ต่ำลงมาได้อยู่ที่ความถี่ 200 Hz , 350 Hz และ 400 Hz และตำแหน่งที่วางไมโครโฟนแล้วทำให้ระดับเสียงรบกวนลดลงมากที่สุดอยู่ที่จุดที่ 4 ซึ่งวางห่างจากแหล่งกำเนิดเสียงรบกวนหนึ่งนิ้วออกไปทางซ้ายมือประมาณ 30 องศา รองลงมาคือตำแหน่งที่ 1 วางห่างจากแหล่งกำเนิดเสียงรบกวนทางด้านหน้าเท่ากับ 1 นิ้ว

ตาราง 5.3 ผลการทดลองโดยใช้อันดับของตัวกรองเท่ากับ 100 ค่าสเตปไซ $\mu=0.008$

ความถี่ (Hz)	ก่อน (dB)	จุด 1 (dB)	จุด 2 (dB)	จุด 3 (dB)	จุด 4 (dB)	จุด 5 (dB)	จุด 6 (dB)	จุด 7 (dB)
200	73.6	69.91	72.1	73.1	70.5	72.2	72.9	72.2
250	75.2	77.5	76.2	76.7	77.7	76.7	36.5	75.9
300	86.2	89.6	85.6	84.2	89.0	85.5	83.8	81.9
350	93.3	82.2	88.4	90.9	83.4	88.8	91.9	89.8
400	88.7	82.5	86.3	89.4	83.7	87.4	88.9	87.6
450	95.4	100.6	100.2	97.6	101.1	99.4	97.6	98.7
500	90	98.7	91.5	89	96.6	91	88.4	92.6

ตาราง 5.4 ผลต่างระหว่างเสียงรบกวนก่อนทำการขัดกับเสียงรบกวนหลังทำการขัด
เมื่อทำการวางไมโครโฟนในตำแหน่งที่ต่างๆ กัน (ใช้ค่าสเตปไซเซ่น 0.008
อันดับเท่ากัน 100)

ความถี่ (Hz)	ชุดที่ 1 (dB)	ชุดที่ 2 (dB)	ชุดที่ 3 (dB)	ชุดที่ 4 (dB)	ชุดที่ 5 (dB)	ชุดที่ 6 (dB)	ชุดที่ 7 (dB)
200	-3.69	-1.5	-0.5	-3.1	-1.4	-0.7	-1.4
250	2.3	1	1.5	2.5	1.5	1.3	0.7
300	3.4	-0.6	-2	2.8	-0.7	-2.4	-4.3
350	-11.1	-4.9	-2.4	-9.9	-4.5	-1.4	-3.5
400	-6.2	-2.4	0.7	-5	-1.3	0.2	-1.1
450	5.2	4.8	2.2	5.7	4	2.2	3.3
500	8.7	1.5	-1	6.6	1	-1.6	2.6



ภาพประกอบ 5.3 กราฟแสดงผลการขัดเสียงรบกวนที่ชุดวางไมโครโฟนที่กำหนด
ที่ความถี่ 200 Hz – 500 Hz เมื่อใช้ค่าสเตปไซเซ่น 0.008

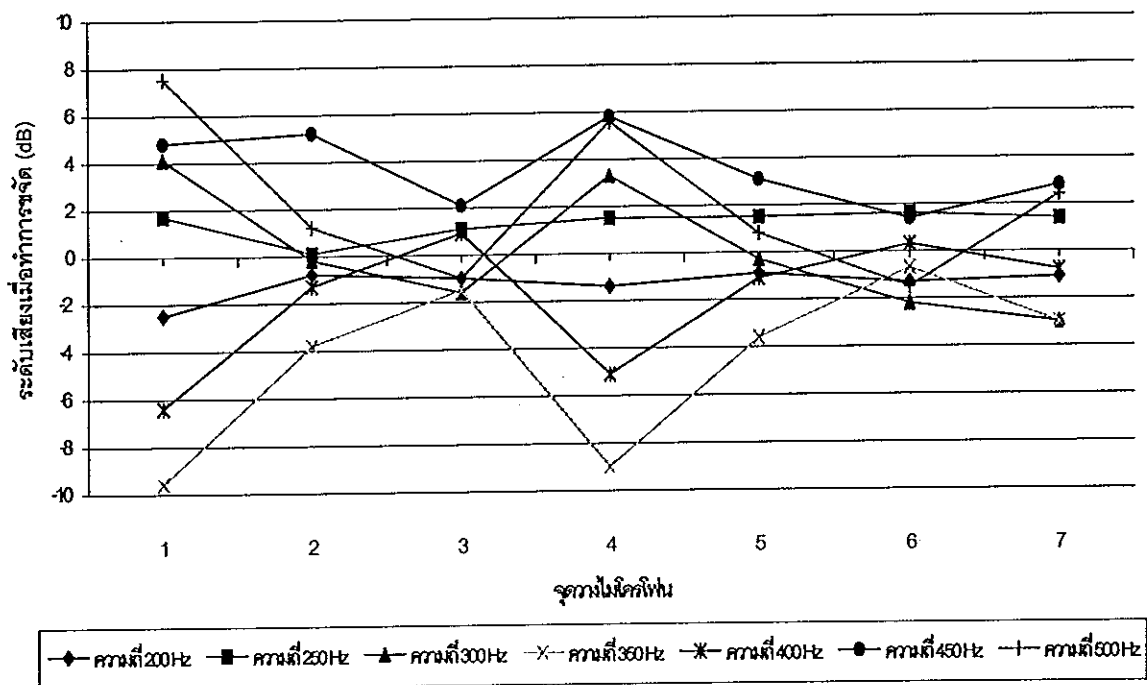
จากภาพประกอบ 5.3 เมื่อใช้ค่าสเตปป์ไซท์เท่ากับ 0.008 จะเห็นว่าระดับเสียงรบกวนที่ลดลงยังคงเป็นความถี่ 200 Hz , 350 Hz และ 400 Hz และลดลงมากกว่าการใช้ค่าสเตปป์ไซท์เท่ากับ 0.005 แต่จุดวางแผนในโทรศัพท์ที่ทำให้ระดับเสียงรบกวนที่ความถี่ดังกล่าวลดลงคือจุดที่ 1 รองลงมาคือจุดที่ 4

ตาราง 5.5 ผลการทดลองโดยใช้อันดับของตัวกรองเท่ากับ 100 ค่าสเตปป์ไซท์ $\mu=0.01$

ความถี่ (Hz)	ก่อน (dB)	จุด 1 (dB)	จุด 2 (dB)	จุด 3 (dB)	จุด 4 (dB)	จุด 5 (dB)	จุด 6 (dB)	จุด 7 (dB)
200	73.4	70.9	72.6	72.4	72	72.5	72.1	72.3
250	74.1	75.8	74.2	75.2	75.6	75.6	75.7	75.5
300	85.2	89.3	85	83.6	88.5	84.9	83	82.2
350	92.1	82.5	88.3	90.6	83.1	88.5	91.4	89.1
400	88.8	82.4	87.5	89.7	83.7	87.7	89.1	88.0
450	95.9	100.7	101.1	98	101.7	99	97.3	98.7
500	90.3	97.8	91.5	89.3	95.9	91.1	88.8	92.7

ตาราง 5.6 ผลต่างระหว่างเสียงรบกวนก่อนทำการขัดกับเสียงรบกวนหลังทำการขัดเมื่อทำการวางแผนในโทรศัพท์ในตำแหน่งที่ต่างๆ กัน (ใช้ค่าสเตปป์ไซท์เท่ากับ 0.01 อันดับเท่ากับ 100)

ความถี่ (Hz)	จุดที่ 1 (dB)	จุดที่ 2 (dB)	จุดที่ 3 (dB)	จุดที่ 4 (dB)	จุดที่ 5 (dB)	จุดที่ 6 (dB)	จุดที่ 7 (dB)
200	-2.5	-0.8	-1	-1.4	-0.9	-1.3	-1.1
250	1.7	0.1	1.1	1.5	1.5	1.6	1.4
300	4.1	-0.2	-1.6	3.3	-0.3	-2.2	-3
350	-9.6	-3.8	-1.5	-9	-3.6	-0.7	-3
400	-6.4	-1.3	0.9	-5.1	-1.1	0.3	-0.8
450	4.8	5.2	2.1	5.8	3.1	1.4	2.8
500	7.5	1.2	-1	5.6	0.8	-1.5	2.4



ภาพประกอบ 5.4 กราฟแสดงผลการขัดเสียงรบกวนที่จุดวางไมโครโฟนที่กำหนด
ที่ความถี่ 200 Hz – 500 Hz เมื่อใช้ค่าสเทปไซเท่ากับ 0.01

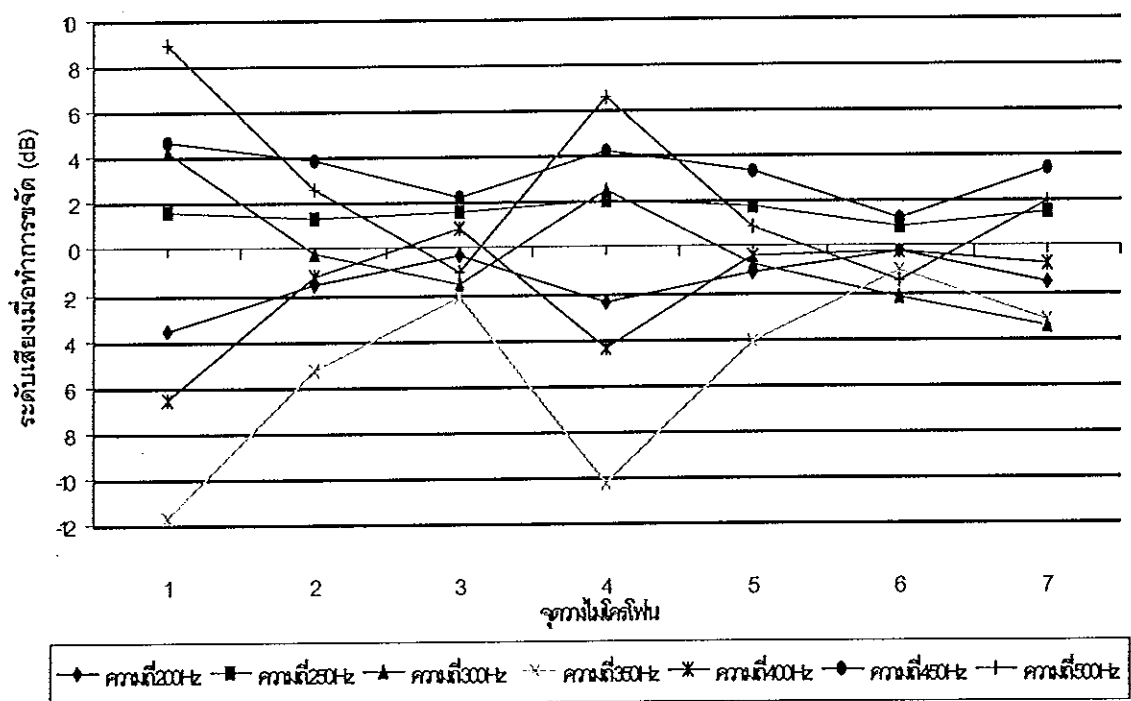
จากภาพประกอบ 5.4 เมื่อใช้ค่าสเทปไซเท่ากับ 0.01 ระดับเสียงรบกวนที่ลดลงมีความถี่เท่ากับ 200 Hz, 350 Hz และ 400 Hz และจุดวางไมโครโฟนที่ทำให้ระดับเสียงรบกวนลดลงสูงสุดอยู่ที่ตำแหน่งที่ 1 และรองลงมาคือตำแหน่งที่ 4

ตาราง 5.7 ผลการทดลองโดยใช้อันดับของตัวกรองเท่ากับ 100 ค่าสเทปไซ $\mu=0.015$

ความถี่ (Hz)	ก่อน (dB)	จุด 1 (dB)	จุด 2 (dB)	จุด 3 (dB)	จุด 4 (dB)	จุด 5 (dB)	จุด 6 (dB)	จุด 7 (dB)
200	74.3	70.7	72.7	74	71.9	73.2	74.1	72.7
250	75.1	76.7	76.4	76.7	77.1	76.9	76	76.6
300	86.2	90.4	86	84.6	88.7	85.4	84	82.7
350	93.5	81.8	88.2	91.4	83.2	89.4	92.5	90.3
400	88.7	82.1	87.5	89.6	84.3	88.3	88.5	87.9
450	95.9	100.6	99.7	98.1	100.1	99.2	97.1	99.3
500	89.9	98.8	92.5	88.9	96.5	90.8	88.4	91.8

ตาราง 5.8 ผลต่างระหว่างเสียงรบกวนก่อนทำการขัดกับเสียงรบกวนหลังทำการขัด
เมื่อทำการวางในโทรศัพท์ในตำแหน่งที่ต่างๆ กัน (ใช้ค่าสตบปีโซเท่ากับ 0.015
อันดับเท่ากับ 100)

ความถี่ (Hz)	ชุดที่ 1 (dB)	ชุดที่ 2 (dB)	ชุดที่ 3 (dB)	ชุดที่ 4 (dB)	ชุดที่ 5 (dB)	ชุดที่ 6 (dB)	ชุดที่ 7 (dB)
200	-3.6	-1.6	-0.3	-2.4	-1.1	-0.2	-1.6
250	1.6	1.3	1.6	2	1.8	0.9	1.5
300	4.2	-0.2	-1.6	2.5	-0.8	-2.2	-3.5
350	-11.7	-5.3	-2.1	-10.3	-4.1	-1	-3.2
400	-6.6	-1.2	0.9	-4.4	-0.4	-0.2	-0.8
450	4.7	3.8	2.2	4.2	3.3	1.2	3.4
500	8.9	2.6	-1	6.6	0.9	-1.5	1.9



ภาพประกอบ 5.5 กราฟแสดงผลการขัดเสียงรบกวนที่จุดวางในโทรศัพท์ที่กำหนด
ที่ความถี่ 200 Hz – 500 Hz เมื่อใช้ค่าสตบปีโซเท่ากับ 0.015

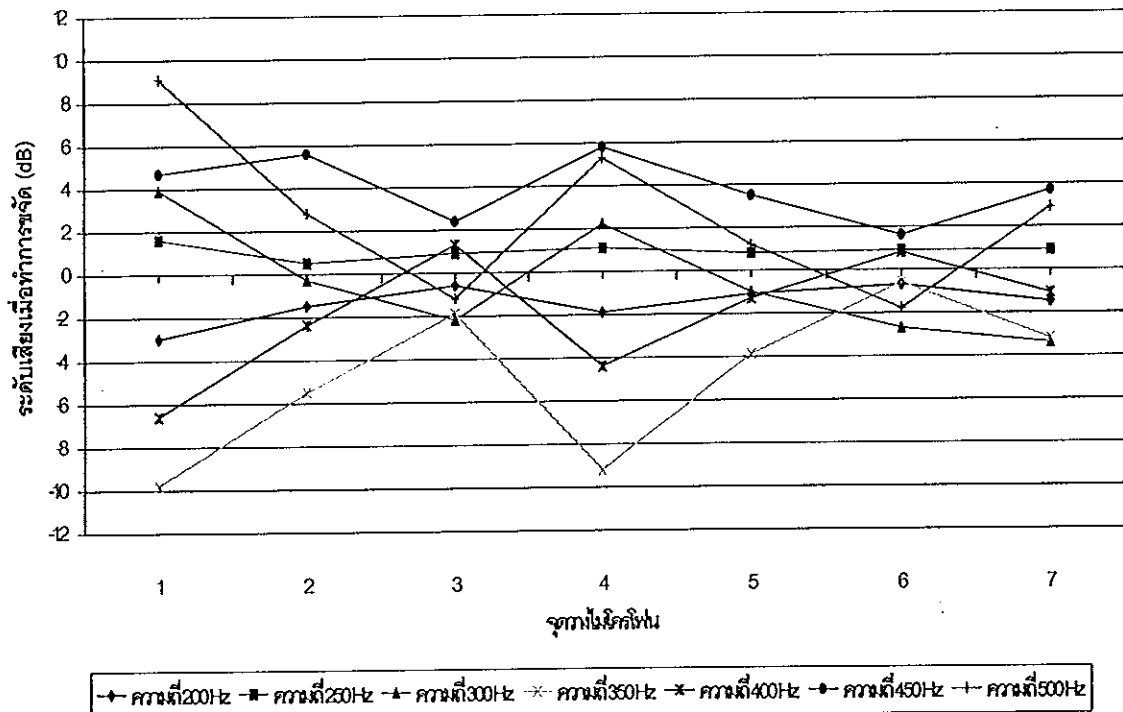
จากภาพประกอบ 5.5 จุดวางไมโครโฟนที่ทำให้เสียงรบกวนลดลงสูงสุดเมื่อทำการขัดขังคงอยู่ที่ตำแหน่งที่ 1 รองลงมาคือตำแหน่งที่ 4 และความถี่ของเสียงรบกวนที่สามารถทำการขัดให้มีระดับที่ต่ำลงมาก็ได้อยู่ที่ความถี่ 200 Hz, 350 Hz และ 400 Hz

ตาราง 5.9 ผลการทดสอบโดยใช้อันดับของตัวกรองเท่ากับ 100 ค่าstepปี่ไซ $\mu=0.02$

ความถี่ (Hz)	ก่อน (dB)	จุด 1 (dB)	จุด 2 (dB)	จุด 3 (dB)	จุด 4 (dB)	จุด 5 (dB)	จุด 6 (dB)	จุด 7 (dB)
200	73.8	70.8	72.3	73.2	71.9	72.7	73.1	72.3
250	75.9	77.5	76.4	76.8	77.0	76.7	76.8	76.8
300	86.3	90.2	86	84.1	88.5	85.3	83.6	82.9
350	92.4	82.6	86.9	90.5	83.2	88.5	91.8	89.2
400	88.7	82.1	86.3	90	84.3	87.4	89.5	87.6
450	95.9	100.6	101.5	98.3	101.7	99.4	97.5	99.6
500	89.9	99	92.7	88.7	95.2	91.1	88.1	92.8

ตาราง 5.10 ผลต่างระหว่างเสียงรบกวนก่อนทำการขัดกับเสียงรบกวนหลังทำการขัด เมื่อทำการวางไมโครโฟนในตำแหน่งที่ต่างๆกัน (ใช้ค่าstepปี่ไซเท่ากับ 0.02 อันดับเท่ากับ 100)

ความถี่ (Hz)	จุดที่ 1 (dB)	จุดที่ 2 (dB)	จุดที่ 3 (dB)	จุดที่ 4 (dB)	จุดที่ 5 (dB)	จุดที่ 6 (dB)	จุดที่ 7 (dB)
200	-3	-1.5	-0.6	-1.9	-1.1	-0.7	-1.5
250	1.6	0.5	0.9	1.1	0.8	0.9	0.9
300	3.9	-0.3	-2.2	2.2	-1	-2.7	-3.4
350	-9.8	-5.5	-1.9	-9.2	-3.9	-0.6	-3.2
400	-6.6	-2.4	1.3	-4.4	-1.3	0.8	-1.1
450	4.7	5.6	2.4	5.8	3.5	1.6	3.7
500	9.1	2.8	-1.2	5.3	1.2	-1.8	2.9



ภาพประกอบ 5.6 กราฟแสดงผลการขัดเสียงรบกวนที่จุดวางไมโครโฟนที่กำหนด
ที่ความถี่ 200 Hz – 500 Hz เมื่อใช้ค่าสเตปปีไซเท่ากับ 0.02

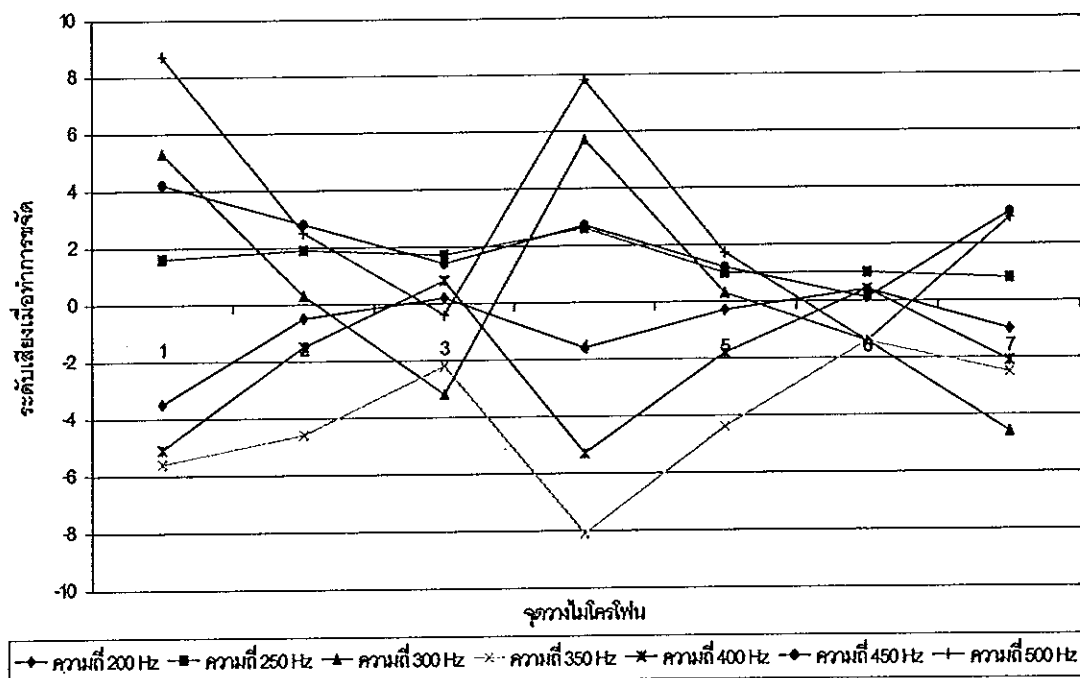
จากผลการทดลองในตาราง 5.2, 5.4, 5.6, 5.8 และ 5.10 ผลต่างระหว่างเสียงรบกวนก่อนทำการขัดกับเสียงรบกวนหลังทำการขัดเมื่อทำการวางไมโครโฟนในตำแหน่งที่ต่างๆ กันโดยใช้อันดับของตัวรองเท่ากับ 100 และทำการเปลี่ยนค่าสเตปปีไซ จาก 0.005, 0.008, 0.01, 0.015, 0.02 ตามลำดับ จะเห็นว่าเสียงรบกวนที่มีความถี่ 200 Hz, 350 Hz, 400 Hz สามารถทำให้มีระดับที่ต่ำลงมาได้ และตำแหน่งในการวางไมโครโฟนที่ทำให้ระดับเสียงรบกวนลดลงมากที่สุดคือตำแหน่งที่ 1 ซึ่งวางห่างจากแหล่งกำเนิดเสียงรบกวนเท่ากับ 1 นิ้ว รองลงมาคือตำแหน่งที่ 4 วางห่างจากแหล่งกำเนิดเสียงรบกวนเท่ากับ 1 นิ้ว ทำมุมประมาณ 30 องศาจากจุดกึ่งกลางของแหล่งกำเนิดเสียง รบกวน และจากตาราง 4 ซึ่งใช้ค่าสเตปปีไซเท่ากับ 0.045 จะทำให้ระดับเสียงรบกวนที่ความถี่ 200 Hz, 350 Hz และ 400 Hz ลดลงได้มากที่สุดเมื่อเทียบกับการใช้ค่าสเตปปีไซอื่นๆ

ตาราง 5.11 ผลการทดลองโดยใช้อันดับของตัวกรองเท่ากับ 150 ค่าสเตปปีช $\mu=0.005$

ความถี่ (Hz)	ก่อน (dB)	ชุด 1 (dB)	ชุด 2 (dB)	ชุด 3 (dB)	ชุด 4 (dB)	ชุด 5 (dB)	ชุด 6 (dB)	ชุด 7 (dB)
200	74.7	71.7	73.5	74	73	74.0	74.3	73.8
250	75.8	77.4	76.5	76.9	77.2	76.8	76.7	76.5
300	85.2	89.4	85.4	83.8	88.3	84.6	82.9	81.7
350	91.2	82	86	89.8	82.3	87.5	90.6	88.4
400	87.8	82.4	86	89.1	81.9	87.3	88.5	87
450	94.4	99.2	98.2	96.4	99.5	97.4	95.9	97.3
500	88.6	96.9	91.0	87.8	94.9	89.9	87.2	87.7

ตาราง 5.12 ผลต่างระหว่างเสียงรบกวนก่อนทำการขัดกับเสียงรบกวนหลังทำการขัด
เมื่อทำการวางไมโครโฟนในตำแหน่งที่ต่างๆ กัน (ใช้ค่าสเตปปีช
เท่ากับ 0.005 อันดับเท่ากับ 150)

ความถี่ (Hz)	ชุดที่ 1 (dB)	ชุดที่ 2 (dB)	ชุดที่ 3 (dB)	ชุดที่ 4 (dB)	ชุดที่ 5 (dB)	ชุดที่ 6 (dB)	ชุดที่ 7 (dB)
200	-3	-1.2	-0.7	-1.7	-0.7	-0.4	-0.9
250	1.6	0.7	1.1	1.4	1	0.9	0.7
300	4.2	0.2	-1.4	3.1	-0.6	-2.3	-3.5
350	-9.2	-5.2	-1.4	-8.9	-3.7	-0.6	-2.8
400	-5.4	-1.8	1.3	-5.9	-0.5	0.7	-0.8
450	4.8	3.8	2	5.1	3	1.5	2.9
500	8.3	2.4	-0.8	6.3	1.3	-1.4	-0.9



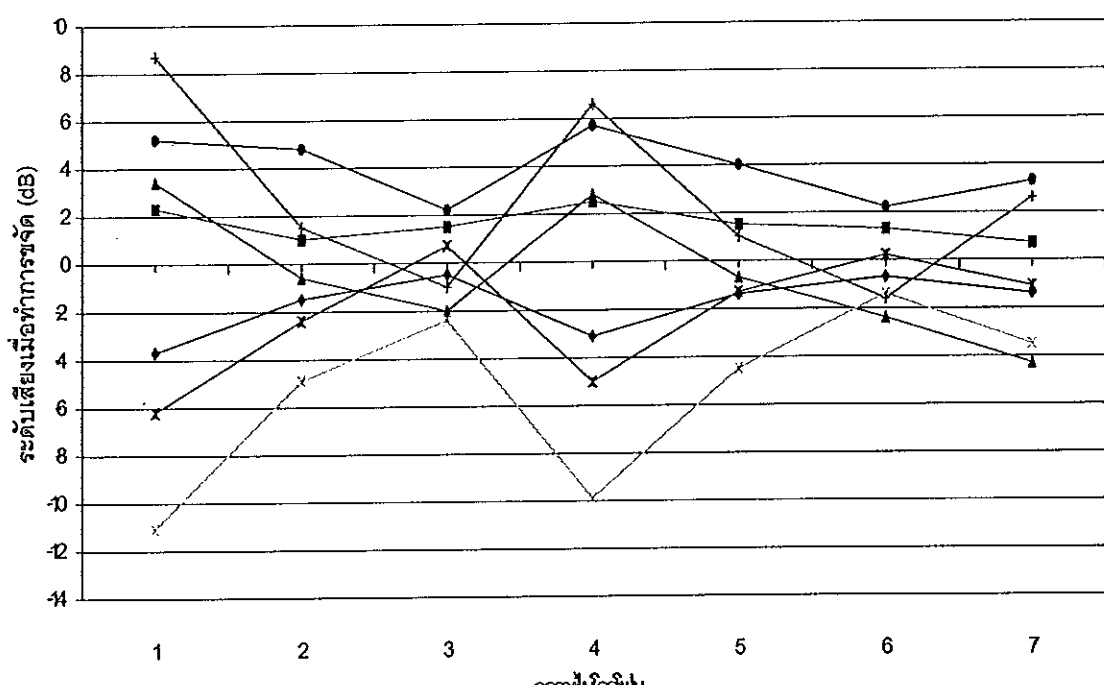
ภาพประกอบ 5.7 กราฟแสดงผลการขัดเสียงรบกวนที่จุดวางไมโครโฟนที่กำหนด
ที่ความถี่ 200 Hz – 500 Hz เมื่อใช้ค่าสเตปเท่ากับ 0.005

ตาราง 5.13 ผลการทดลองโดยใช้อันดับของตัวกรองเท่ากับ 150 ค่าสเตปไช $\mu=0.008$

ความถี่ (Hz)	ก่อน (dB)	จุด 1 (dB)	จุด 2 (dB)	จุด 3 (dB)	จุด 4 (dB)	จุด 5 (dB)	จุด 6 (dB)	จุด 7 (dB)
200	72.3	68.5	70.6	71.8	69.8	71.0	71.4	70.7
250	74.5	75.5	75.6	76	76	75.9	75.8	75.4
300	85.4	88.5	84.8	83.5	88.3	84.4	82.7	81.3
350	91.8	81.9	87.4	90.2	84.3	88.3	91.1	89.1
400	87.8	82.5	86	89.0	81.6	87.1	88.5	87.0
450	94.4	99.7	99.8	97	100.6	98.4	96.5	98.5
500	88.7	98	91.5	87.7	93.5	89.4	86.9	90.9

ตาราง 5.14 ผลต่างระหว่างเสียงรบกวนก่อนทำการขัดกับเสียงรบกวนหลังทำการขัด
เมื่อทำการวางไมโครโฟนในตำแหน่งที่ต่างๆ กัน (ใช้ค่าสเตปไช
เท่ากับ 0.008 อันดับเท่ากับ 150)

ความถี่ (Hz)	จุดที่ 1 (dB)	จุดที่ 2 (dB)	จุดที่ 3 (dB)	จุดที่ 4 (dB)	จุดที่ 5 (dB)	จุดที่ 6 (dB)	จุดที่ 7 (dB)
200	-3.8	-1.7	-0.5	-2.5	-1.3	-0.9	-1.6
250	1	1.1	1.5	1.5	1.4	1.3	0.9
300	3.1	-0.6	-1.9	2.9	-1	-2.7	-4.1
350	-9.9	-4.4	-1.6	-7.5	-3.5	-0.7	-2.7
400	-5.3	-1.8	1.2	-6.2	-0.7	0.7	-0.8
450	5.3	5.4	2.6	6.2	4	2.1	4.1
500	9.3	2.8	-1	4.8	0.7	-1.8	2.2



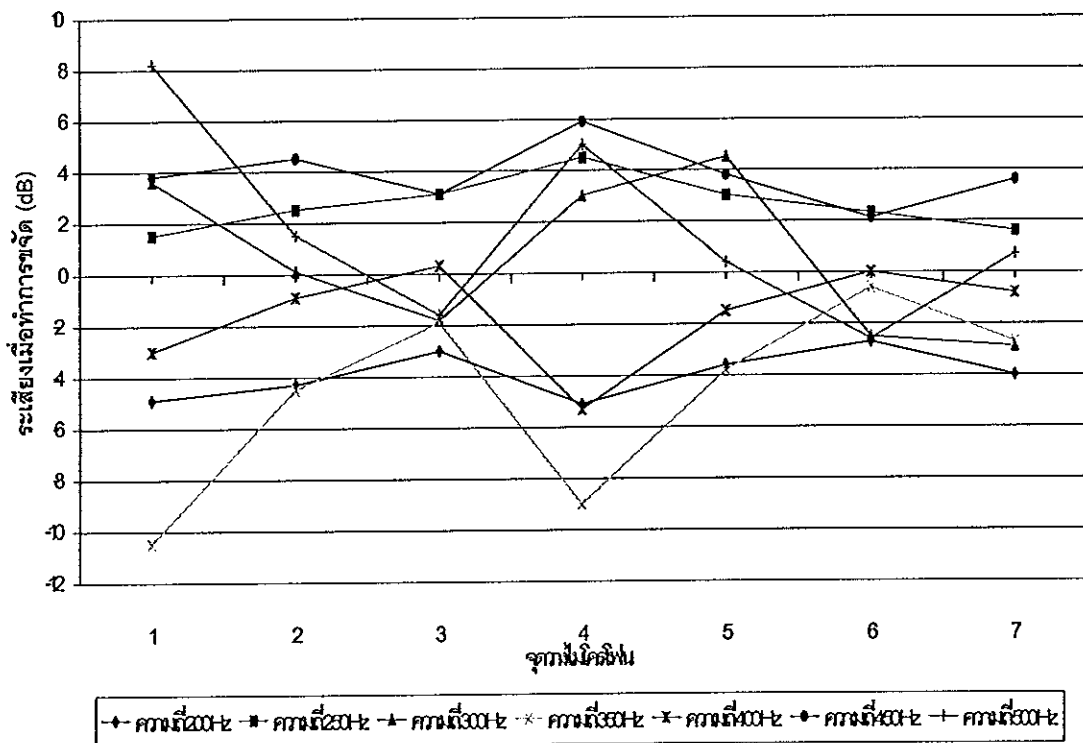
ภาพประกอบ 5.8 กราฟแสดงผลการขัดเสียงรบกวนที่จุดวางไมโครโฟนที่กำหนด
ที่ความถี่ 200 Hz – 500 Hz เมื่อใช้ค่าสเตปไชเท่ากับ 0.008

ตาราง 5.15 ผลการทดสอบโดยใช้อันดับของตัวกรองเท่ากับ 150 ค่าสเตปป์ไซซ์ $\mu=0.01$

ความถี่ (Hz)	ก่อน (dB)	ชุด 1 (dB)	ชุด 2 (dB)	ชุด 3 (dB)	ชุด 4 (dB)	ชุด 5 (dB)	ชุด 6 (dB)	ชุด 7 (dB)
200	75.2	70.3	70.9	72.2	70.1	71.6	72.5	71.2
250	74.7	76.2	77.2	77.8	79.2	77.7	77	76.3
300	85	88.6	85.1	83.2	88	89.5	82.5	82.1
350	91.7	81.2	87.2	89.8	82.7	87.9	91.1	89.0
400	87.4	84.4	86.5	87.7	82.1	85.9	87.4	86.6
450	95.1	98.9	99.6	98.2	101	98.9	97.2	98.7
500	90.2	98.4	91.7	88.6	95.2	90.6	87.6	90.9

ตาราง 5.16 ผลต่างระหว่างเสียงรบกวนก่อนทำการขัดกับเสียงรบกวนหลังทำการขัด
เมื่อทำการวางไมโครโฟนในตำแหน่งที่ต่างๆ กัน (ใช้ค่าสเตปป์ไซซ์เท่ากับ 0.01
อันดับเท่ากับ 150)

ความถี่ (Hz)	ชุดที่ 1 (dB)	ชุดที่ 2 (dB)	ชุดที่ 3 (dB)	ชุดที่ 4 (dB)	ชุดที่ 5 (dB)	ชุดที่ 6 (dB)	ชุดที่ 7 (dB)
200	-4.9	-4.3	-3	-5.1	-3.6	-2.7	-4
250	1.5	2.5	3.1	4.5	3	2.3	1.6
300	3.6	0.1	-1.8	3	4.5	-2.5	-2.9
350	-10.5	-4.5	-1.9	-9	-3.8	-0.6	-2.7
400	-3	-0.9	0.3	-5.3	-1.5	0	-0.8
450	3.8	4.5	3.1	5.9	3.8	2.1	3.6
500	8.2	1.5	-1.6	5	0.4	-2.6	0.7



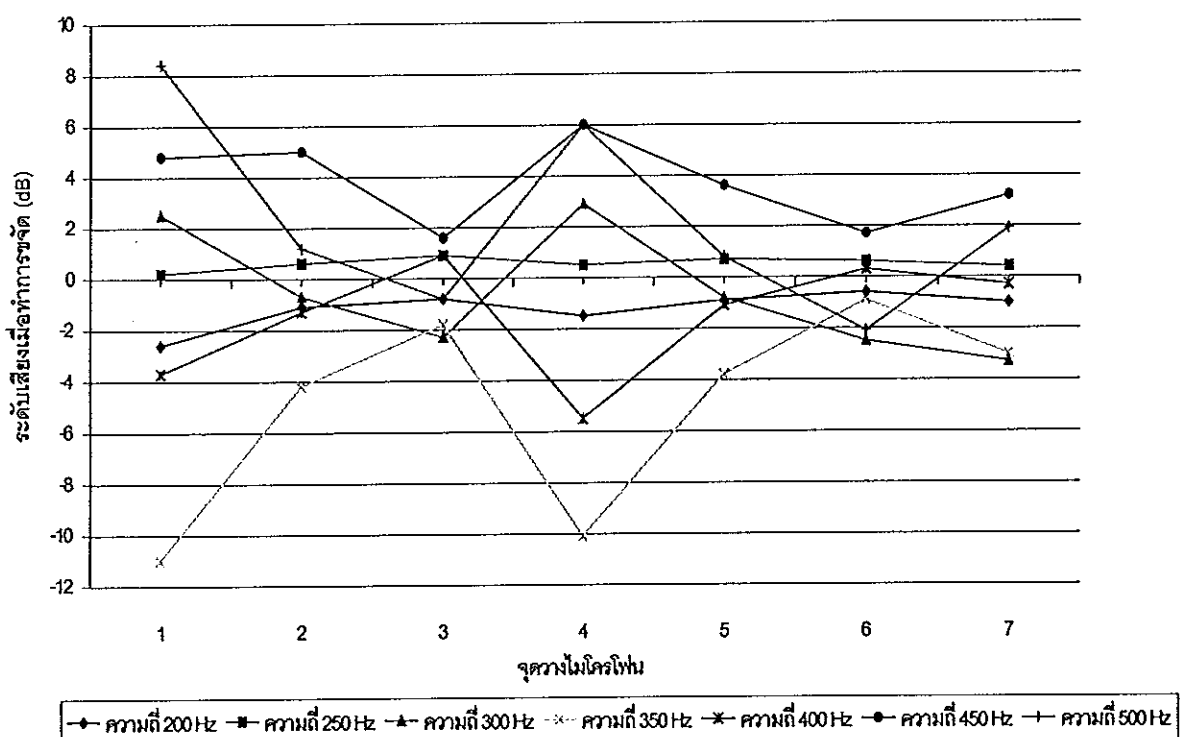
ภาพประกอบ 5.9 กราฟแสดงผลการจัดเสียงรบกวนที่จุดวางไมโครโฟนที่กำหนด
ที่ความถี่ 200 Hz – 500 Hz เมื่อใช้ค่าสเตปไซเท่ากับ 0.01

ตาราง 5.17 ผลการทดลองโดยใช้อันดับของตัวกรองเท่ากับ 100 ค่าสเตปไซ $\mu=0.015$

ความถี่ (Hz)	ก่อน (dB)	จุด 1 (dB)	จุด 2 (dB)	จุด 3 (dB)	จุด 4 (dB)	จุด 5 (dB)	จุด 6 (dB)	จุด 7 (dB)
200	72.7	70.1	71.6	71.9	71.2	71.8	72.1	71.7
250	75.4	75.6	76	76.3	75.9	76.1	76	75.8
300	85.3	87.8	84.6	83	88.2	84.5	82.8	82
350	91.5	80.5	87.3	89.7	81.4	87.7	90.6	88.5
400	87.9	84.2	86.6	88.8	82.4	86.8	88.2	87.6
450	93.8	98.6	98.8	95.4	99.8	97.4	95.5	97
500	88	96.4	89.2	87.2	94.0	88.8	85.9	89.9

ตาราง 5.18 ผลต่างระหว่างเสียงรบกวนก่อนทำการขัดกับเสียงรบกวนหลังทำการขัด
เมื่อทำการวางไมโครโฟนในตำแหน่งที่ต่างๆ กัน (ใช้ค่าสเกลปั๊ไซเท่ากับ
0.015 อันดับเท่ากับ 150)

ความถี่ (Hz)	จุดที่ 1 (dB)	จุดที่ 2 (dB)	จุดที่ 3 (dB)	จุดที่ 4 (dB)	จุดที่ 5 (dB)	จุดที่ 6 (dB)	จุดที่ 7 (dB)
200	-2.6	-1.1	-0.8	-1.5	-0.9	-0.6	-1
250	0.2	0.6	0.9	0.5	0.7	0.6	0.4
300	2.5	-0.7	-2.3	2.9	-0.8	-2.5	-3.3
350	-11	-4.2	-1.8	-10.1	-3.8	-0.9	-3
400	-3.7	-1.3	0.9	-5.5	-1.1	0.3	-0.3
450	4.8	5	1.6	6	3.6	1.7	3.2
500	8.4	1.2	-0.8	6	0.8	-2.1	1.9



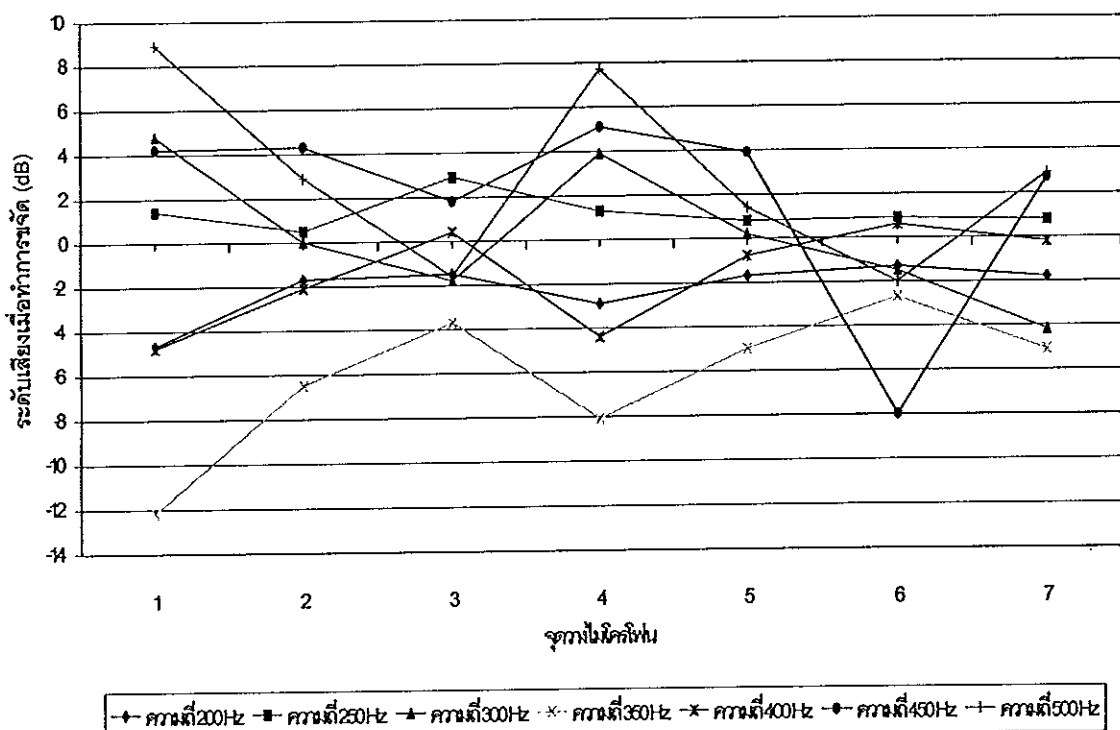
ภาพประกอบ 5.10 กราฟแสดงผลการขัดเสียงรบกวนที่จุดวางไมโครโฟนที่กำหนด
ที่ความถี่ 200 Hz – 500 Hz เมื่อใช้ค่าสเกลปั๊ไซเท่ากับ 0.015

ตาราง 5.19 ผลการทดลองโดยใช้อันดับของตัวกรองเท่ากับ 150 ค่าสเตปป์ไซ $\mu=0.02$

ความถี่ (Hz)	ก่อน (dB)	ชุด 1 (dB)	ชุด 2 (dB)	ชุด 3 (dB)	ชุด 4 (dB)	ชุด 5 (dB)	ชุด 6 (dB)	ชุด 7 (dB)
200	73.7	69	72	72.2	70.8	72	72.4	71.9
250	76.2	77.6	76.7	79.1	77.5	77	77.1	77
300	85	89.8	85	83.2	88.9	85.2	83.5	80.8
350	92.9	80.7	86.4	89.2	84.8	87.9	90.2	87.8
400	88.2	83.4	86.1	88.6	83.8	87.4	88.8	88
450	93	97.2	97.3	94.8	98.1	96.9	85.0	95.7
500	90	98.9	92.9	88.4	97.7	91.4	88	92.9

ตาราง 5.20 ผลต่างระหว่างเสียงรบกวนก่อนทำการขัดกับเสียงรบกวนหลังทำการขัด
เมื่อทำการวางแผนในตำแหน่งที่ต่างๆ กัน (ใช้ค่าสเตปป์ไซเท่ากับ 0.02
อันดับของตัวกรองเท่ากับ 150)

ความถี่ (Hz)	ชุดที่ 1 (dB)	ชุดที่ 2 (dB)	ชุดที่ 3 (dB)	ชุดที่ 4 (dB)	ชุดที่ 5 (dB)	ชุดที่ 6 (dB)	ชุดที่ 7 (dB)
200	-4.7	-1.7	-1.5	-2.9	-1.7	-1.3	-1.8
250	1.4	0.5	2.9	1.3	-0.8	0.9	0.8
300	4.8	0	-1.8	3.9	0.2	-1.5	-4.2
350	-12.2	-6.5	-3.7	-8.1	-5	-2.7	-5.1
400	-4.8	-2.1	0.4	-4.4	-0.8	0.6	-0.2
450	4.2	4.3	1.8	5.1	3.9	-8	2.7
500	8.9	2.9	-1.6	7.7	1.4	-2	2.9



ภาพประกอบ 5.11 กราฟแสดงผลการจัดเสียงรบกวนที่จุดวางในโทรศัพท์มือถือที่กำหนด
ที่ความถี่ 200 Hz – 500 Hz เมื่อใช้ค่าสเกลปีไซเท่ากับ 0.02

จากการทดลองใช้อันดับของตัวกรองเท่ากับ 150 และทำการปรับเปลี่ยนค่าสเกลปีไซต์ตั้งแต่ 0.005, 0.008, 0.01, 0.015, และ 0.02 ตามลำดับ จะเห็นว่าตำแหน่งการวางไมโครโฟนในตำแหน่งที่ 1 สามารถจัดเสียงรบกวนให้มีระดับลดลงมากที่สุด เมื่อเทียบกับตำแหน่งอื่นๆ ตำแหน่งร่องลงมาคือตำแหน่งที่ 4 และความถี่เสียงรบกวนที่สามารถจัดแล้วทำให้มีระดับต่ำลงมาก็คือความถี่ 200 Hz, 350 Hz และ 400 Hz และจากตาราง 5.12, 5.14, 5.16, 5.18 และ 5.20 สังเกตว่าในตำแหน่งการวางไมโครโฟนที่ตำแหน่งที่ 1 เมื่อทำการเพิ่มค่าสเกลปีไซขึ้น จะเห็นว่าที่ค่าความถี่ 300 Hz จะค่อยๆ เพิ่มขึ้น แต่ก็ยังมีระดับที่ต่ำกว่าเสียงรบกวนขณะยังไม่ทำการจัด และที่ความถี่ 350 Hz และ 450 Hz นี้ เมื่อเพิ่มค่าสเกลปีไซเป็น 0.015 จะพบว่าทำการจัดจะเกิดเสียงหวีดหอนขึ้น

จากการทดลองใช้อันดับของตัวกรองเท่ากับ 100 และ 150 ค่าสเกลปีไซเท่ากับ 0.005, 0.008, 0.01, 0.015, และ 0.02 จะเห็นว่าระดับเสียงรบกวนที่เกิดขึ้นเมื่อทำการจัดสามารถทำให้ลดลงได้มากที่ความถี่ 200 Hz, 350 Hz, และ 400 Hz ตำแหน่งการวางไมโครโฟนแล้วทำให้ระดับเสียงรบกวนที่ความถี่ตั้งกล่าวลดลงมากที่สุดคือตำแหน่งที่ 1 รองลงมาคือตำแหน่งที่ 4 และ

จากราฟที่แสดงการขัดเสียงรบกวนจะเห็นการใช้อันดับของตัวกรองเท่ากับ 100 และ ค่าสเตป
ไซเท่ากับ 0.015 สามารถทำการขัดเสียงรบกวนให้มีระดับที่ลงมากได้มากที่สุด

ตาราง 5.21 ผลการทดลอง เมื่อใช้อันดับของตัวกรองเท่ากับ 200 และค่าสเตปไว
เท่ากับ 0.005 (วัดเฉพาะชุดที่ 1 และ 4)

ความถี่ (Hz)	ก่อน (dB)	ชุด 1 (dB)	ชุด 4 (dB)
200	73.8	71.9	70.8
250	78.4	-	78.8
300	86.0	90.6	90.4
350	92.2	-	85.1
400	88.3	-	82.8
450	93.2	97.8	98.9
500	90.8	-	98

ตาราง 5.22 ผลการทดลอง เมื่อใช้อันดับของตัวกรองเท่ากับ 200 และค่าสเตปไว
เท่ากับ 0.008 (วัดเฉพาะชุดที่ 1 และ 4)

ความถี่ (Hz)	ก่อน (dB)	ชุด 1 (dB)	ชุด 4 (dB)
200	74.4	85.8	70.4
250	78.7	79.3	78.7
300	85.6	90	89.7
350	93.8	-	85.4
400	88.3	87	83.2
450	92.8	97.6	98.5
500	90.2	-	98.1

ตาราง 5.23 ผลการทดลอง เมื่อใช้อันดับของตัวกรองเท่ากับ 200 และค่าสเต็ปไซ
เท่ากับ 0.01 (วัดเฉพาะชุดที่ 1 และ 4)

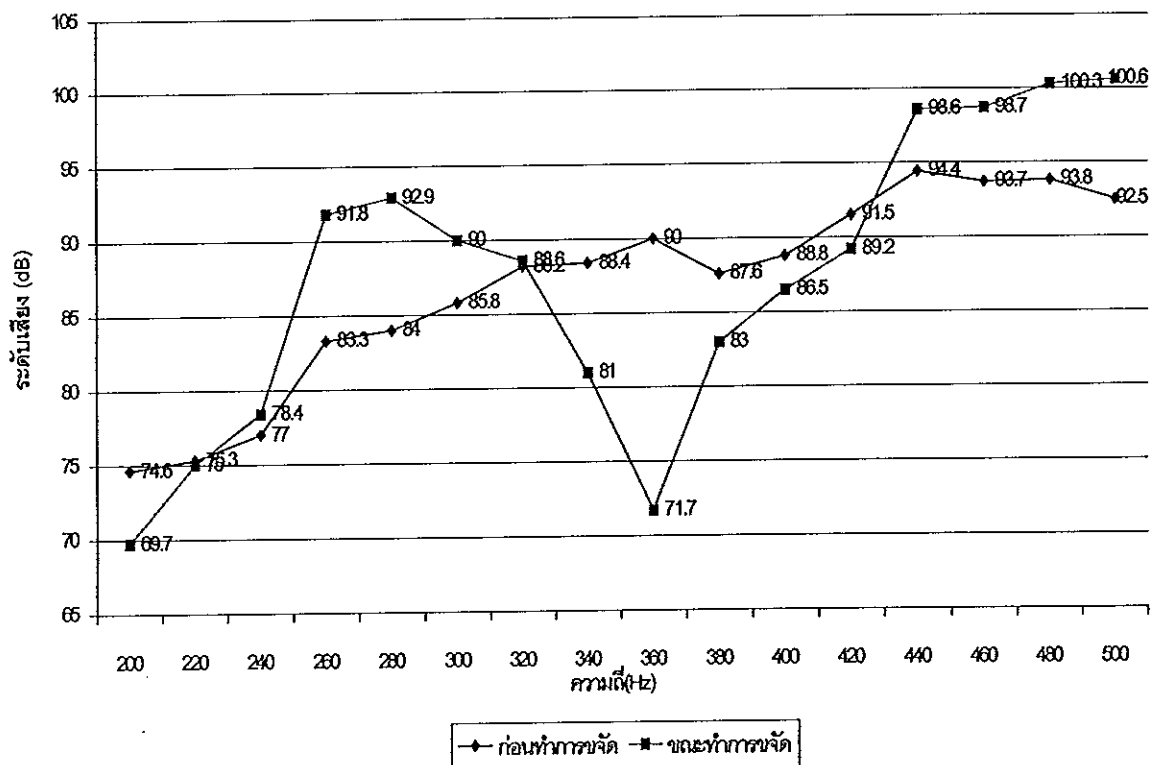
ความถี่ (Hz)	ก่อน (dB)	ชุด 1 (dB)	ชุด 4 (dB)
200	75.1	70.4	71.8
250	76.8	77.7	77.8
300	85.7	90.0	90.3
350	93.3	83.8	84.4
400	88.2	83.7	83.3
450	94.3	99.1	99.6
500	91.7	-	99.4

ในการทดลองโดยใช้อันดับของตัวกรองเท่ากับ 200 ค่าสเต็ปไซ 0.005, 0.008 และ 0.01 ผลของการทดลองเมื่อนำไปเปรียบเทียบกับตำแหน่งที่ 1 และตำแหน่งที่ 4 ใน การใช้อันดับของตัวกรองเท่ากับ 100 และ 150 ที่ค่าสเต็ปไซเดียวกัน จะเห็นว่าค่าของระดับความดังเมื่อทำการจัด อันดับเท่ากับ 100 และ 150 สามารถทำให้เสียงรบกวนลดลงได้มากกว่า และการใช้อันดับของตัวกรองเท่ากับ 200 นี้ ในช่วงความถี่เท่ากับ 350 Hz, 400 Hz มักจะเกิดการหวัดหนองบ่อຍ

ในตาราง 24 ทำการปรับช่วงความถี่ให้ละเอียดขึ้น เพื่อดูว่าความถี่ในช่วงไหนที่ เครื่องจัดเสียงรบกวนสามารถทำให้เสียงรบกวนลดลงได้ โดยเลือกขยายจาก ตาราง 5.7 ซึ่งใช้อันดับของตัวกรองเท่ากับ 100 และค่าสเต็ปไซเท่ากับ 0.015 ซึ่งเมื่อดูจากราฟในภาพประกอบ 5.5 แล้วระดับเสียงรบกวนลดลงมากที่สุด ใน การทดลองนี้จะเลือกใช้จุดวางในโทรศัพท์ที่ตำแหน่งที่ 1 เพียง จุดเดียว ซึ่งเป็นจุดที่ สามารถทำให้ระดับเสียงรบกวนลดลงมากที่สุด

ตาราง 5.24 ผลการทดลองเมื่อทำการกระจายช่วงความถี่ให้ละเอียดขึ้น โดยใช้อันดับของตัวกรองเท่ากับ 100 และค่าสเกลปีไซเท่ากับ 0.015

ความถี่ (Hz)	ก่อน (dB)	จุดที่ 1 (dB)
200	74.6	69.7
220	75.3	75
240	77	78.4
260	83.3	91.8
280	84	92.9
300	85.8	90
320	88.2	88.6
340	88.4	81
360	90	71.7
380	87.6	83
400	88.8	86.5
420	91.5	89.2
440	94.4	98.6
460	93.7	98.7
480	93.8	100.3
500	92.5	100.6



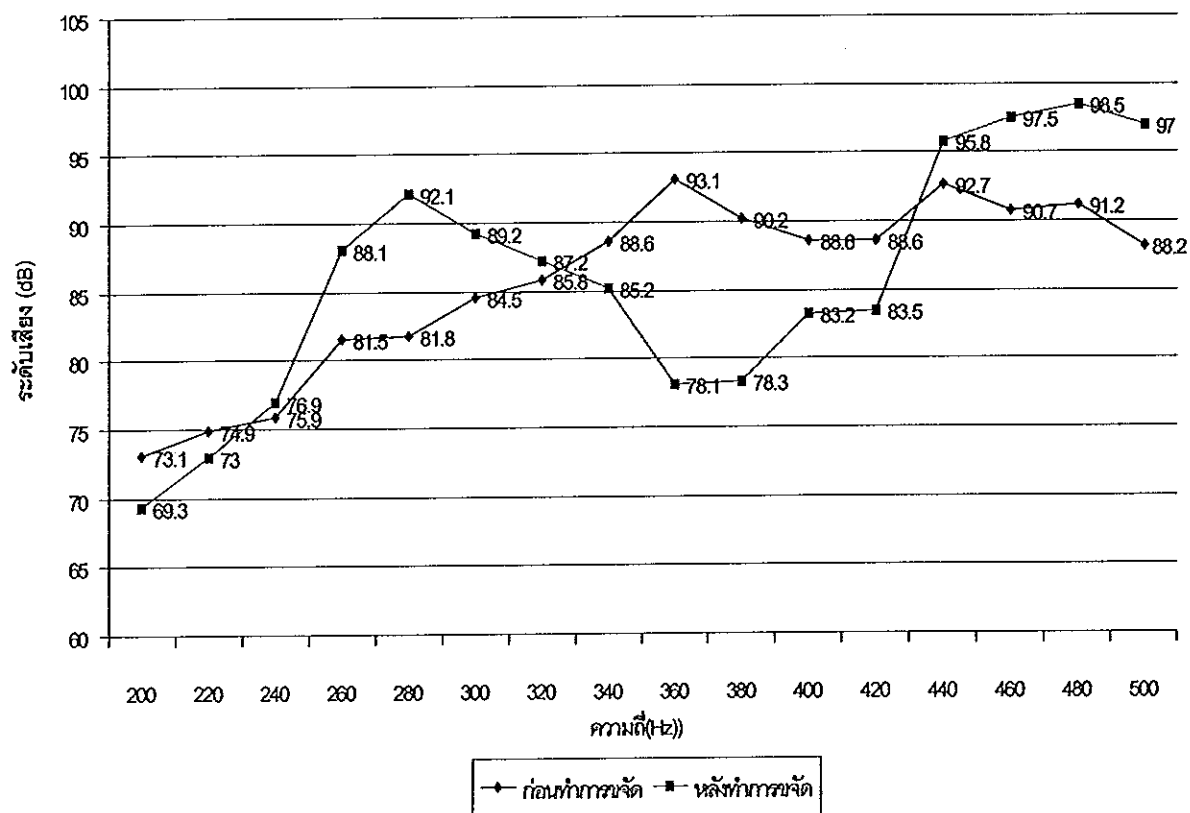
ภาพประกอบ 5.12 กราฟแสดงผลการขัดเสียงรบกวนที่จุดวางในโทรศัพท์มือถือ¹ ที่ความถี่ 200 Hz – 500 Hz เมื่อใช้ค่าสตูปไฮเทกัน 0.015

จากราฟในภาพประกอบ 5.12 เมื่อปรับช่วงความถี่ให้ละเอียดขึ้นจะเห็นช่วงความถี่ที่สามารถทำการขัดให้ลดลงมาได้อยู่ในช่วง 340 Hz – 440 Hz

ในตาราง 5.25 ทำการปรับช่วงความถี่ให้ละเอียดขึ้น โดยเลือกโดยใช้อันดับของตัวกรองเท่ากับ 150 และค่าสเตปไซท์เท่ากับ 0.008

ตาราง 5.25 ผลการทดลองเมื่อทำการกระจายช่วงความถี่ให้ละเอียดขึ้น โดยใช้อันดับของตัวกรองเท่ากับ 150 และค่าสเตปไซท์เท่ากับ 0.008

ความถี่ (Hz)	ก่อน (dB)	จุด 1 (dB)
200	73.1	69.3
220	74.9	73
240	75.9	76.9
260	81.5	88.1
280	81.8	92.1
300	84.5	89.2
320	85.8	87.2
340	88.6	85.2
360	93.1	78.1
380	90.2	78.3
400	88.6	83.2
420	88.6	83.5
440	92.7	95.8
460	90.7	97.5
480	91.2	98.5
500	88.2	97



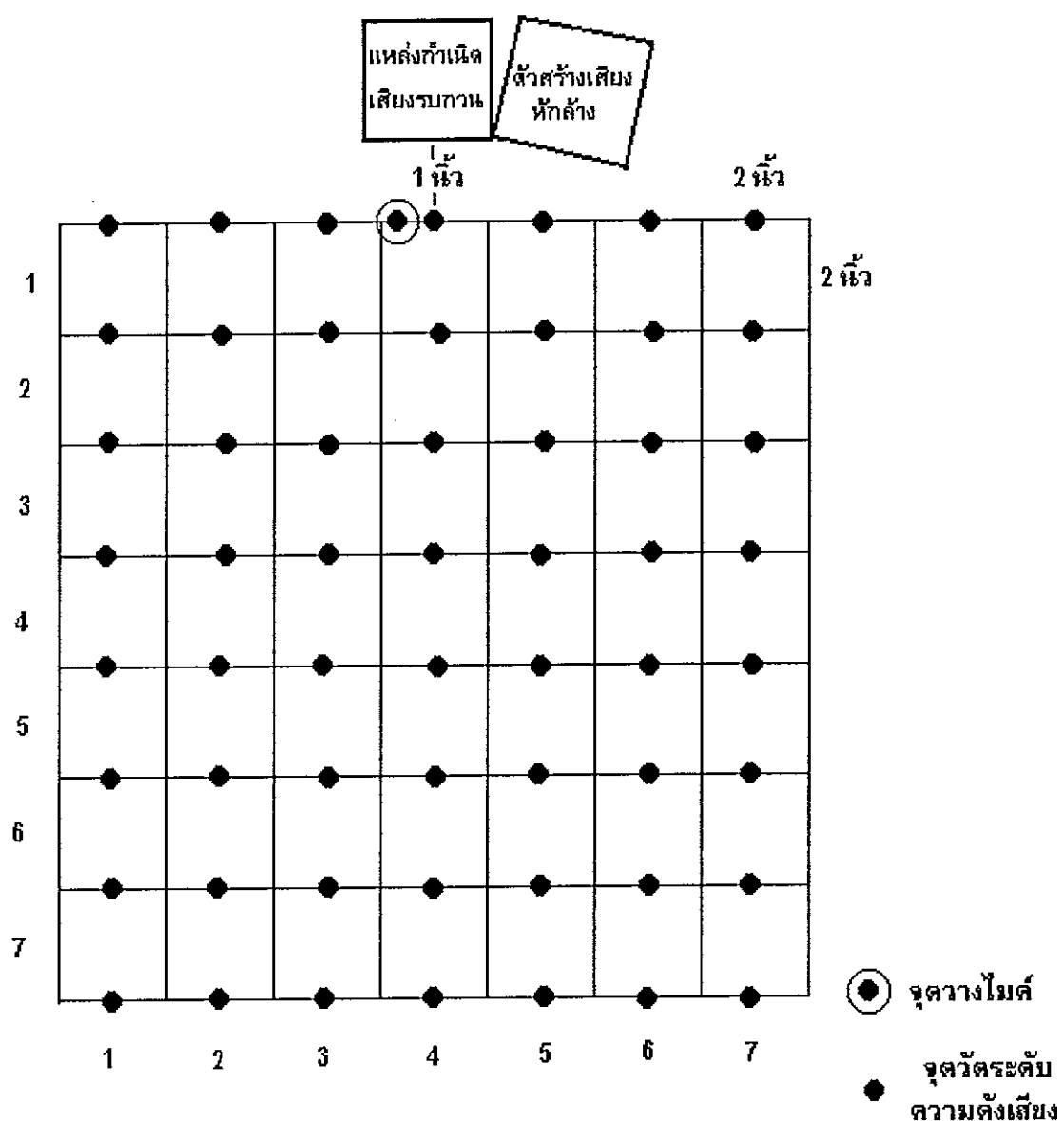
ภาพประกอบ 5.13 กราฟแสดงผลการขัดเสียงรบกวนที่จุดวางในโทรศัพท์มือถือที่ความถี่ 200 Hz – 500 Hz เมื่อใช้ค่าสตูปไซเท่ากับ 0.008

จากภาพประกอบ 5.13 ซึ่งเป็นกราฟแสดงผลการขัดเสียงรบกวนในช่วงความถี่ 200 Hz – 500 Hz ที่จุดวางในโทรศัพท์มือถือที่ 1 เมื่อใช้ค่าสตูปไซเท่ากับ 0.008 อันดับตัวกรองเท่ากับ 150 ช่วงความถี่ที่สามารถขัดได้คือ 340 Hz ถึง 420 Hz เช่นเดียวกับการใช้อันดับของตัวกรองเท่ากับ 100 และค่าสตูปไซเท่ากับ 0.015

5.2 การทดลองเพื่อสังเกตถึงว่าบริเวณใดที่ระดับเสียงรบกวนลดลง

กวนถูกทำให้ลดลง

การทดลองเพื่อสังเกตถึงว่าบริเวณใดที่ระดับเสียงรบกวนลดลง สำหรับการทดลองโดยกำหนดบริเวณด้านหน้าแหล่งกำเนิดเสียงรบกวนเป็นพื้นที่สี่เหลี่ยมขนาด 14×14 นิ้ว โดยพื้นที่สี่เหลี่ยมนี้ได้แบ่งออกเป็นตารางขนาด 7×7 ช่องซึ่งแต่ละช่องมีขนาด 2×2 นิ้ว แสดงดังภาพประกอบ 5.14 และความถี่ที่ใช้ในการทำการทดลองจะใช้ความถี่ตั้งแต่ 320 Hz จนถึงความถี่ 440 Hz ซึ่งเมื่อจากผลการทดลองในตาราง 14 แล้วน่าจะขัดให้มีระดับเสียงที่ลดลงท่านาได้



ภาพประกอบ 5.14 แสดงผังการวัดระดับเสียงรบกวนที่คำแนะนำต่างๆ

ค่าที่แสดงในตารางต่อไปนี้เป็นค่าที่แสดงระดับความดังของเสียงรบกวน มีหน่วยวัดเป็น dB

ตาราง 5.26 ระดับความดังของเสียงรบกวนในตำแหน่งต่างๆที่กำหนด ขณะยังไม่ทำการขัดที่ความถี่ 300 Hz

ตำแหน่ง	1	2	3	4	5	6	7
1	83.7	86.7	90.1	94	91.7	86.9	84.8
2	83.8	85.5	88.7	90.8	89.2	86.6	84.4
3	83.3	84.2	85.5	86.5	85.8	85	83.7
4	82.7	83.2	83.8	84.2	84.1	83.3	82.7
5	81.9	82.2	82.4	82.6	82.4	82.1	81.3
6	81.3	81.2	81	81.3	80.9	80.4	79.9
7	80.7	80.1	79.8	79.4	79.2	78.9	78.7

ตาราง 5.27 ระดับความดังของเสียงรบกวนในตำแหน่งต่างๆที่กำหนด ขณะทำการขัดที่ความถี่ 300 Hz

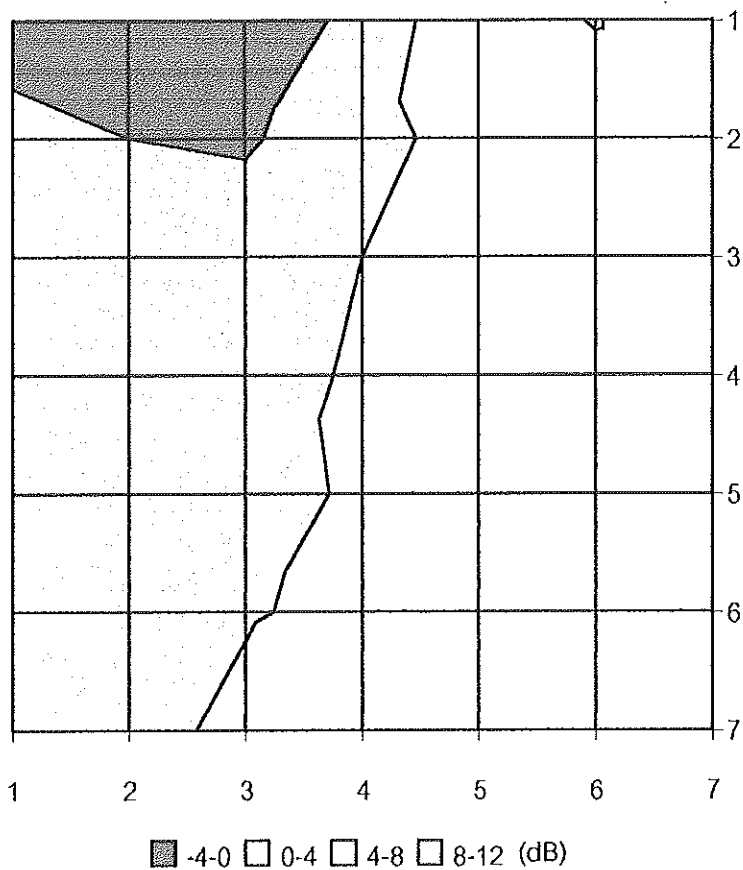
ตำแหน่ง	1	2	3	4	5	6	7
1	83.3	84.2	86.5	95.5	98.6	95	91.3
2	84.1	85.5	88.2	93.5	94.8	93.6	91.2
3	84.8	85.8	87.8	90.5	91.7	91.4	90.1
4	84.7	85.7	86.9	88.5	89.2	89.1	88.3
5	84.5	84.9	85.9	86.8	87.3	87.5	87.2
6	84.2	84.4	84.9	85.6	85.9	86	85.6
7	83.4	83.7	84.1	84.5	84.5	84.7	84.1

ตาราง 5.28 ผลต่างของระดับความดังของเสียงรบกวนขณะซั่ง “ไม่ทำการขัด
และทำการขัดแล้วที่ความถี่ 300 Hz

ตำแหน่ง	1	2	3	4	5	6	7
1	-0.4	-2.5	-3.6	1.5	6.9	8.1	6.5
2	0.3	0	-0.5	2.7	5.6	7	6.8
3	1.5	1.6	2.3	4	5.9	6.4	6.4
4	2	2.5	3.1	4.3	5.1	5.8	5.6
5	2.6	2.7	3.5	4.2	4.9	5.4	5.9
6	2.9	3.2	3.9	4.3	5	5.6	5.7
7	2.7	3.6	4.3	5.1	5.3	5.8	5.4

จากตาราง 5.28 ค่าตัวเลขในตารางดังกล่าวเป็นผลต่างของระดับความดังของเสียงรบกวนขณะซั่ง “ไม่ทำการขัดกับเสียงรบกวนที่ยังคงเหลืออยู่หลังจากการขัดแล้ว” ค่าตัวเลขในตารางนี้จะเป็นตัวบอกว่าระดับของเสียงรบกวนเมื่อทำการขัดแล้ว “ได้ลดลงจากเดิมเมื่อยัง “ไม่ทำการขัด” กี่ dB หรือได้มีการเพิ่มขึ้นจากเดิมกี่ dB ตัวเลขในตารางมีค่าเป็นลบแสดงว่าเสียงรบกวนได้ถูกทำให้มีทำการขัดแล้ว แต่ตัวเลขที่มีค่าเป็นบวกแสดงว่าไม่สามารถที่จะขัดเสียงรบกวนให้มีระดับที่ต่ำลงมา ส่วนตัวเลขที่มีค่าเป็นบวกแสดงว่าไม่สามารถที่จะขัดเสียงรบกวนให้มีระดับที่ลดลงต่ำลงได้ และมีเสียงรบกวนดังเพิ่มขึ้นจากเดิม

และจากตาราง 28 นำมาพล็อกตอนทั่วๆ เพื่อศูนย์รีเวณที่ระดับเสียงรบกวนลดลงเมื่อทำการขัดที่ความถี่ 300 Hz แสดงดังภาพประกอบ 5.15 จากภาพประกอบดังกล่าวจะเห็นว่า บริเวณที่เสียงรบกวนลดลงจะอยู่บริเวณมุมซ้ายทางด้านหน้า ซึ่งในภาพประกอบจะแทนด้วยพื้นสีน้ำเงิน อ่อนๆ เป็นบริเวณไม่กว้างมากนัก ส่วนบริเวณอื่นๆ ที่กำหนดไม่สามารถที่จะทำการขัดลงได้ ซึ่งในภาพประกอบดังกล่าวแทนด้วยพื้นสีที่เป็นสีเขียวอ่อน และสีเหลืองเป็นบริเวณที่มีเสียงรบกวนเพิ่มขึ้นมากกว่าบริเวณที่เป็นสีเขียวอ่อน



ภาพประกอบ 5.15 ภาพพื้นที่ต่อตอนทั่วไปแสดงระดับเสียงรบกวนในบริเวณที่กำหนด
ที่ความถี่ 300 Hz

ตาราง 5.29 ระดับความดังของเสียงรบกวนในตำแหน่งต่างๆที่กำหนด ขณะยังไม่ทำการ
ขัดที่ความถี่ 320 Hz

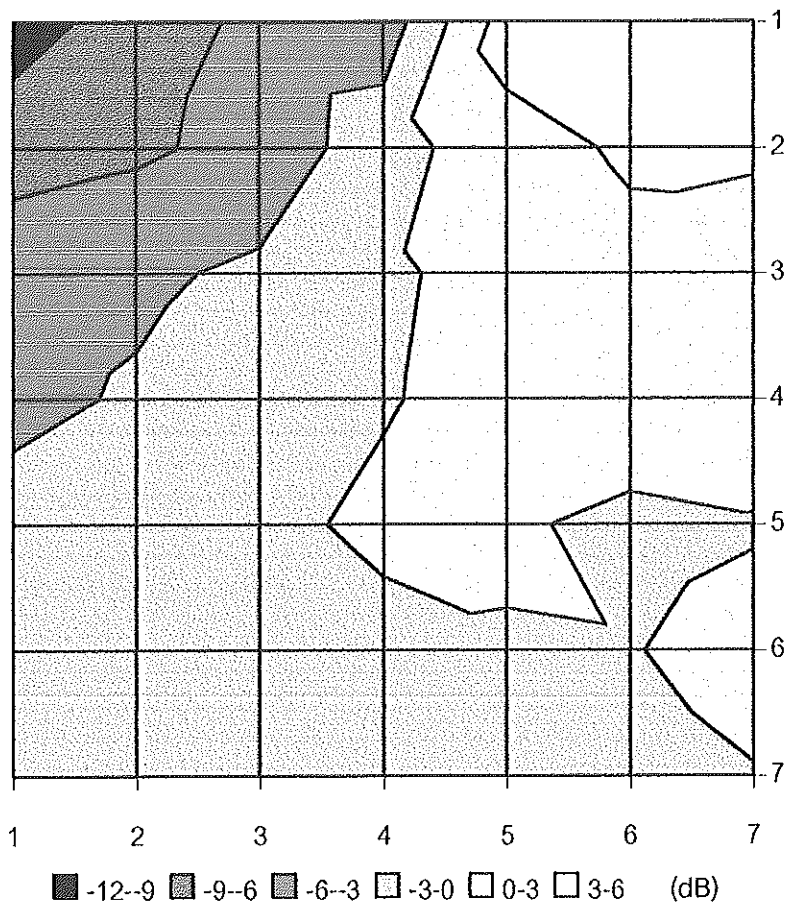
ตำแหน่ง	1	2	3	4	5	6	7
1	82.2	87.2	93.6	98.3	94.6	89.7	87.9
2	82.2	86.8	90.5	92.6	91.9	89.7	87.2
3	81.6	84.6	87.4	89	89.6	88.2	86.8
4	81.6	83.5	85.6	86.9	87.2	86.7	86
5	80.9	82.4	84.1	85.2	85.9	86.1	85.6
6	80.5	81.6	83	84.1	84.5	84.9	84.8
7	80.1	80.6	81.8	82.7	83.3	83.7	83.4

ตาราง 5.30 ระดับความดังของเสียงรบกวนในตำแหน่งต่างๆที่กำหนด ขณะทำการขัด
ที่ความถี่ 320 Hz

ตำแหน่ง	1	2	3	4	5	6	7
1	71.8	79.6	88.3	93.6	98.9	94.3	91
2	74.9	80.3	85.5	91.3	93.8	93.1	90.4
3	77.5	81.1	84.9	88.6	90.5	90.4	89.1
4	77.9	80.8	84.1	86.7	88.2	88.7	88
5	78.9	81	83.5	85.7	86.3	85.4	85.4
6	78.2	79.3	81.2	83.4	84.3	84.8	85.6
7	77.8	78.1	79.3	81	82.2	82.9	83.3

ตาราง 5.31 ผลต่างของระดับความดังของเสียงรบกวนขณะยังไม่ทำการขัด
และทำการขัดแล้วที่ความถี่ 320 Hz

ตำแหน่ง	1	2	3	4	5	6	7
1	-10.4	-7.6	-5.3	-4.7	4.3	4.6	3.1
2	-7.3	-6.5	-5	-1.3	1.9	3.4	3.2
3	-4.1	-3.5	-2.5	-0.4	0.9	2.2	2.3
4	-3.7	-2.7	-1.5	-0.2	1	2	2
5	-2	-1.4	-0.6	0.5	0.4	-0.7	-0.2
6	-2.3	-2.3	-1.8	-0.7	-0.2	-0.1	0.8
7	-2.3	-2.5	-2.5	-1.7	-1.1	-0.8	-0.1



ภาพประกอบ 5.16 ภาพพื้นที่อุตකษณทั่วไปแสดงระดับเสียงรบกวนในบริเวณที่กำหนด
ที่ความถี่ 320 Hz

จากภาพประกอบ 5.16 ซึ่งเป็นภาพพื้นที่อุตකษณทั่วไปแสดงระดับเสียงรบกวนในบริเวณที่กำหนดที่ความถี่ 320 Hz จะเห็นว่ามีบริเวณพื้นที่ที่กำหนดที่มีระดับเสียงรบกวนลดลงเพิ่มมากกว่าที่ความถี่ 300 Hz บริเวณที่มีการขัดสูงที่สุดที่ความถี่นี้อยู่บริเวณแนวซ้ายทางด้านหน้าของบริเวณที่กำหนด (บริเวณที่เป็นสีน้ำเงินเข้ม) และค่อยๆ แผ่ออกในลักษณะที่การขัดลดลง (บริเวณที่สีน้ำเงินอ่อนลงมาเรื่อยๆ) ส่วนบริเวณทางด้านหน้าซ้ายมีเสียงรบกวนจะเพิ่มขึ้นจากเดิมก่อนทำการขัด แต่ไม่นานก็

ตาราง 5.32 ระดับความดังของเสียงรบกวนในตำแหน่งต่างๆที่กำหนด ขณะยังไม่ทำการขัดที่ความถี่ 340 Hz

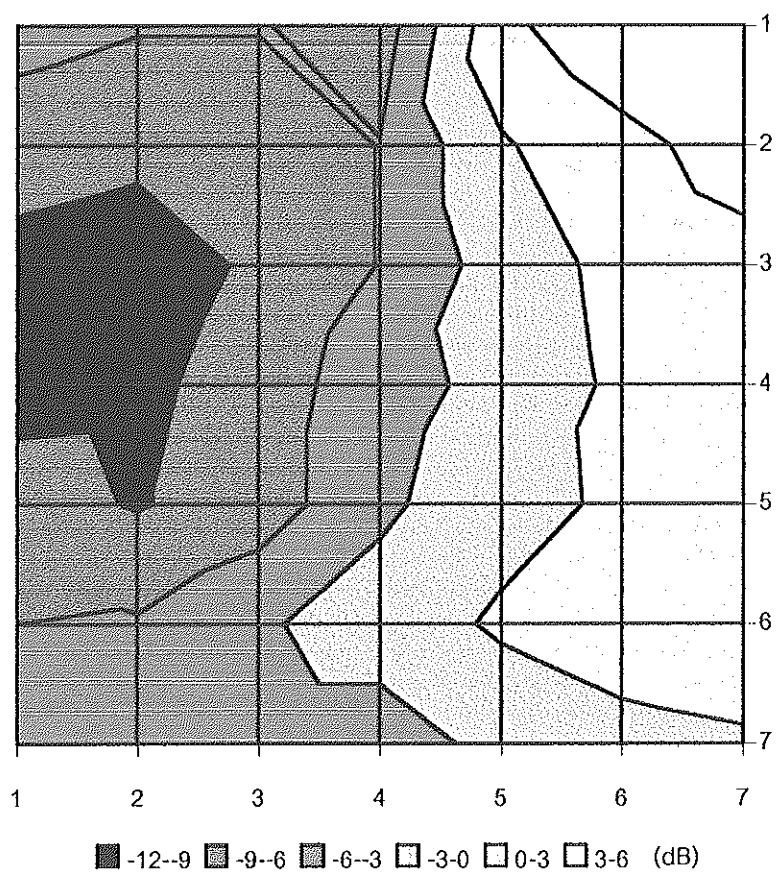
ตำแหน่ง	1	2	3	4	5	6	7
1	86.6	91.9	98.2	101.2	96.6	90.2	86.7
2	87.3	91.4	94.7	95.7	93.8	91.2	86
3	84.9	88.8	90.6	92	90.7	88.7	86.4
4	82.5	86	88	88.3	87.8	86	84.7
5	80.7	82	84.3	84.8	84.3	83.6	82.1
6	79.3	80.1	80.7	80.8	80.5	79.8	79.6
7	79.4	79.1	79.1	80	79.3	79	78.9

ตาราง 5.33 ระดับความดังของเสียงรบกวนในตำแหน่งต่างๆที่กำหนด ขณะทำการขัดที่ความถี่ 340 Hz

ตำแหน่ง	1	2	3	4	5	6	7
1	81.6	86.1	92.4	93.7	98.9	95.6	91.2
2	79.9	83.3	86.5	89.8	93.5	93.3	90.4
3	74.8	77.9	82.2	86.1	89.1	89.6	88.4
4	72.6	76.3	80.4	84.1	85.7	86.6	86.4
5	72.8	72.8	76.7	81.2	83.3	84.1	84.1
6	73.3	74.4	77.3	79.3	80.9	81.3	81.7
7	74.2	73.1	74.6	75.5	77.2	78.1	78.5

ตาราง 5.34 ผลต่างของระดับความดังของเสียงรบกวนขณะยังไม่ทำการขัด และทำการขัดที่ความถี่ 340 Hz

ตำแหน่ง	1	2	3	4	5	6	7
1	-5	-5.8	-5.8	-7.5	2.3	5.4	4.5
2	-7.4	-8.1	-8.2	-5.9	-0.3	2.1	4.4
3	-10.1	-10.9	-8.4	-5.9	-1.6	0.9	2
4	-9.9	-9.7	-7.6	-4.2	-2.1	0.6	1.7
5	-7.9	-9.2	-7.6	-3.6	-1	0.5	2
6	-6	-5.7	-3.4	-1.5	0.4	1.5	2.1
7	-5.2	-6	-4.5	-4.5	-2.1	-0.9	-0.4



ภาพประกอบ 5.17 ภาพพื้นที่ต่อตอนทั่วไปแสดงระดับเสียงรบกวนในบริเวณที่กำหนด
ที่ความถี่ 340 Hz

ในภาพประกอบ 5.17 บริเวณที่ระดับเสียงรบกวนลดลงมีเพิ่มขึ้นมากกว่าที่ความถี่ 320 Hz บริเวณพื้นที่มีระดับเสียงรบกวนลดลงส่วนใหญ่จะอยู่ทางซ้ายมือ ระดับเสียงรบกวนลดลงสูงสุดประมาณ 10 dB

ตาราง 5.35 ระดับความดังของเสียงรบกวนในตำแหน่งต่างๆที่กำหนด ขณะยังไม่ทำการขัดที่ความถี่ 360 Hz

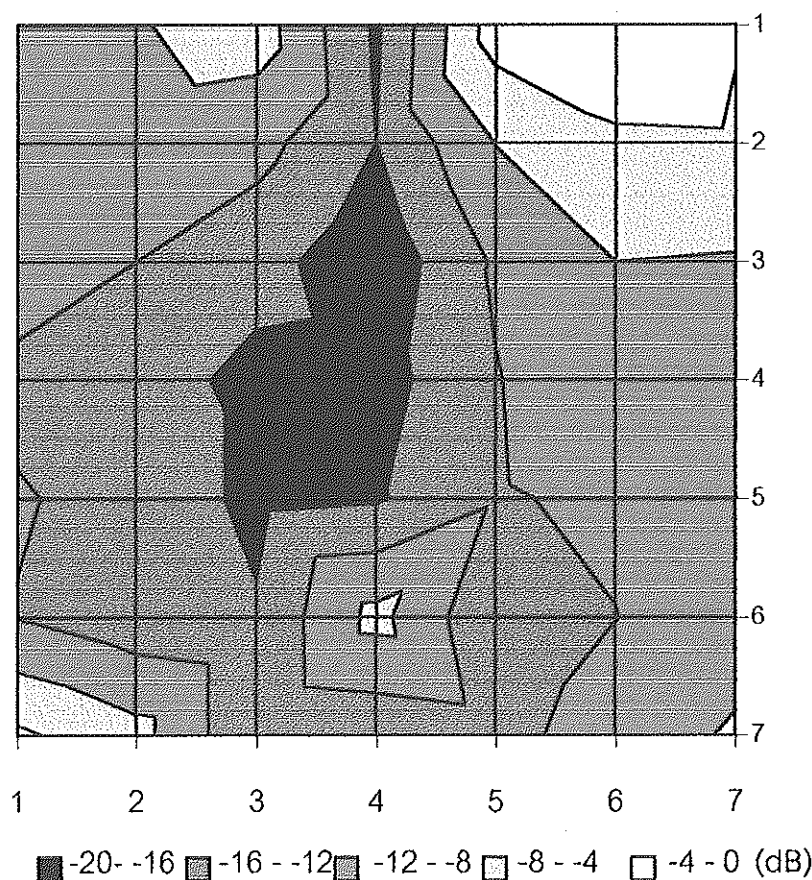
ตำแหน่ง	1	2	3	4	5	6	7
1	90.2	93.8	97.2	99.9	96.4	91.4	88.5
2	89.8	93	95.5	96	94.6	92	88.9
3	88.5	90.9	92.7	93.3	92.4	91.1	89.9
4	87.1	89.1	90.2	90.7	90.1	88.7	87.1
5	85.8	87	88	88.4	87.9	87.4	85.8
6	84	85.5	86.3	86.7	86.4	85.4	83.9
7	81.7	82.9	84	84.4	84.1	83.2	81.7

ตาราง 5.36 ระดับความดังของเสียงรบกวนในตำแหน่งต่างๆที่กำหนด ขณะทำการขัดที่ความถี่ 360 Hz

ตำแหน่ง	1	2	3	4	5	6	7
1	81.5	85.5	91.2	83.3	94.5	91.1	84.8
2	80.4	83.1	84.8	80	86.7	87.3	84.4
3	77.7	78.9	78.2	74.6	80.9	83.1	81.6
4	74.5	74.9	73.1	73.1	77.9	79.8	78.6
5	74	74.2	70.9	72	75.5	76.2	76.5
6	71.9	71	70.8	79.9	70.9	73.3	74.7
7	78.4	76.3	68.4	69.5	70.3	73.8	74

ตาราง 5.37 ผลต่างของระดับความดังของเสียงรบกวนขณะยังไม่ทำการขัดและทำการขัดแต่ละที่ความถี่ 360 Hz

ตำแหน่ง	1	2	3	4	5	6	7
1	-8.7	-8.3	-6	-16.6	-1.9	-0.3	-3.7
2	-9.4	-9.9	-10.7	-16	-7.9	-4.7	-4.5
3	-10.8	-12	-14.5	-18.7	-11.5	-8	-8.3
4	-12.6	-14.2	-17.1	-17.6	-12.2	-8.9	-8.5
5	-11.8	-12.8	-17.1	-16.4	-12.4	-11.2	-9.3
6	-12.1	-14.5	-15.5	-6.8	-15.5	-12.1	-9.2
7	-3.3	-6.6	-15.6	-14.9	-13.8	-9.4	-7.7



ภาพประกอบ 5.18 ภาพพล็อตตอนทั่ว์แสดงระดับเสียงรบกวนในบริเวณที่กำหนด
ที่ความถี่ 360 Hz

ภาพประกอบ 5.18 ได้นำค่าใน ตาราง 5.37 มาพิอตตอนทั่ว จะสังเกตเห็นว่าค่าในตารางดังกล่าวมีค่าเป็นลบหักหมุนแสดงว่าหัวทั้งหมดที่กำหนดหักหมุนมีระดับเสียงรบกวนลดลง เมื่อนำมาพล็อตกราฟแสดงดังภาพประกอบ 5.18 จะเห็นว่าเป็นสีน้ำเงินและสีฟ้า การขัดสูงสุดอยู่ที่ตรงกลางของบริเวณพื้นที่ที่กำหนด ในภาพเป็นสีน้ำเงินเข้ม

ตาราง 5.38 ระดับความดังของเสียงรบกวนในตำแหน่งต่างๆที่กำหนด ขณะยังไม่ทำการขัดที่ความถี่ 380 Hz

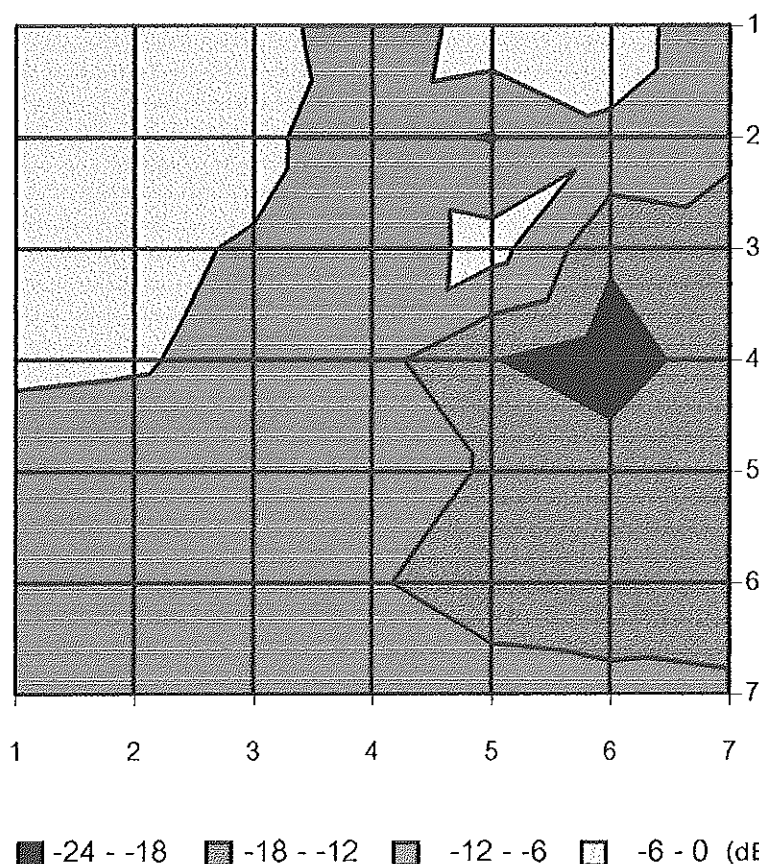
ตำแหน่ง	1	2	3	4	5	6	7
1	87.6	91.1	95.2	96.2	93.1	88.5	86.2
2	87.6	91.2	93.4	94	91.8	88.4	86.6
3	88.1	89.8	91.7	92	90.9	88.2	86.4
4	87.3	88.7	89.3	89.8	89.4	88.1	85.9
5	85.8	86.9	87.8	88.3	88	86.8	85.5
6	84.5	85.8	86.6	86.9	86.6	85.5	84.2
7	83	83.4	83.9	84.2	83.9	83.2	81.5

ตาราง 5.39 ระดับความดังของเสียงรบกวนในตำแหน่งต่างๆที่กำหนด ขณะทำการขัดที่ความถี่ 380 Hz

ตำแหน่ง	1	2	3	4	5	6	7
1	85.1	89.3	93.2	84.3	91.3	85.4	75.8
2	84.8	87.6	89.1	83.8	79.5	81.4	76
3	83.4	84.9	85.2	81.7	87.2	71.5	71.5
4	82	83.1	81.9	79.9	71.7	66.6	71.9
5	77.9	78.5	79	78.3	75.6	72	69.7
6	74.7	75.7	76	75.3	72.6	70.5	69.5
7	72.2	71.8	72.6	73.1	73.6	72.5	70.3

ตาราง 5.40 ผลต่างของระดับความดังของเสียงรบกวนขณะยังไม่ทำการขัดและทำการขัดที่ความถี่ 380 Hz

ตำแหน่ง	1	2	3	4	5	6	7
1	-2.5	-1.8	-2	-11.9	-1.8	-3.1	-10.4
2	-2.8	-3.6	-4.3	-10.2	-12.3	-7	-10.6
3	-4.7	-4.9	-6.5	-10.3	-3.7	-16.7	-14.9
4	-5.3	-5.6	-7.4	-9.9	-17.7	-21.5	-14
5	-7.9	-8.4	-8.8	-10	-12.4	-14.8	-15.8
6	-9.8	-10.1	-10.6	-11.6	-14	-15	-14.7
7	-10.8	-11.6	-11.3	-11.1	-10.3	-10.7	-11.2



ภาพประกอบ 5.19 ภาพหล่อตคอนทัวร์แสดงระดับเสียงรบกวนในบริเวณที่กำหนด
ที่ความถี่ 380 Hz

จากตาราง 5.40 จะเห็นว่าค่าตัวเลขในตารางเป็นลบทุกค่า เช่นเดียวกับตาราง 5.37 และเมื่อนำมาพิจารณาหัวร์แสดงถึงภาพประกอบ 5.19 จะเห็นว่าพื้นที่ที่กำหนดส่วนใหญ่จะเป็นสีน้ำเงิน และบริเวณที่ระดับเสียงรบกวนลดลงมากที่สุดพื้นกราฟเป็นสีน้ำเงินเข้มจะอยู่ตรงกลางค่อนออกไปทางขวาเมื่อ

ตาราง 5.41 ระดับความดังของเสียงรบกวนในตำแหน่งต่างๆที่กำหนด ขณะขับไม่ทำการขัดที่ความถี่ 400 Hz

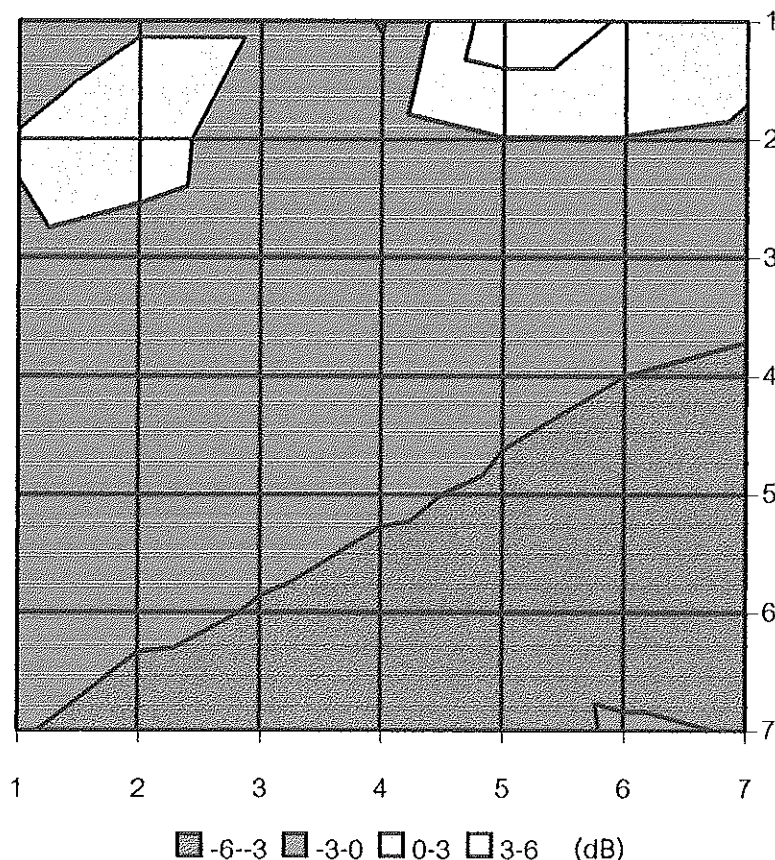
ตำแหน่ง	1	2	3	4	5	6	7
1	82.1	84.7	89.5	90.8	87.7	84.8	82.6
2	82.4	84.7	88.1	88.5	86.7	84.5	82.9
3	82.5	84.6	85.8	86.4	85.7	84.4	82.7
4	82.8	83.7	84.7	84.5	84.1	83.3	82
5	81.9	83.4	84.4	84.2	83.9	83.5	81.9
6	81.8	82.6	83.5	83.8	83.5	82.5	81.5
7	81.2	82.5	82.9	83	82.4	79.8	78.4

ตาราง 5.42 ระดับความดังของเสียงรบกวนในตำแหน่งต่างๆที่กำหนด ขณะทำการขัดที่ความถี่ 400 Hz

ตำแหน่ง	1	2	3	4	5	6	7
1	81	84.6	89.4	87.6	92.8	87.5	83.8
2	82.5	85.3	87.3	87.1	86.6	84.4	82.4
3	82.3	84.1	84.9	84.4	83.5	82.3	80.7
4	82.3	82.9	83.2	83.1	81.6	80.3	78.6
5	81.1	81.4	82	81.5	80.6	79.3	78
6	79.7	80.1	80.4	80	79.5	77.9	77
7	78.4	78.5	78.7	78.7	78.2	77.1	75.3

ตาราง 5.43 ผลต่างของระดับความดังของเสียงรบกวนขณะยังไม่ทำการขัด และทำการขัดที่ความถี่ 400 Hz

ตำแหน่ง	1	2	3	4	5	6	7
1	-1.1	-0.1	-0.1	-3.2	5.1	2.7	1.2
2	0.1	0.6	-0.8	-1.4	-0.1	-0.1	-0.5
3	-0.2	-0.5	-0.9	-2	-2.2	-2.1	-2
4	-0.5	-0.8	-1.5	-1.4	-2.5	-3	-3.4
5	-0.8	-2	-2.4	-2.7	-3.3	-4.2	-3.9
6	-2.1	-2.5	-3.1	-3.8	-4	-4.6	-4.5
7	-2.8	-4	-4.2	-4.3	-4.2	-2.7	-3.1



ภาพประกอบ 5.20 ภาพลือตตอนทั่วไปแสดงระดับเสียงรบกวนในบริเวณที่กำหนด
ที่ความถี่ 400 Hz

จากภาพประกอบ 5.20 จะเห็นว่าบริเวณพื้นที่ที่กำหนดมีบริเวณพื้นที่ที่เป็นสีน้ำเงินค่อนข้างอ่อน ซึ่งแสดงถึงว่ามีการขัดน้อย การขัดสูงสุดเมื่อออกจากตารางประมาณ 4 dB สำหรับบริเวณที่มีระดับเสียงรบกวนเพิ่มขึ้นสังเกตเห็นว่ามันเพิ่มขึ้นจากเดิมไม่นัก

ตาราง 5.44 ระดับความดังของเสียงรบกวนในตำแหน่งต่างๆที่กำหนด ขณะยังไม่ทำการขัดที่ความถี่ 420 Hz

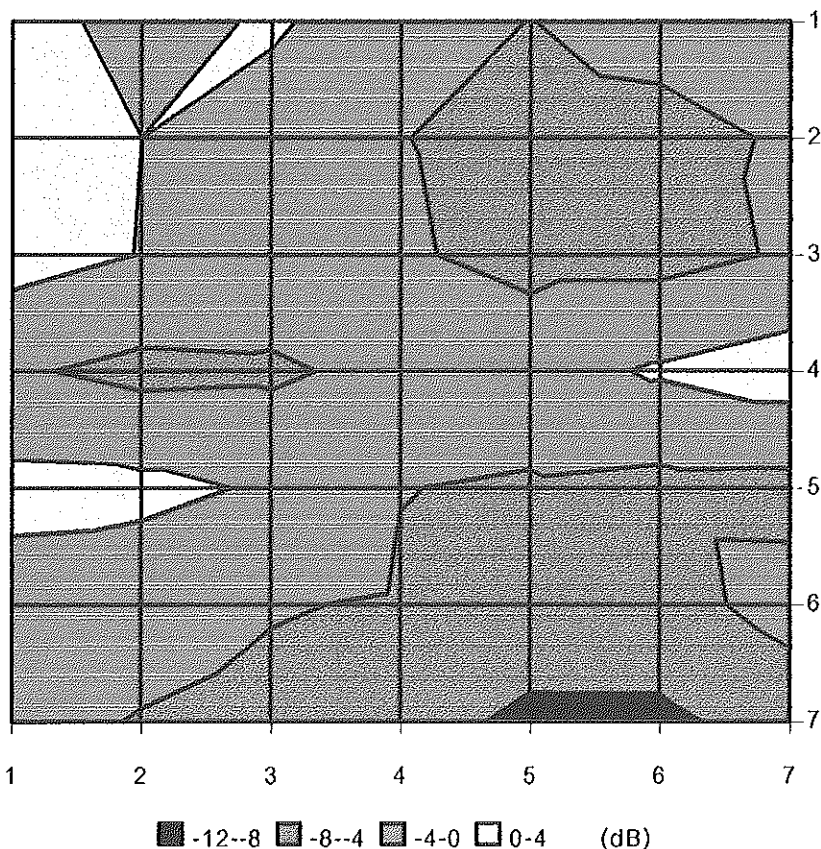
ตำแหน่ง	1	2	3	4	5	6	7
1	90.8	94.4	97.8	99.4	96.4	91.2	88.9
2	88.8	92.6	95	95.1	93.9	90.8	87.9
3	86.4	89.5	90.5	91.3	90	87.7	85.6
4	83.8	85.6	87	87.5	87.8	85.9	83.7
5	82.3	82.9	83.5	84.5	84.2	82.8	80.9
6	82.8	82.9	83	83.6	83.5	82.7	81.1
7	83.7	83.4	83.2	82.9	82.6	82	80.3

ตาราง 5.45 ระดับความดังของเสียงรบกวนในตำแหน่งต่างๆที่กำหนด ขณะทำการขัดที่ความถี่ 420 Hz

ตำแหน่ง	1	2	3	4	5	6	7
1	92.2	93.2	98.2	97.6	92.3	89.4	87.5
2	90.1	92.6	93.7	91.3	87.4	84.9	84.6
3	87.9	89.4	89.7	87.8	84.7	82.4	82
4	80.3	80.6	82.3	84.8	86.4	86.3	85.6
5	83.4	83.8	83.1	80.6	79.7	77.7	75.7
6	81.2	80.6	79.3	79.2	77.9	77.2	78.5
7	80.9	79.2	78	76.5	73.8	73.2	73.9

ตาราง 5.46 ผลต่างของระดับความดังของเสียงรบกวนขณะยังไม่ทำการขัด และทำการขัดที่ความถี่ 420 Hz

ตำแหน่ง	1	2	3	4	5	6	7
1	1.4	-1.2	0.4	-1.8	-4.1	-1.8	-1.4
2	1.3	0	-1.3	-3.8	-6.5	-5.9	-3.3
3	1.5	-0.1	-0.8	-3.5	-5.3	-5.3	-3.6
4	-3.5	-5	-4.7	-2.7	-1.4	0.4	1.9
5	1.1	0.9	-0.4	-3.9	-4.5	-5.1	-5.2
6	-1.6	-2.3	-3.7	-4.4	-5.6	-5.5	-2.6
7	-2.8	-4.2	-5.2	-6.4	-8.8	-8.8	-6.4



ภาพประกอบ 5.21 ภาพพื้นที่อคตอนหัวร์แสดงระดับเสียงรบกวนในบริเวณที่กำหนด
ที่ความถี่ 420 Hz

จากภาพประกอบ 5.21 จะเห็นว่าบริเวณพื้นที่ที่กำหนดส่วนใหญ่จะเป็นสีน้ำเงิน และมีบางบริเวณที่เป็นสีน้ำเงินเข้มแสดงว่าบริเวณที่กำหนดมีเสียงรบกวนลดลงเมื่อทำการขัด และเมื่อเทียบกับระดับเสียงรบกวนที่ลดลงที่ความถี่ 400 Hz ที่ผ่านมาจะเห็นว่าที่ความถี่นี้มีระดับเสียงรบกวนลดลงมากกว่า

ตาราง 5.47 ระดับความดังของเสียงรบกวนในตำแหน่งต่างๆที่กำหนด ขณะที่ไม่ทำการขัดที่ความถี่ 440 Hz

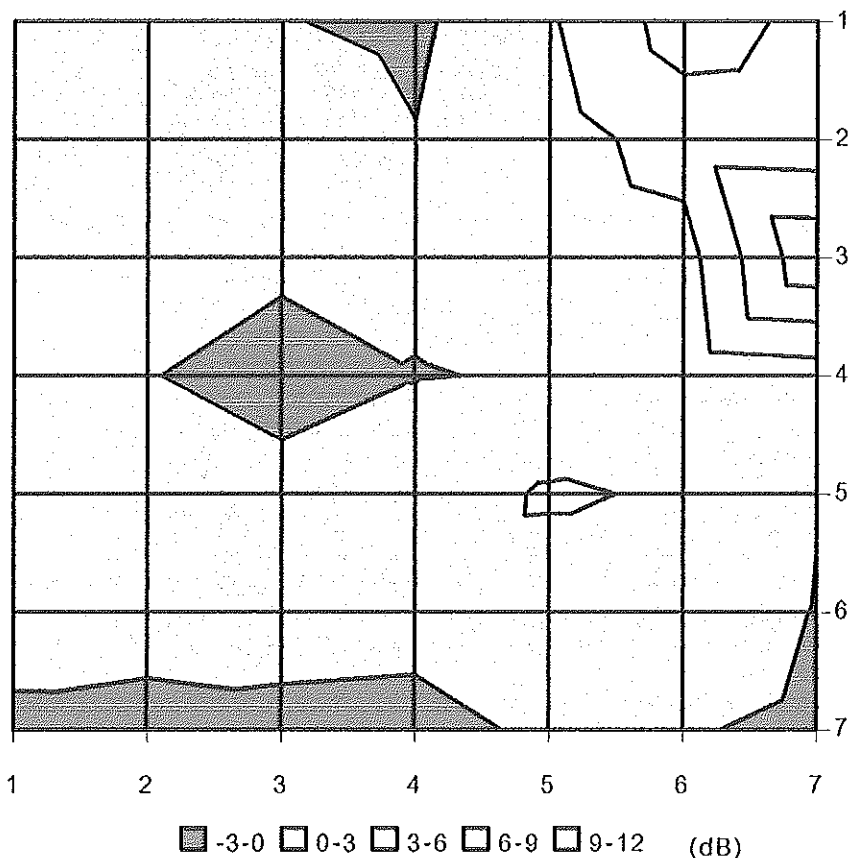
ตำแหน่ง	1	2	3	4	5	6	7
1	93.8	96.2	100.8	102.9	98.2	90.2	88.5
2	93.4	95.5	97.3	97.8	95.2	90.5	88.1
3	91.5	93.9	95.2	95	93.1	90.5	88.1
4	91.8	93.5	94	93.8	92.6	90.7	88.6
5	90.8	92.2	93	92.8	92.3	91.6	90.2
6	90.9	91.9	92.3	92.1	91.7	90.9	89.6
7	89.2	90.1	90.8	90.9	90.9	90.3	89.7

ตาราง 5.48 ระดับความดังของเสียงรบกวนในตำแหน่งต่างๆที่กำหนด ขณะทำการขัดที่ความถี่ 440 Hz

ตำแหน่ง	1	2	3	4	5	6	7
1	95.5	98.4	100.9	102.4	100.9	97.6	93.7
2	95.2	97	98.6	97.9	96.9	94.8	92.1
3	93.7	95.2	96.1	95.5	94.1	92.3	99.6
4	93.2	93.7	92.2	93.7	92.8	91.6	90.1
5	93.3	93.7	94.5	94.3	95.6	94.3	90.3
6	93.1	94.2	94.2	93.8	93.2	92.4	89.5
7	88.1	88.3	89.6	89.4	91.7	90.5	89.2

ตาราง 5.49 ผลค่าของระดับความดังของเสียงรบกวนขณะยังไม่ทำการขัด และทำการขัดที่ความถี่ 440 Hz

ตำแหน่ง	1	2	3	4	5	6	7
1	1.7	2.2	0.1	-0.5	2.7	7.4	5.2
2	1.8	1.5	1.3	0.1	1.7	4.3	4
3	2.2	1.3	0.9	0.5	1	1.8	11.5
4	1.4	0.2	-1.8	-0.1	0.2	0.9	1.5
5	2.5	1.5	1.5	1.5	3.3	2.7	0.1
6	2.2	2.3	1.9	1.7	1.5	1.5	-0.1
7	-1.1	-1.8	-1.2	-1.5	0.8	0.2	-0.5



ภาพประกอบ 5.22 ภาพพื้นที่ตคอนหัวร์แสดงระดับเสียงรบกวนในบริเวณที่กำหนด
ที่ความถี่ 440 Hz

จากการประกอ 5.22 เป็นภาพพื้นที่ต่อตอนทั่วไปแสดงระดับเสียงรบกวนในบริเวณที่กำหนดที่ความถี่ 440 Hz ซึ่งเป็นความถี่สูดท้ายที่นำมาพิจารณาในการพื้นที่ต่อตอนทั่วไป จากการจะเห็นว่า บริเวณพื้นที่ที่กำหนดส่วนใหญ่เป็นสีน้ำเงินน้อยมากและเป็นสีน้ำเงินที่ค่อนข้างอ่อน ส่วนใหญ่จะเป็นสีเขียวอ่อนและเหลือง ซึ่งแสดงถึงว่าพื้นที่ส่วนใหญ่ไม่สามารถทำการจัดให้ระดับเสียงรบกวนลดลงมาได้

บทที่ 6

บทวิจารณ์สรุป

จากการทดลองในบทที่ 5 ในช่วงแรกเป็นการทดลองเพื่อหาตำแหน่งการวางไมโครโฟนซึ่งทำหน้าที่เป็นตัวตรวจจับเสียงรบกวนที่เหมาะสม เมื่อทำการวางลำโพงที่ใช้เป็นตัวส่งเสียงหักด้านออกไปขัดเสียงรบกวนทางด้านขวาเมื่อหันมุมประมาณ 30 องศา กับแหล่งกำเนิดเสียงรบกวน แสดงดังภาพประกอบ 5.1 จากการทดลองพบว่าตำแหน่งในการวางไมโครโฟนที่เหมาะสมที่สามารถทำให้เสียงรบกวนลดลงมากที่สุดคือ ตำแหน่งทางด้านหน้าแหล่งกำเนิดเสียงรบกวน ห่างจากแหล่งกำเนิดเสียงรบกวน 1 นิ้ว และยังพบอีกว่าในการขัดเสียงรบกวนนั้นต้องวางลำโพงซึ่งสร้างเสียงหักด้าน และไมโครโฟนซึ่งเป็นตัวตรวจจับเสียงรบกวนในตำแหน่งที่เหมาะสมจึงจะทำให้การขัดเกิดประสิทธิภาพมากที่สุด

ในช่วงที่สองเป็นการทดลองเพื่อศูนย์ริเวณที่มีเสียงรบกวนลดลงเมื่อทำการขัดในบริเวณที่กำหนดซึ่งเป็นพื้นที่วางด้านหน้าแหล่งกำเนิดเสียงรบกวนขนาด 14×14 นิ้ว โดยช่วงความถี่เสียงรบกวนที่กำหนดในการทดลองเริ่มตั้งแต่ 320 Hz – 440 Hz และทำการปรับค่าความถี่เสียงในการทดลองเพิ่มนิ่นๆ ระหว่าง 20 Hz หากการทดลองนี้พบว่าเครื่องขัดเสียงรบกวนแบบปรับตัวได้สามารถทำการขัดเสียงรบกวนที่เกิดขึ้นให้มีระดับลดลงได้ในช่วงความถี่ตั้งแต่ 320 Hz จนถึง 420 Hz และยังพบว่าเมื่อความถี่ของเสียงรบกวนที่เกิดขึ้นเปลี่ยนไปบริเวณที่มีเสียงรบกวนลดลงก็จะเปลี่ยนตามไปด้วย

เครื่องขัดเสียงรบกวนแบบปรับตัวได้ที่ได้สร้างขึ้นมาโดยใช้รูปแบบของการทำนายแบบเชิงเส้นนี้ ไม่สามารถทำการขัดเสียงรบกวนที่เป็นลูกคลื่นซ้ำๆ ได้ตลอดช่วงความถี่ที่ต้องการคือ 100 Hz – 500 Hz นอกจากนี้แล้วเสียงรบกวนที่เกิดจากอุปกรณ์เครื่องใช้ เครื่องขักรกลต่างๆ และเสียงอื่นๆ ที่เกิดขึ้นตามธรรมชาติต่างๆ เป็นเสียงที่เราไม่ต้องการ เครื่องขัดเสียงรบกวนที่ได้สร้างขึ้นนี้ก็ไม่สามารถทำการขัดให้เสียงรบกวนดังกล่าวลดลงได้

แต่อย่างไรก็ตามในการทำวิจัยในครั้งนี้ อาจเป็นประโยชน์ไม่มากก็น้อยต่อผู้สนใจเพื่อเป็นแนวทางในการพัฒนาเครื่องขัดเสียงรบกวนแบบปรับตัวได้ต่อไปให้มีความสามารถที่จะขัดเสียงรบกวนที่เกิดขึ้นจากเครื่องจักรกล อุปกรณ์เครื่องใช้ไฟฟ้าต่างๆ รวมทั้งเสียงที่เกิดจากธรรมชาติซึ่งเป็นเสียงที่เราไม่ต้องการได้ โดยอาศัยหลักการของการประมวลผลสัญญาณดิจิตอล ซึ่งเป็นวิธีการที่ประยุกต์ เนื่องจากการทำงานของระบบหรือเครื่องตัวนั้นให้ผู้จะเป็น

การกระทำของส่วนที่เป็นโปรแกรมทั้งหมดโดยไม่จำเป็นต้องใช้อุปกรณ์และวงจร
อิเล็กทรอนิกส์ซึ่งต้องใช้การออกแบบและการประกอบวงจรที่ยุ่งยาก

บรรณานุกรม

กิตติพัฒน์ ตันคระรุ่ง ใจน้ำ. 2540 สัญญาณและระบบเวลาเต็มหน่วย. กรุงเทพฯ :
วิทยพัฒนา.

Graupe, Daniel, and Efron, Adam J. 1991. "An Output-Whitening Approach to Adaptive Noise Cancellation" IEEE Transaction on Circuit and System. 38(11 November 1991), 1306-1313

Candy, Jame V. 1988 Signal Processing the Modern Approach. Singapore : McGraw-Hill.

Heyes, Monson H. 1976. Statistical Digital Signal Processing and Modeling. United State of America : John Wiley and Sons.

Mitra, Sanjit K. 1998 Digital Signal Processing a Computer-Based Approach. Singapore : McGraw-Hill.

Ogata, Katsuhiko. 1995. Modern Control Engineering. 2nd ed. Singapore : Prentice Hall.

Texas Instruments. 1996. Design of Active Noise Control Systems with The TMS320 Family. United State of America : Texas Instruments Incorporated.

Texas Instruments. 1993. TMS320C5x DSP Starter Kit : Texas Instruments Incorporated.

Texas Instruments. 1993. TMS320C5x User 's Guild. : Texas Instruments Incorporated.

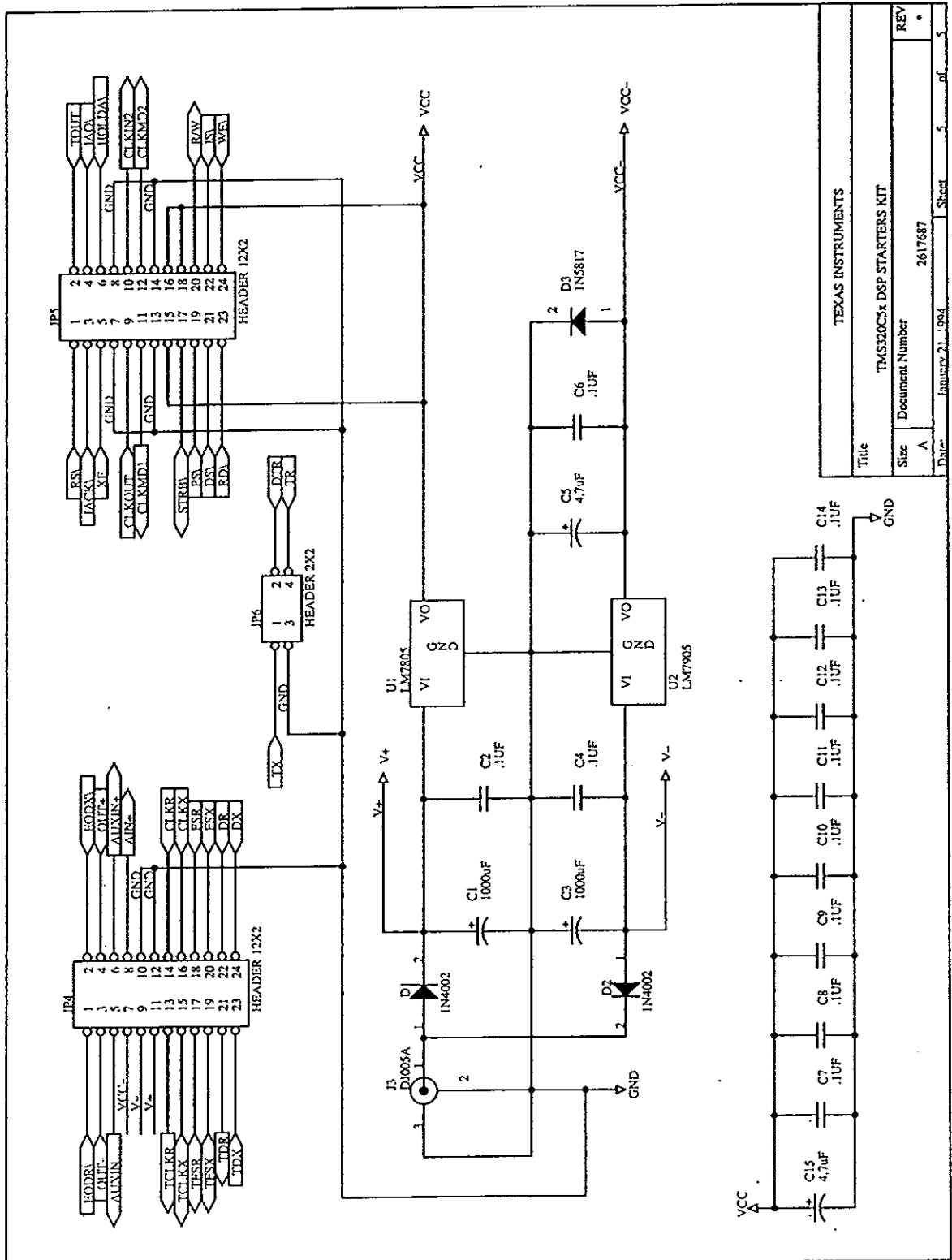
Ingle Vinay K. and Proakis John G. 1997. Digital Signal Processing Using MATLAB V.4. : PWS Publishing Company.

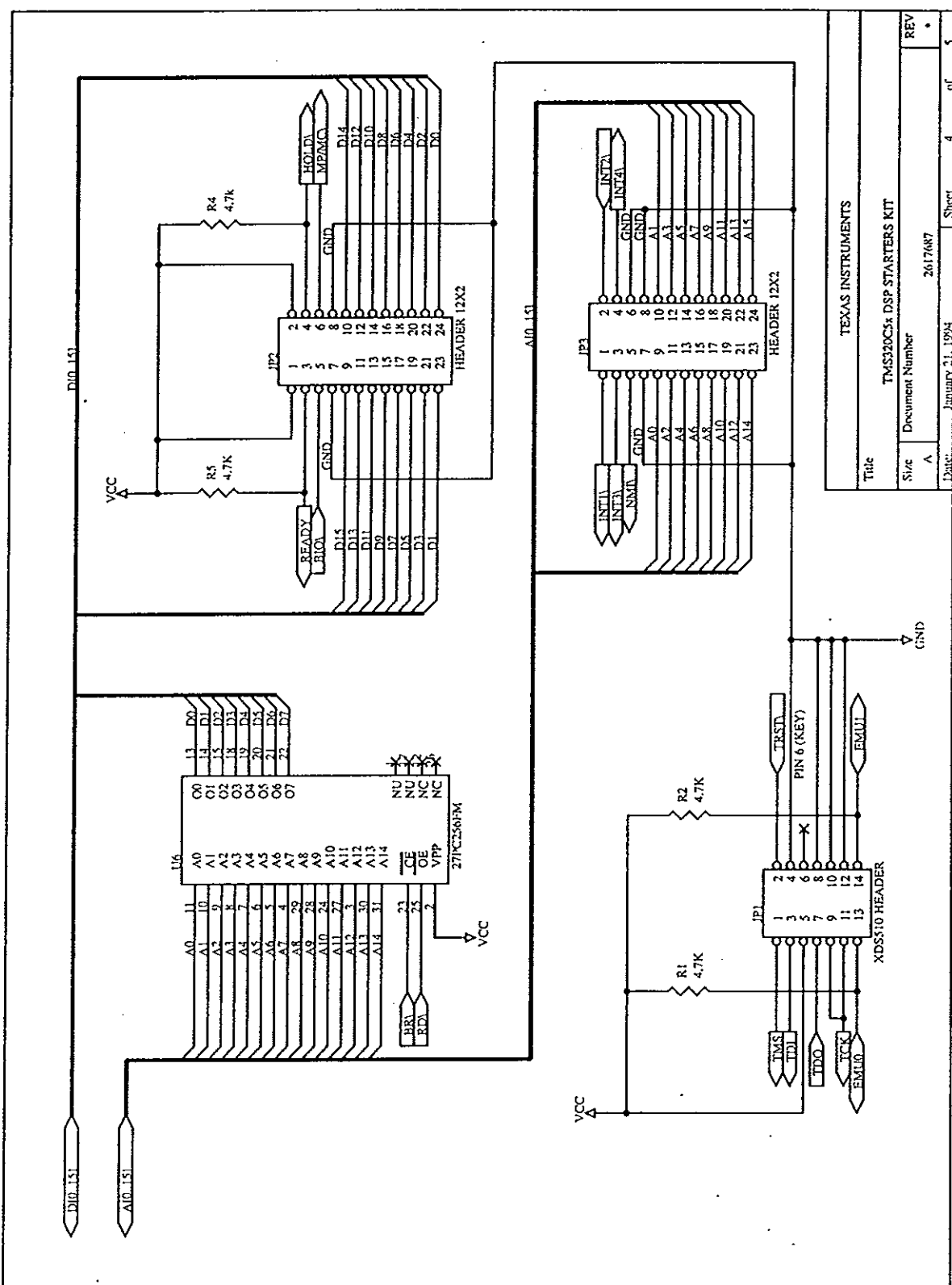
ภาคผนวก

ภาคผนวก ก. รูปแบบถักยนต์ของบอร์ดวงจร TMS320C5x DSP Starter Kit (DSK)

และแผนผัง

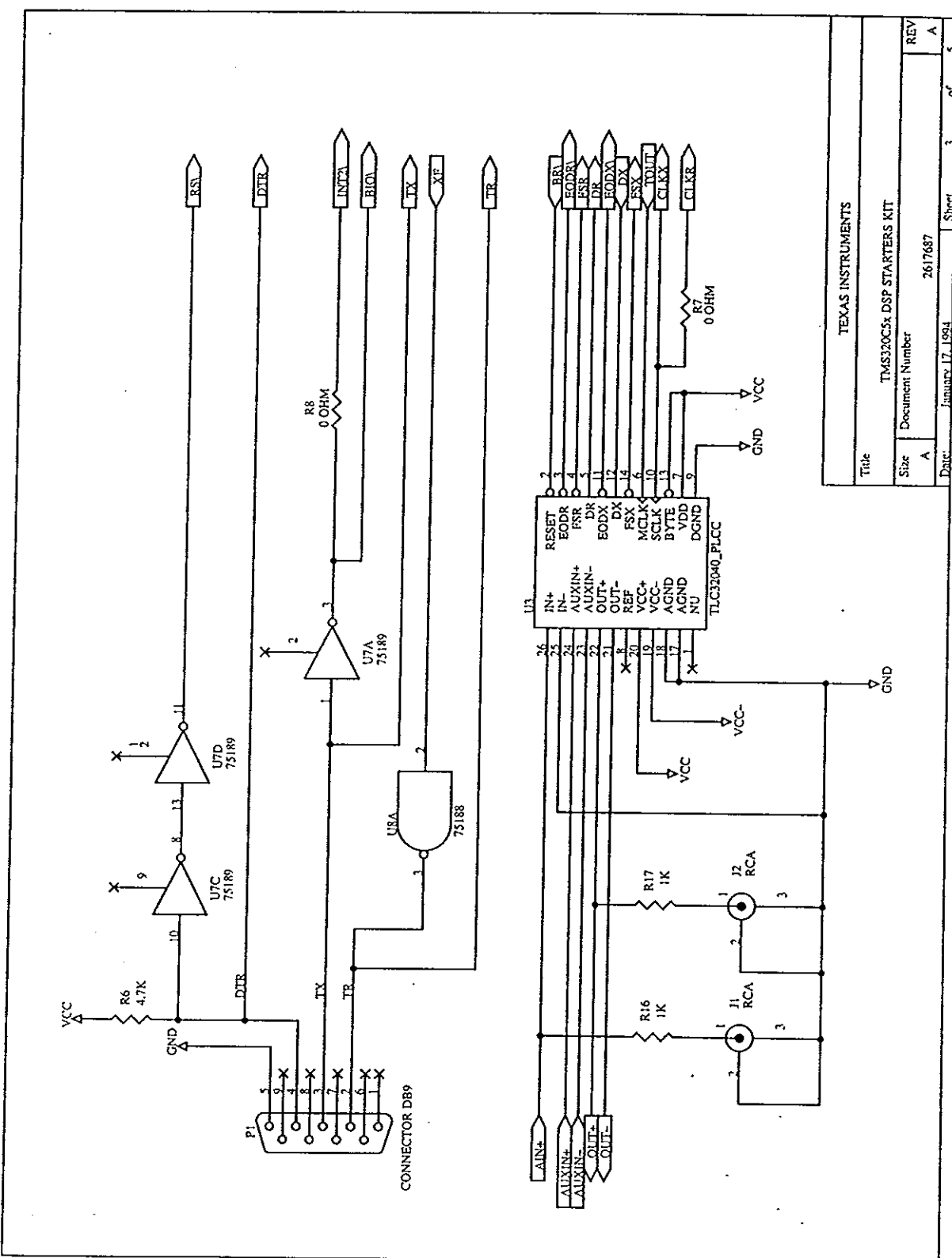
Schematic Diagrams

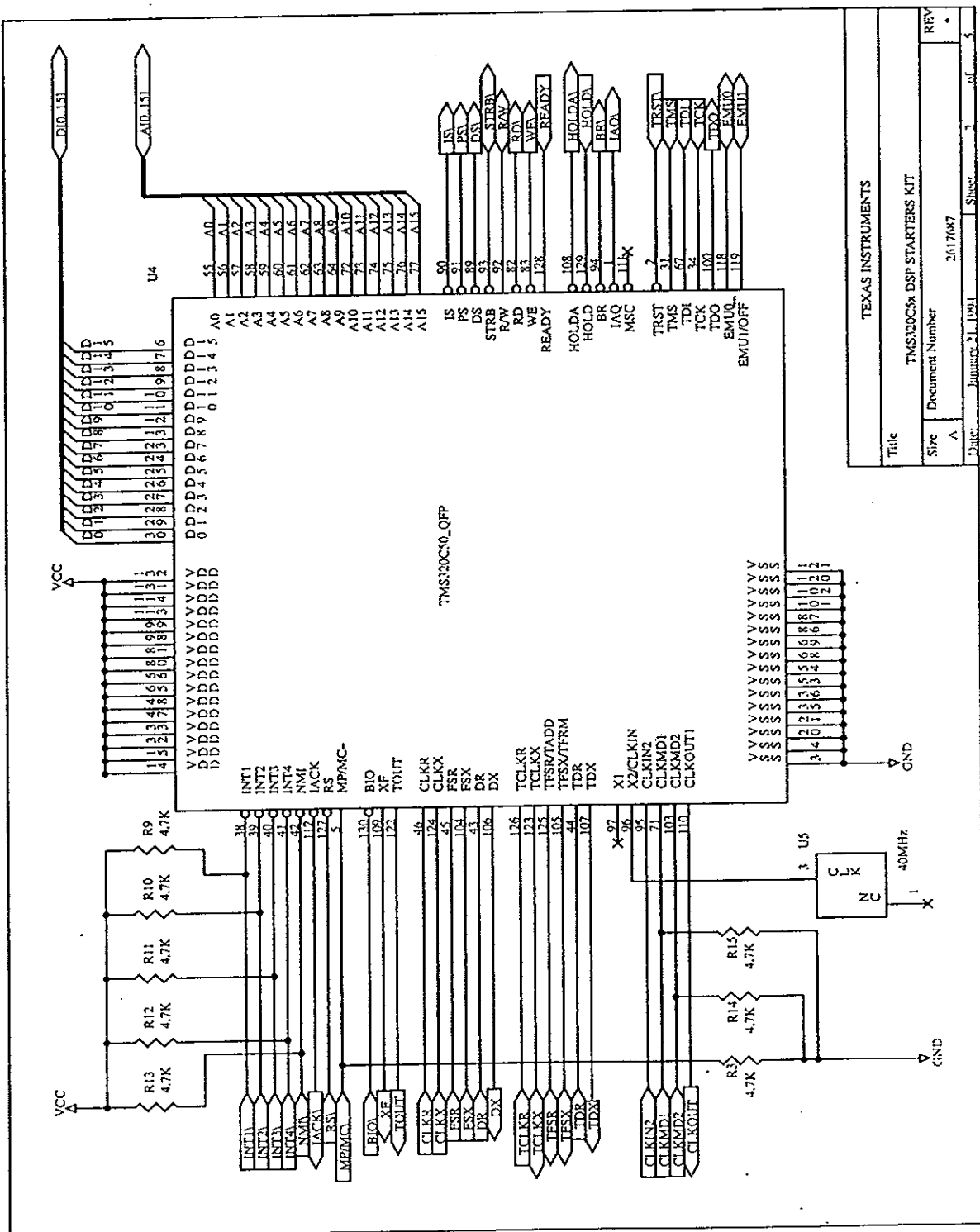




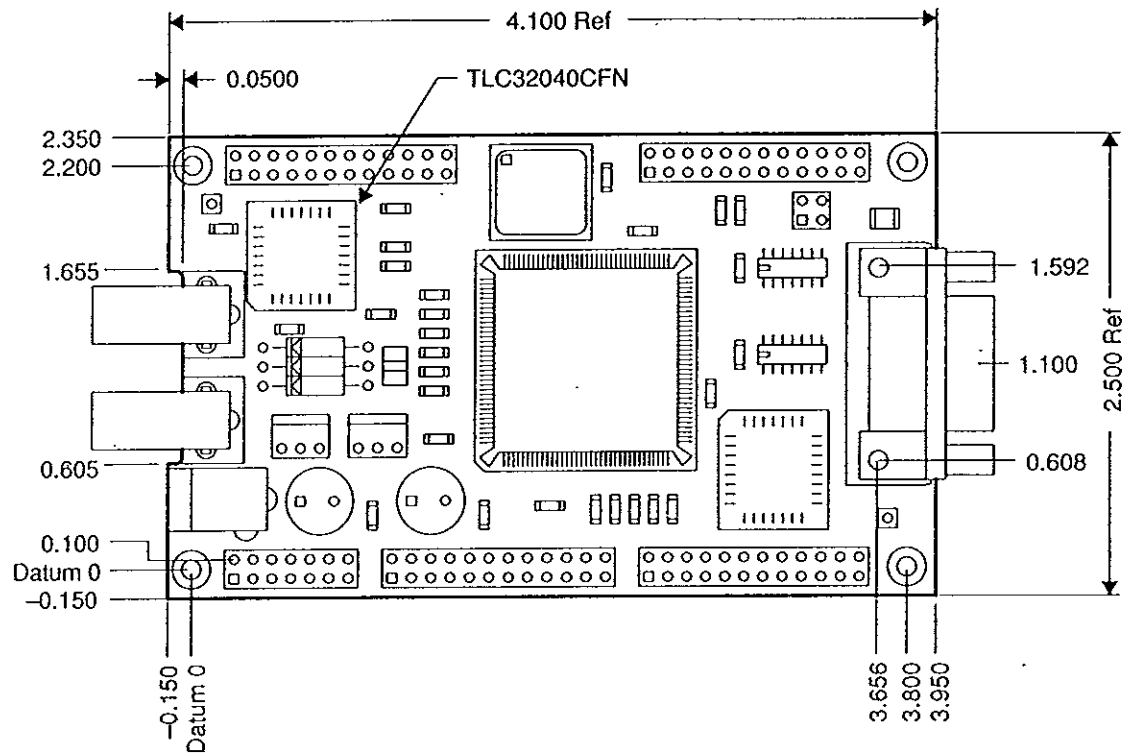
DSK Circuit Board Dimensions and Schematic Diagrams

Schematic Diagrams



Schematic Diagrams

DSK Circuit Board Dimensions and Schematic Diagrams

*Circuit Board Dimensions**Figure A-1. TMS320C5x DSP Starter Kit (DSK) Circuit Board Dimensions*

Note: Dimensions are in inches.

ภาคผนวก บ. โปรแกรมการจำลองอัลกอริธึม LMS , อัลกอริธึม RLS โดยใช้โปรแกรม Matlab และโปรแกรมการจัดเสียงรบกวนโดยใช้ภาษาแอสแซมบลีของชิพ
TMS320C5x

1. โปรแกรมการจำลองอัลกอริธึม LMS

```
function [W]=lms1(x,n,mu)

[M,N]=size(x);
W=zeros(1,n);
X=zeros(1,n);
for i=1:N
    X(1,1)=x(i);
    y(i)=W*X';
    e(i)=x(i)-y(i);
    for j=1:n
        W1(1,j)=W(1,j)+mu*e(i)*X(1,j).';
    end
    W=W1;
    for j=1:n-1
        X1(1,j+1)=X(1,j);
    end
    X=X1;
end

subplot(3,1,1),plot(x),title('input signal x(n)')
subplot(3,1,2),plot(y),title('desire signal y(n)')
subplot(3,1,3),plot(e),title('error signal e(n)')
```

2. โปรแกรมการจำลองอัลกอริธึม RLS

```

function [W]=rls(x,n,mu)

delta=0.1;
lamda=1;
P=eye(n)/delta;
[M,N]=size(x);
W=zeros(1,n);
X=zeros(1,n);
for i=1:N
    X(1,1)=x(i);
    z=P*X.';
    g=z/(lamda+X*z);
    y(i)=W*X';
    e(i)=x(i)-y(i);
    en=e(i);
    for j=1:n
        W1(1,:)=W(1,:)+e(i)*g';
    end
    W=W1;
    P=(P-g*z')/lamda;
    for j=1:n-1
        X1(1,j+1)=X(1,j);
    end
    X=X1;
end

subplot(3,1,1),plot(x),title('input signal x(n)')
subplot(3,1,2),plot(y),title('desire signal y(n)')
subplot(3,1,3),plot(e),title('error signal e(n)')

```

3. โปรแกรมการจัดสัญญาณเสียงรบกวนโดยใช้ภาษาแอสแซมบลีของชิป TMS320C50

```

mmregs

.ds 0f00h      ;

TA    .word 24      ; Fcut = 8 KHz
RA    .word 24      ; Fcut = 8 KHz
TB    .word 18      ; Fs = 2*Fcut
RB    .word 18      ; Fs = 2*Fcut
AIC_CTR .word 01h

EN    .word 0
ERRF  .word 0

INPUT .word 0
OUTPUT .word 0
TEMP  .word 0

.ds 01000h

.ps 080ah

rint: B  RECEIVE  ;0A; Serial prot receive interrupt RINT.
xint: B  TRANSMIT ;0C; Serial port transmit interrupt XINT.

.ds 0300h

RN    .set 301h
VN    .set 303h
XN    .set 30Ah
YN    .set 380h
LAST_XN .set 3A1h

```

```

COEFF .set 1C00h
COEFF_D.set 1C00h
*
*****
* TMS32C05X INITIALIZATION *
*
*****
.ps 0a00h

```

```

.entry
SETUP: SETC INTM      ; Disable interrupts
       LDP #0          ; Set data page pointer
       OPL #0834h,PMST
       LACC #0
       SAMM CWSR      ; Set software wait state to 0
       SAMM PDWSR     ;

```

* Reset AIC by writing to PA2 (address >52) to DSK

```

SPLK #022h,IMR      ; Using XINT syn TX & RX
CALL AICINIT        ; initialize AIC and enable interrupts
*
```

```

*****
* This routine enables serial port rx interrupts & configures *
* TLC32040 for the frame sync. When RINT is triggered, read a   *
* dummy data word from the AIC then generate a sine wave to    *
* send out.                                                 *
*****
```

```

;
CLRC OVM      ; OVM = 0
```

```
SPM 0          ; PM = 0
SPLK #012h,IMR
CLRC INTM      ; enable
                ; SETC SXM
WAIT NOP
NOP
NOP
B WAIT

;----- end of main program -----;

;
; RECIEVER INTERRUPT SERVICE ROUTINE
;
RECEIVE:
LDP #6
LAMM DRR      ; read data from DRR
SACL XN

ZAP
LACC #1,14
MAR *,AR3
LAR AR3,#LAST_XN

FIR RPT #150
MACD COEFF,*
APAC
SACH VN,1

; NEG
LAR AR3,#XN
```

ADD *,15
SACH EN,1
DMOV *

LT EN
MPY #650
PAC
ADD #1,14
SACH ERRF,1

LACC #149
SAMM BRCR
LAR AR2,#COEFF_D
LAR AR3,#LAST_XN
LT ERRF
MPY *-,AR2
RPTB LOOP -1
ADAPT ZALR *,AR3
MPYS *-,AR2
SUB *,2
SACH *+
LOOP ZALR *
APAC
SACH *+

LACC VN,15
AND #0FFFCh,15
RPT #14
SFR

```

SAMM DXR
RETE
;
; TRANSMIT INTERRUPT SERVICE ROUTINE
;
TRANSMIT:
    RETE

*
*****
* DESCRIPTION: This routine initializes the TLC320C40 for      *
*           a 8Khz sample rate with a gain setting of 1      *
*****
* aic initialization data
*
AICINIT: SPLK #20h,TCR      ; To generate 10 MHz from Tout
        SPLK #01h,PRD      ; for AIC master clock
        MAR  *,AR0
        LACC #0008h      ; Non continuous mode
        SACL SPC      ; FSX as input
        LACC #00c8h      ; 16 bit words
        SACL SPC
        LACC #080h      ; Pulse AIC reset by setting it low
        SACH DXR
        SACL GREG
        LAR  AR0,#0FFFFh
        RPT  #10000      ; and taking it high after 10000 cycles
        LACC *,0,AR0      ; (.5ms at 50ns)
        SACH GREG
;

```

```

LDP  #TA      ;
SETC SXM      ;
LACC TA,9      ; Initialized TA and RA register
ADD  RA,2      ;
CALL AIC_2ND   ;
;-----
LDP  #TB
LACC TB,9      ; Initialized TB and RB register
ADD  RB,2      ;
ADD  #02h      ;
CALL AIC_2ND   ;
;-----
LDP  #AIC_CTR
LACC AIC_CTR,2 ; Initialized control register
ADD  #03h      ;
CALL AIC_2ND   ;
RET           ;

```

AIC_2ND:

```

LDP  #0
SACH DXR      ;
CLRC INTM
IDLE
ADD  #6h,15    ; 0000 0000 0000 0011 XXXX XXXX XXXX XXXX b
SACH DXR      ;
IDLE
SACL DXR      ;
IDLE
LACL #0       ;
SACL DXR      ; make sure the word got sent

```

```
IDLE  
SETC INTM  
RET ;  
.end
```

ประวัติผู้เขียน

ชื่อ นายสิทธิชัย ฤกษ์

วัน เดือน ปีเกิด 17 สิงหาคม 2516

วุฒิการศึกษา

วุฒิ	ชื่อสถานบัน	ปีที่สำเร็จการศึกษา
ประกาศนียบัตรครุภัณฑ์ชั้นสูง	วิทยาลัยช่างกลปทุมวัน	2539